

**IMPIANTO DI PRODUZIONE DI ENERGIA DA
FONTE SOLARE FOTOVOLTAICA CON ACCUMULO
DENOMINATO "SASSARI 02"**

REGIONE SARDEGNA
PROVINCIA di SASSARI
COMUNI di SASSARI e PORTO TORRES

PROGETTO DEFINITIVO

Tav.:

Titolo:

R06a2

**Calcoli preliminari delle strutture -
Relazione di calcolo Impianto FV**

Scala:

Formato Stampa:

Codice Identificatore Elaborato

n.a.

A4

R06a2_CalcoliPreliminariStrutture_06a2

Progettazione:

Committente:

DOTT. ING. FABIO CALCARELLA

Via Bartolomeo Ravenna, 14 - 73100 Lecce
Mob. +39 340 9243575
fabio.calcarella@gmail.com - fabio.calcarella@ingpec.eu
P. IVA 04433020759

Whysol-E Sviluppo S.r.l.

Via Meravigli, 3 - 20123 - MILANO
Tel: +39 02 359605
info@whysol.it - whysol-e.sviluppo@legalmail.it
P. IVA 10692360968



A handwritten signature in blue ink, appearing to read 'Fabio Calcarella', written over the bottom right portion of the professional stamp.

Data	Motivo della revisione:	Redatto:	Controllato:	Approvato:
Marzo 2021	Prima emissione	STC	FC	WHYSOL-E Sviluppo s.r.l.

NORMATIVA DI RIFERIMENTO	2
CARATTERISTICHE MATERIALI UTILIZZATI	7
LEGENDA TABELLA DATI MATERIALI	7
MODELLAZIONE DELLE SEZIONI.....	10
LEGENDA TABELLA DATI SEZIONI	10
MODELLAZIONE STRUTTURA: NODI	12
LEGENDA TABELLA DATI NODI.....	12
TABELLA DATI NODI.....	12
MODELLAZIONE STRUTTURA: ELEMENTI TRAVE	14
TABELLA DATI TRAVI.....	14
MODELLAZIONE DELLE AZIONI.....	17
LEGENDA TABELLA DATI AZIONI	17
SCHEMATIZZAZIONE DEI CASI DI CARICO	19
LEGENDA TABELLA CASI DI CARICO	19
DEFINIZIONE DELLE COMBINAZIONI	29
LEGENDA TABELLA COMBINAZIONI DI CARICO	29
AZIONE SISMICA.....	33
VALUTAZIONE DELL' AZIONE SISMICA.....	33
Parametri della struttura.....	33
RISULTATI ANALISI SISMICHE	35
LEGENDA TABELLA ANALISI SISMICHE.....	35
RISULTATI NODALI.....	45
LEGENDA RISULTATI NODALI.....	45
RISULTATI OPERE DI FONDAZIONE	57
LEGENDA RISULTATI OPERE DI FONDAZIONE	57
RISULTATI ELEMENTI TIPO TRAVE.....	59
LEGENDA RISULTATI ELEMENTI TIPO TRAVE.....	59
VERIFICHE PER ELEMENTI IN ACCIAIO.....	76
LEGENDA TABELLA VERIFICHE PER ELEMENTI IN ACCIAIO	76
STATI LIMITE D' ESERCIZIO ACCIAIO	79
LEGENDA TABELLA STATI LIMITE D' ESERCIZIO ACCIAIO	79

NORMATIVA DI RIFERIMENTO

1. D.Min. Infrastrutture Min. Interni e Prot. Civile 17 Gennaio 2018 e allegate "Norme tecniche per le costruzioni".
2. Circolare 21/01/19, n. 7 C.S.LL.PP "Istruzioni per l'applicazione dell'aggiornamento delle Norme Tecniche delle Costruzioni di cui al decreto ministeriale 17 gennaio 2018"
3. D.Min. Infrastrutture e trasporti 14 Settembre 2005 e allegate "Norme tecniche per le costruzioni".
4. D.M. LL.PP. 9 Gennaio 1996 "Norme tecniche per il calcolo, l'esecuzione ed il collaudo delle strutture in cemento armato, normale e precompresso e per le strutture metalliche".
5. D.M. LL.PP. 16 Gennaio 1996 "Norme tecniche relative ai <<Criteri generali per la verifica di sicurezza delle costruzioni e dei carichi e sovraccarichi>>".
6. D.M. LL.PP. 16 Gennaio 1996 "Norme tecniche per le costruzioni in zone sismiche".
7. Circolare 4/07/96, n.156AA.GG./STC. istruzioni per l'applicazione delle "Norme tecniche relative ai <<Criteri generali per la verifica di sicurezza delle costruzioni e dei carichi e sovraccarichi>>" di cui al D.M. 16/01/96.
8. Circolare 10/04/97, n.65AA.GG. istruzioni per l'applicazione delle "Norme tecniche per le costruzioni in zone sismiche" di cui al D.M. 16/01/96.
9. D.M. LL.PP. 20 Novembre 1987 "Norme tecniche per la progettazione, esecuzione e collaudo degli edifici in muratura e per il loro consolidamento".
10. Circolare 4 Gennaio 1989 n. 30787 "Istruzioni in merito alle norme tecniche per la progettazione, esecuzione e collaudo degli edifici in muratura e per il loro consolidamento".
11. D.M. LL.PP. 11 Marzo 1988 "Norme tecniche riguardanti le indagini sui terreni e sulle rocce, la stabilità dei pendii naturali e delle scarpate, i criteri generali e le prescrizioni per la progettazione, l'esecuzione e il collaudo delle opere di sostegno delle terre e delle opere di fondazione".
12. D.M. LL.PP. 3 Dicembre 1987 "Norme tecniche per la progettazione, esecuzione e collaudo delle costruzioni prefabbricate".
13. UNI 9502 - Procedimento analitico per valutare la resistenza al fuoco degli elementi costruttivi di conglomerato cementizio armato, normale e precompresso - edizione maggio 2001
14. Ordinanza del Presidente del Consiglio dei Ministri n. 3274 del 20 marzo 2003 "Primi elementi in materia di criteri generali per la classificazione sismica del territorio nazionale e di normative tecniche per le costruzioni in zona sismica" e successive modificazioni e integrazioni.
15. UNI EN 1990:2006 13/04/2006 Eurocodice 0 - Criteri generali di progettazione strutturale.
16. UNI EN 1991-1-1:2004 01/08/2004 Eurocodice 1 - Azioni sulle strutture - Parte 1-1: Azioni in generale - Pesi per unità di volume, pesi propri e sovraccarichi per gli edifici.
17. UNI EN 1991-2:2005 01/03/2005 Eurocodice 1 - Azioni sulle strutture - Parte 2: Carichi da traffico sui ponti.
18. UNI EN 1991-1-3:2004 01/10/2004 Eurocodice 1 - Azioni sulle strutture - Parte 1-3: Azioni in generale - Carichi da neve.
19. UNI EN 1991-1-4:2005 01/07/2005 Eurocodice 1 - Azioni sulle strutture - Parte 1-4: Azioni in generale - Azioni del vento.
20. UNI EN 1991-1-5:2004 01/10/2004 Eurocodice 1 - Azioni sulle strutture - Parte 1-5: Azioni in generale - Azioni termiche.
21. UNI EN 1992-1-1:2005 24/11/2005 Eurocodice 2 - Progettazione delle strutture di calcestruzzo - Parte 1-1: Regole generali e regole per gli edifici.
22. UNI EN 1992-1-2:2005 01/04/2005 Eurocodice 2 - Progettazione delle strutture di calcestruzzo - Parte 1-2: Regole generali - Progettazione strutturale contro l'incendio.
23. UNI EN 1993-1-1:2005 01/08/2005 Eurocodice 3 - Progettazione delle strutture di acciaio - Parte 1-1: Regole generali e regole per gli edifici.
24. UNI EN 1993-1-8:2005 01/08/2005 Eurocodice 3 - Progettazione delle strutture di acciaio - Parte 1-8: Progettazione dei collegamenti.
25. UNI EN 1994-1-1:2005 01/03/2005 Eurocodice 4 - Progettazione delle strutture composte acciaio-calcestruzzo - Parte 1-1: Regole generali e regole per gli edifici.
26. UNI EN 1994-2:2006 12/01/2006 Eurocodice 4 - Progettazione delle strutture composte acciaio-calcestruzzo - Parte 2: Regole generali e regole per i ponti.
27. UNI EN 1995-1-1:2005 01/02/2005 Eurocodice 5 - Progettazione delle strutture di legno - Parte 1-1: Regole generali - Regole comuni e regole per gli edifici.
28. UNI EN 1995-2:2005 01/01/2005 Eurocodice 5 - Progettazione delle strutture di legno - Parte 2: Ponti.
29. UNI EN 1996-1-1:2006 26/01/2006 Eurocodice 6 - Progettazione delle strutture di muratura - Parte

- 1-1: Regole generali per strutture di muratura armata e non armata.
30. UNI EN 1996-3:2006 09/03/2006 Eurocodice 6 - Progettazione delle strutture di muratura - Parte 3: Metodi di calcolo semplificato per strutture di muratura non armata.
31. UNI EN 1997-1:2005 01/02/2005 Eurocodice 7 - Progettazione geotecnica - Parte 1: Regole generali.
32. UNI EN 1998-1:2005 01/03/2005 Eurocodice 8 - Progettazione delle strutture per la resistenza sismica - Parte 1: Regole generali, azioni sismiche e regole per gli edifici.
33. UNI EN 1998-3:2005 01/08/2005 Eurocodice 8 - Progettazione delle strutture per la resistenza sismica - Parte 3: Valutazione e adeguamento degli edifici.
34. UNI EN 1998-5:2005 01/01/2005 Eurocodice 8 - Progettazione delle strutture per la resistenza sismica - Parte 5: Fondazioni, strutture di contenimento ed aspetti geotecnici.

NOTA il capitolo "normativa di riferimento": riporta l'elenco delle normative implementate nel software. Le norme utilizzate per la struttura oggetto della presente relazione sono indicate nel precedente capitolo "RELAZIONE DI CALCOLO STRUTTURALE" "ANALISI E VERIFICHE SVOLTE CON L'AUSILIO DI CODICI DI CALCOLO". Laddove nei capitoli successivi vengano richiamate norme antecedenti al DM 17.01.18 è dovuto o a progettazione simulata di edificio esistente.

ISTITUTO NAZIONALE DI GEOFISICA E VULCANOLOGIA

Vertici della maglia elementare INGV [riferimento WGS84]

Id nodo	Longitudine	Latitudine	Distanza [km]

Coordinate geografiche [riferimento WGS84]

Località: SASSARI (SS)

Longitudine: 8.5640 Latitudine: 40.7240

Applica la Risposta Sismica Locale

Parametri per le forme spettrali

	Pver	Tr	ag [g]	Fo	T*c
SLO	81	30	0.0186	2.610	0.273
SLD	63	50	0.0235	2.670	0.296
SLV	10	475	0.0500	2.880	0.340
SLC	5	975	0.0603	2.980	0.372

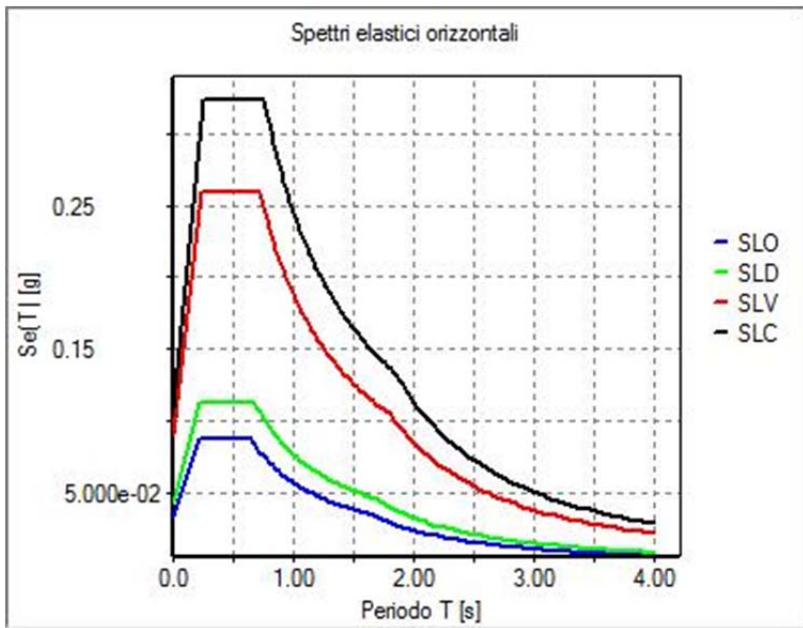
Periodo di riferimento per l'azione sismica

Vita Vn [anni]	Coefficiente uso Cu	Periodo Vr [anni]	Livello di sicurezza
50	1	50	100

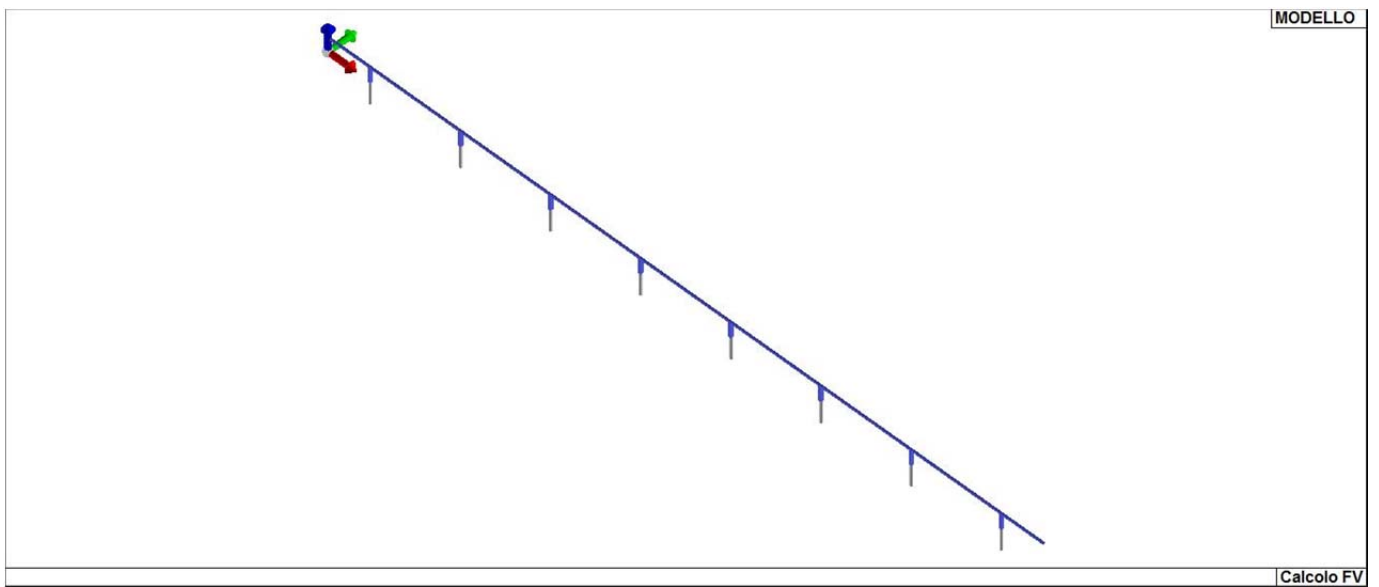
Rimuovi limiti Vr e Tr (di norma NO)

Nota: per il calcolo dei parametri sismici
1) inserire le coordinate geografiche 2) introdurre Vn e Cu
Per le isole è possibile utilizzare come località: gruppo isole N [con N = 1,2,3,4,5]

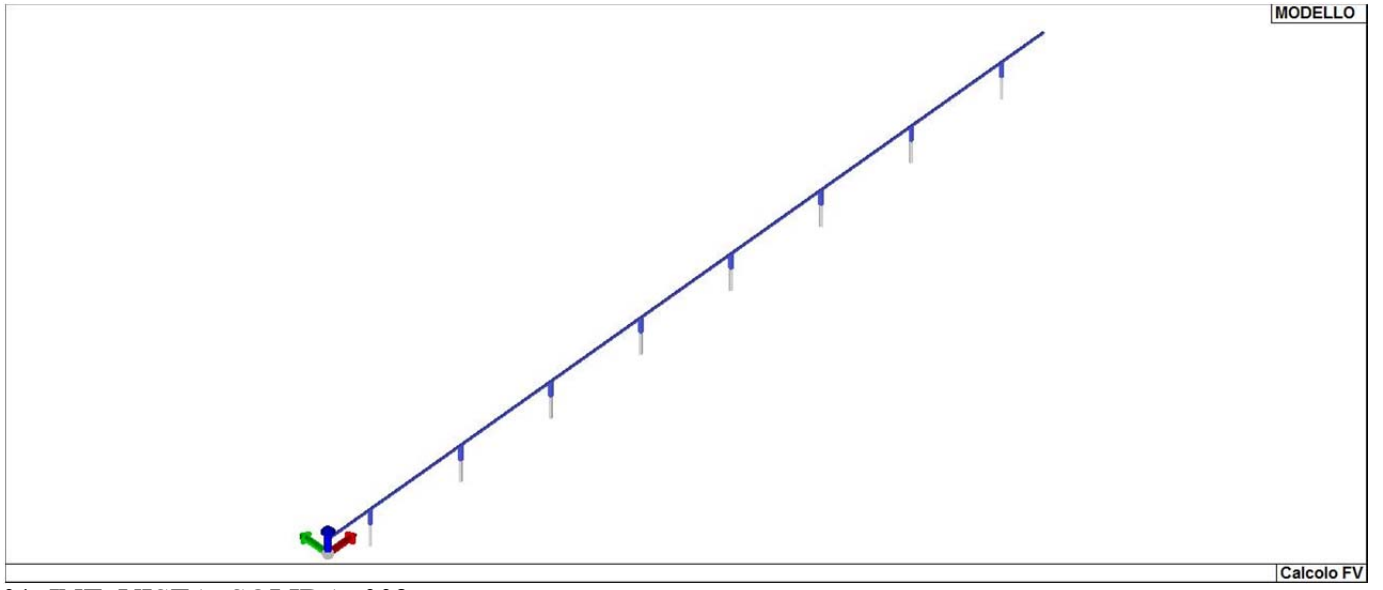
p.e. 10% in 50 anni



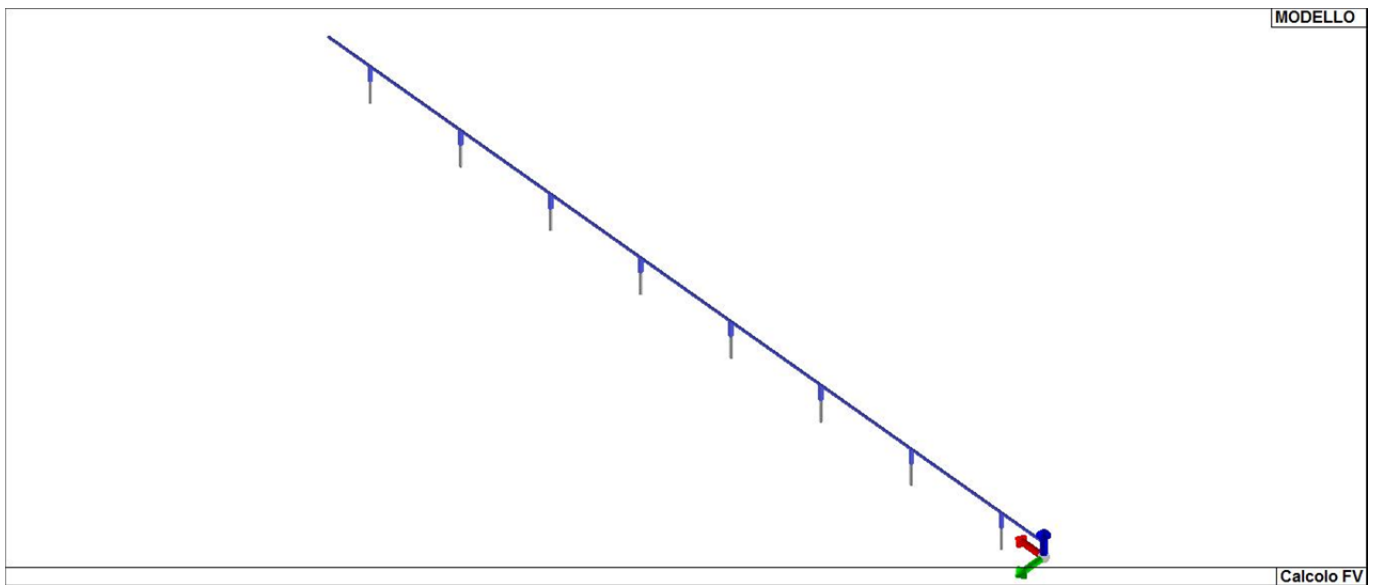
01_INT_SPETTRI_ELASTICI_O



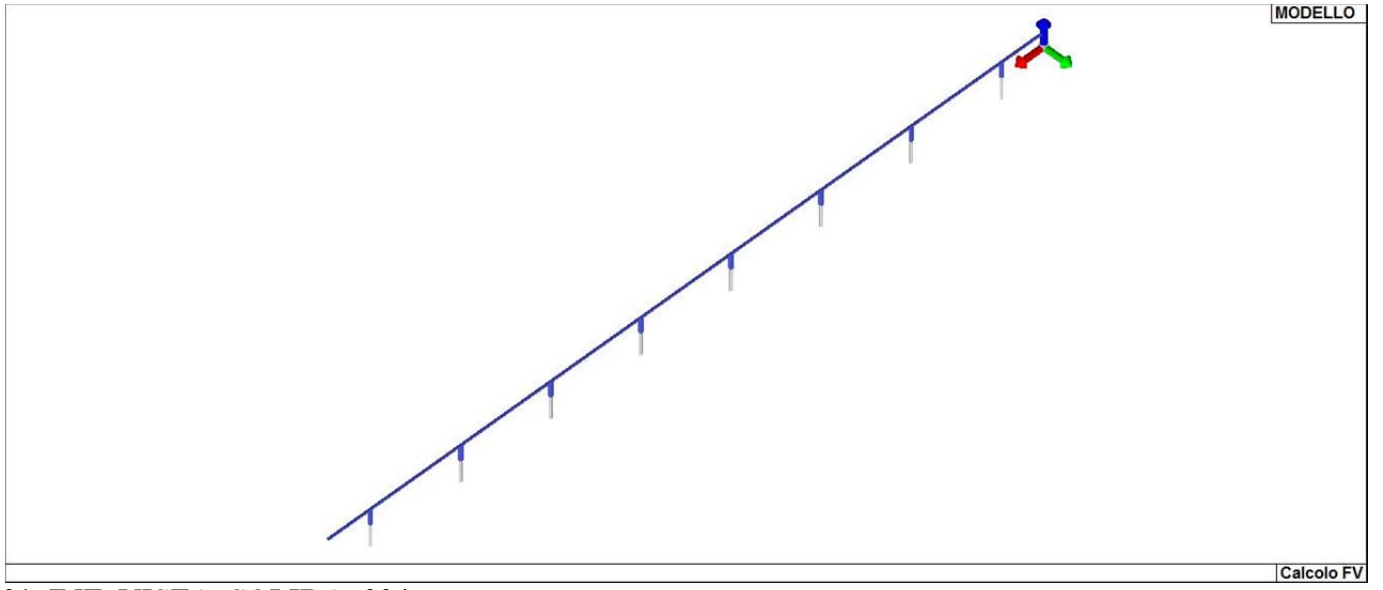
01_INT_VISTA_SOLIDA_001



01_INT_VISTA_SOLIDATA_002



01_INT_VISTA_SOLIDATA_003



01_INT_VISTA_SOLIDA_004

CARATTERISTICHE MATERIALI UTILIZZATI

LEGENDA TABELLA DATI MATERIALI

Il programma consente l'uso di materiali diversi. Sono previsti i seguenti tipi di materiale:

1	materiale tipo cemento armato
2	materiale tipo acciaio
3	materiale tipo muratura
4	materiale tipo legno
5	materiale tipo generico

I materiali utilizzati nella modellazione sono individuati da una sigla identificativa ed un codice numerico (gli elementi strutturali richiamano quest'ultimo nella propria descrizione). Per ogni materiale vengono riportati in tabella i seguenti dati:

Young	modulo di elasticità normale E
Poisson	coefficiente di contrazione trasversale ν
G	modulo di elasticità tangenziale
Gamma	peso specifico
Alfa	coefficiente di dilatazione termica
Fattore di confidenza FC m	Fattore di confidenza specifico per materiale; (è riportato solo se diverso da quello globale della struttura)
Fattore di confidenza FC a	Fattore di confidenza specifico per l'armatura (è riportato solo se diverso da quello globale della struttura)
Elasto-plastico	Materiale elastico perfettamente plastico per aste non lineari
Massima compressione	Massima tensione di compressione per aste non lineari
Massima trazione	Massima tensione di trazione per aste non lineari
Fattore attrito	Coefficiente di attrito per aste non lineari
Rapporto HRDb	Rapporto di hardening a flessione
Rapporto HRDv	Rapporto di hardening a taglio

I dati soprariportati vengono utilizzati per la modellazione dello schema statico e per la determinazione dei carichi inerziali e termici. In relazione al tipo di materiale vengono riportati inoltre:

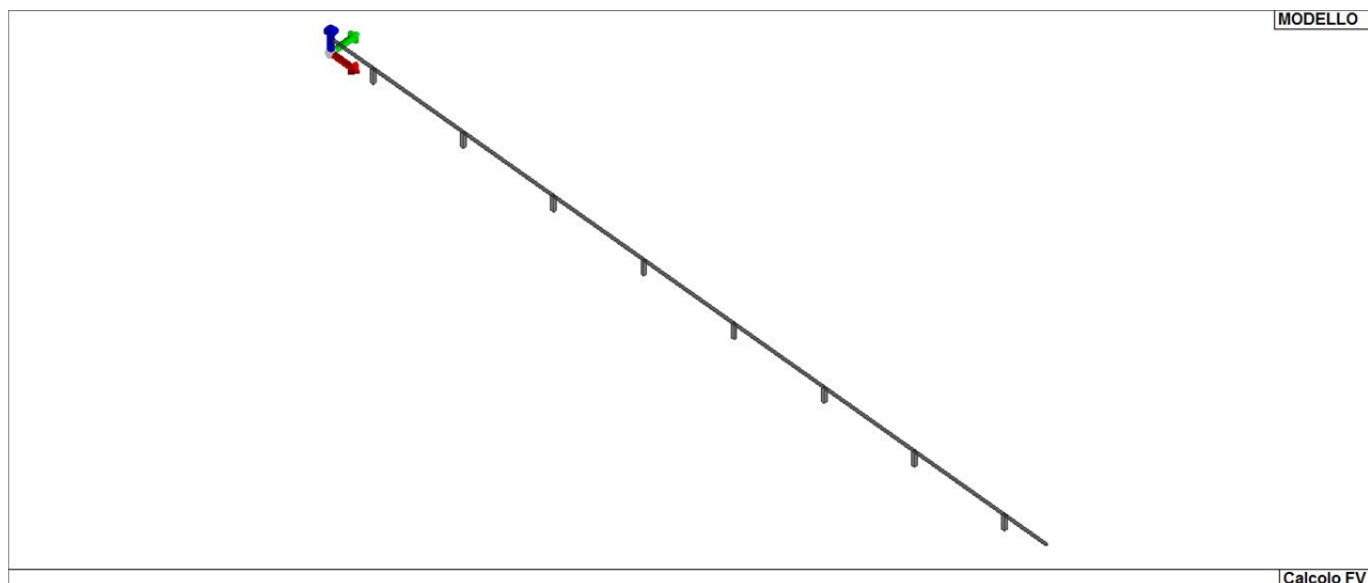
1	c.a.	Resistenza Rc	resistenza a compressione cubica
		Resistenza fctm	resistenza media a trazione semplice
		Coefficiente ksb	Coefficiente di riduzione della resistenza a compressione da utilizzare nello stress block
2	acciaio	Tensione ft	Valore della tensione di rottura
		Tensione fy	Valore della tensione di snervamento
		Resistenza fd	Resistenza di calcolo per SL CNR-UNI 10011
		Resistenza fd (>40)	Resistenza di calcolo per SL CNR-UNI 10011 per spessori > 40mm
		Tensione ammissibile	Tensione ammissibile CNR-UNI 10011
		Tensione ammissibile(>40)	Tensione ammissibile CNR-UNI 10011 per spessori > 40mm

3	muratur a	Muratura consolidata	Muratura per la quale si prevedono interventi di rinforzo"
		Incremento resistenza	Incremento conseguito in termini di resistenza
		Incremento rigidezza	Incremento conseguito in termini di rigidezza
		Resistenza f	Valore della resistenza a compressione
		Resistenza fv0	Valore della resistenza a taglio in assenza di tensioni normali
		Resistenza fh	Valore della resistenza a compressione orizzontale
		Resistenza fb	Valore della resistenza a compressione dei blocchi
		Resistenza fbh	Valore della resistenza a compressione dei blocchi in direzione orizzontale
		Resistenza fv0h	Valore della resistenza a taglio in assenza di tensioni normali per le travi
		Resistenza ft	Valore della resistenza a trazione per fessurazione diagonale
		Resistenza fvim	Valore della massima resistenza a taglio
		Resistenza fbt	Valore della resistenza a trazione dei blocchi
		Coefficiente mu	Coefficiente d'attrito utilizzato per la resistenza a taglio (tipicamente 0.4)
		Coefficiente fi	Coefficiente d'ingranamento utilizzato per la resistenza a taglio
		Coefficiente ksb	Coefficiente di riduzione della resistenza a compressione da utilizzare nello stress block
4	legno	E0,05	Modulo di elasticità corrispondente ad un frattile del 5%
		Resistenza fc0	Valore della resistenza a compressione parallela
		Resistenza ft0	Valore della resistenza a trazione parallela
		Resistenza fm	Valore della resistenza a flessione
		Resistenza fv	Valore della resistenza a taglio
		Resist. ft0k	Resistenza caratteristica (tensione amm. per REGLES) per trazione
		Resist. fmk	Resistenza caratteristica (tensione amm. per REGLES) per flessione
		Resist. fvk	Resistenza caratteristica (tensione amm. per REGLES) per taglio
		Modulo E0,05	Modulo elastico parallelo caratteristico
		Lamellare	lamellare o massiccio

Nel tabulato si riportano sia i valori caratteristici che medi utilizzando gli uni e/o gli altri in relazione alle richieste di normativa ed alla tipologia di verifica. (Cap.7 NTC18 per materiali nuovi, Cap.8 NTC18 e relativa circolare 21/01/2019 per materiali esistenti, Linee Guida Reluis per incamiciatura CAM, CNR-DT 200 per interventi con FRP)

Vengono inoltre riportate le tabelle contenenti il riassunto delle informazioni assegnate nei criteri di progetto in uso.

Id	Tipo / Note	V. caratt.	V. medio	Young	Poisson	G	Gamma	Alfa	Altri
		daN/cm2	daN/cm2	daN/cm2		daN/cm2	daN/cm3		
11	Acciaio Fe360 - S235-acciaio Fe360-S235			2.100e+06	0.30	8.077e+05	7.85e-03	1.20e-05	
	Tensione ft	3600.0							
	Resistenza fd	2350.0							
	Resistenza fd (>40)	2100.0							
	Tensione ammissibile	1600.0							
	Tensione ammissibile (>40)	1400.0							
	Rapporto HRDb								1.00e-05
	Rapporto HRDv								1.00e-05



Calcolo FV

11_MOD_MATERIALI_D2

Pilastri acc.	1/7/..	2/8/..	3/9/..	4/10/..	5/11/..	6/12/..
Lunghezze libere						
Metodo di calcolo 2-2	Assegnato					
2-2 Beta assegnato	2.00					
2-2 Beta * L assegnato [cm]	0.0					
Metodo di calcolo 3-3	Assegnato					
3-3 Beta assegnato	2.00					
3-3 Beta * L assegnato [cm]	0.0					
1-1 Beta assegnato	1.00					
1-1 Beta * L assegnato [cm]	0.0					
Generalità						
Coefficiente gamma M0	1.05					
Coefficiente gamma M1	1.05					
Coefficiente gamma M2	1.25					
Effetti del 2 ordine	SI					
Momenti equivalenti	SI					
Usa condizioni I e II	SI					

Travi acc.	1/7/..	2/8/..	3/9/..	4/10/..	5/11/..	6/12/..
Lunghezze libere						
3-3 Beta * L automatico	SI					
3-3 Beta assegnato	1.00					
3-3 Beta assegnato [cm]	0.0					
2-2 Beta * L automatico	SI					
2-2 Beta assegnato	1.00					
2-2 Beta * L assegnato [cm]	0.0					
1-1 Beta * L automatico	SI					
1-1 Beta assegnato	1.00					
1-1 Beta * L assegnato [cm]	0.0					
Generalità						
Coefficiente gamma M0	1.05					
Coefficiente gamma M1	1.05					
Coefficiente gamma M2	1.25					
Luce di taglio per GR [cm]	1.00					
Usa condizioni I e II	SI					
Momenti equivalenti	SI					

MODELLAZIONE DELLE SEZIONI

LEGENDA TABELLA DATI SEZIONI

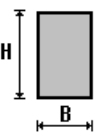
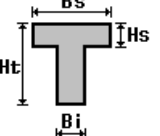
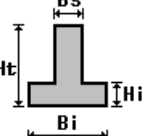
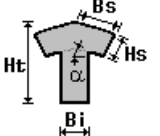
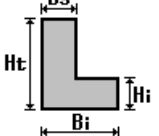
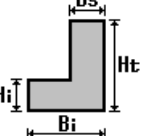
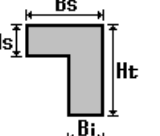
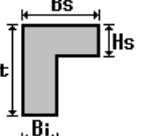
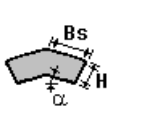
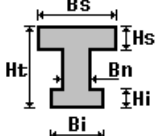
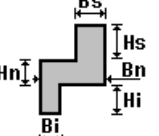
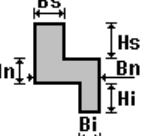
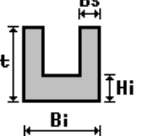
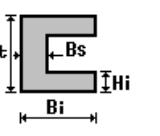
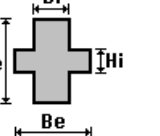
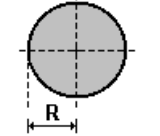
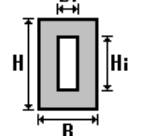
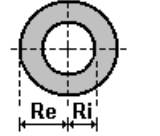
Il programma consente l'uso di sezioni diverse. Sono previsti i seguenti tipi di sezione:

1. sezione di tipo generico
2. profilati semplici
3. profilati accoppiati e speciali

Le sezioni utilizzate nella modellazione sono individuate da una sigla identificativa ed un codice numerico (gli elementi strutturali richiamano quest'ultimo nella propria descrizione). Per ogni sezione vengono riportati in tabella i seguenti dati:

Area	area della sezione
A V2	area della sezione/fattore di taglio (per il taglio in direzione 2)
A V3	area della sezione/fattore di taglio (per il taglio in direzione 3)
Jt	fattore torsionale di rigidezza
J2-2	momento d'inerzia della sezione riferito all'asse 2
J3-3	momento d'inerzia della sezione riferito all'asse 3
W2-2	modulo di resistenza della sezione riferito all'asse 2
W3-3	modulo di resistenza della sezione riferito all'asse 3
Wp2-2	modulo di resistenza plastico della sezione riferito all'asse 2
Wp3-3	modulo di resistenza plastico della sezione riferito all'asse 3

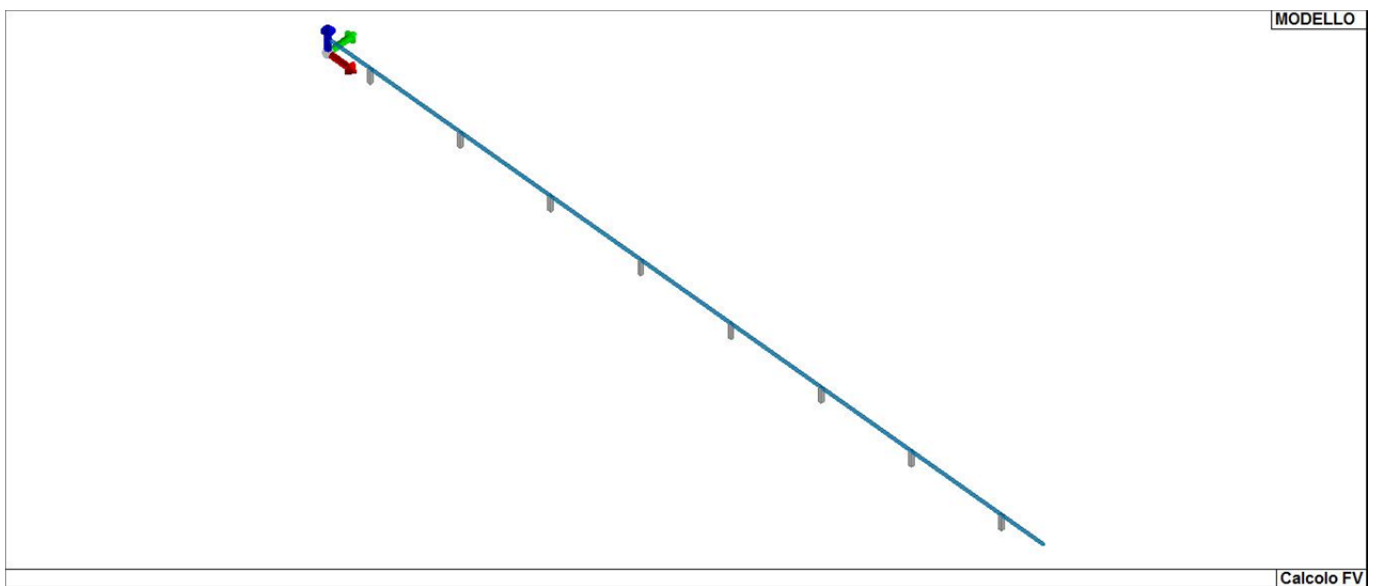
I dati sopra riportati vengono utilizzati per la determinazione dei carichi inerziali e per la definizione delle rigidezze degli elementi strutturali; qualora il valore di Area V2 (e/o Area V3) sia nullo la deformabilità per taglio V2 (e/o V3) è trascurata. La valutazione delle caratteristiche inerziali delle sezioni è condotta nel riferimento 2-3 dell'elemento.

 rettangolare	 a T	 a T rovescia	 a T di colmo	 a L	 a L specchiata
 a L specchiata rovescia	 a L rovescia	 a L di colmo	 a doppio T	 a quattro specchiata	 a quattro
 a U	 a C	 a croce	 circolare	 rettangolare cava	 circolare cava

Per quanto concerne i profilati semplici ed accoppiati l'asse 2 del riferimento coincide con l'asse x riportato nei più diffusi profilati.

Per quanto concerne le sezioni di tipo generico (tipo 1.):
 i valori dimensionali con prefisso B sono riferiti all'asse 2
 i valori dimensionali con prefisso H sono riferiti all'asse 3

Id	Tipo	Area	A V2	A V3	Jt	J 2-2	J 3-3	W 2-2	W 3-3	Wp 2-2	Wp 3-3
		cm2	cm2	cm2	cm4	cm4	cm4	cm3	cm3	cm3	cm3
1	T.QU 200x200x8 - Pali infissi	59.24	0.0	0.0	5815.18	3566.25	3566.25	356.63	356.63	420.86	420.86
2	T.QU 120x120x5 - Trave continua	22.36	0.0	0.0	778.50	485.47	485.47	80.91	80.91	95.45	95.45



13_MOD_SEZIONI

MODELLAZIONE STRUTTURA: NODI

LEGENDA TABELLA DATI NODI

Il programma utilizza per la modellazione nodi strutturali.

Ogni nodo è individuato dalle coordinate cartesiane nel sistema di riferimento globale (X Y Z).

Ad ogni nodo è eventualmente associato un codice di vincolamento rigido, un codice di fondazione speciale, ed un set di sei molle (tre per le traslazioni, tre per le rotazioni). Le tabelle sottoriportate riflettono le succitate possibilità. In particolare per ogni nodo viene indicato in tabella:

Nodo	numero del nodo.
X	valore della coordinata X
Y	valore della coordinata Y
Z	valore della coordinata Z

Per i nodi ai quali sia associato un codice di vincolamento rigido, un codice di fondazione speciale o un set di molle viene indicato in tabella:

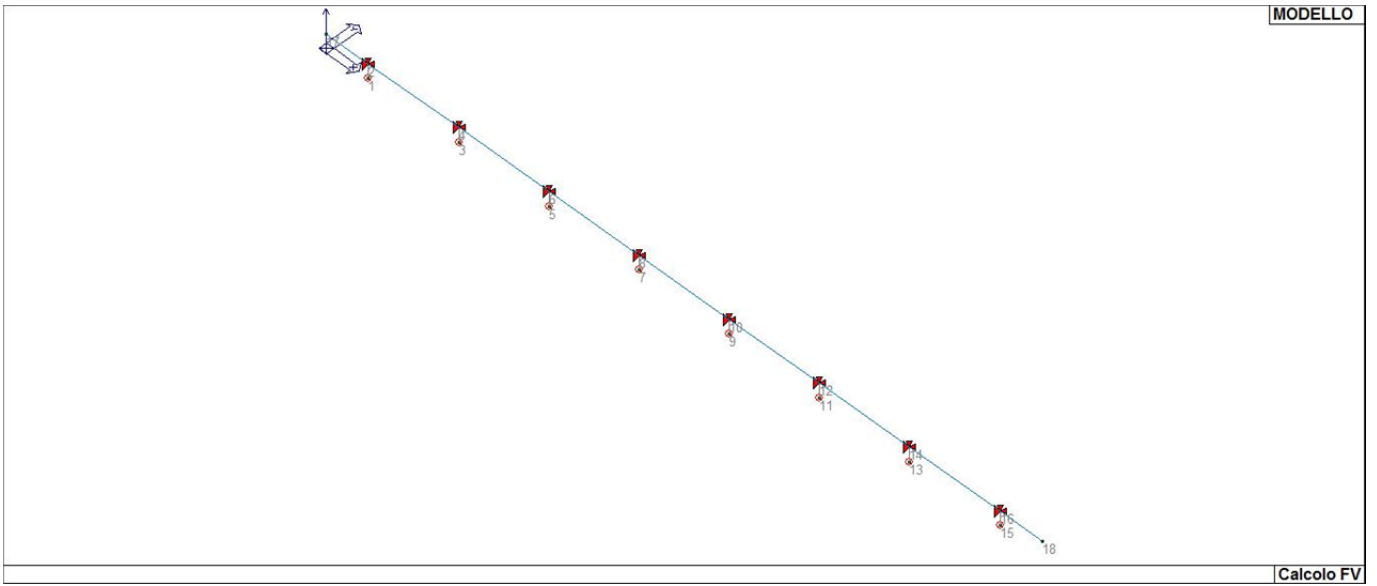
Nodo	numero del nodo.
X	valore della coordinata X
Y	valore della coordinata Y
Z	valore della coordinata Z
Note	eventuale codice di vincolo (es. v=110010 sei valori relativi ai sei gradi di libertà previsti per il nodo TxTyTzRxRyRz, il valore 1 indica che lo spostamento o rotazione relativo è impedito, il valore 0 indica che lo spostamento o rotazione relativo è libero).
Note	(FS = 1, 2,...) eventuale codice del tipo di fondazione speciale (1, 2,... fanno riferimento alle tipologie: plinto, palo, plinto su pali,...) che è collegato al nodo. (ISO = "id SIGLA") indice e sigla identificativa dell' eventuale isolatore sismico assegnato al nodo
Rig. TX	valore della rigidezza dei vincoli elastici eventualmente applicati al nodo, nello specifico TX (idem per TY, TZ, RX, RY, RZ).

Per strutture sismicamente isolate viene inoltre inserita la tabella delle caratteristiche per gli isolatori utilizzati; le caratteristiche sono indicate in conformità al cap. 7.10 del D.M. 17/01/18

TABELLA DATI NODI

Nodo	X	Y	Z	Nodo	X	Y	Z	Nodo	X	Y	Z
	cm	cm	cm		cm	cm	cm		cm	cm	cm
17	0.0	0.0	100.0	18	5000.0	0.0	100.0				
Nodo	X	Y	Z	Note	Rig. TX	Rig. TY	Rig. TZ	Rig. RX	Rig. RY	Rig. RZ	
	cm	cm	cm		daN/cm	daN/cm	daN/cm	daN cm/rad	daN cm/rad	daN cm/rad	
1	295.0	0.0	0.0	FS=4							
2	295.0	0.0	100.0	v=111111							
3	925.0	0.0	0.0	FS=4							
4	925.0	0.0	100.0	v=111111							
5	1555.0	0.0	0.0	FS=4							
6	1555.0	0.0	100.0	v=111111							
7	2185.0	0.0	0.0	FS=4							
8	2185.0	0.0	100.0	v=111111							
9	2815.0	0.0	0.0	FS=4							
10	2815.0	0.0	100.0	v=111111							
11	3445.0	0.0	0.0	FS=4							
12	3445.0	0.0	100.0	v=111111							
13	4075.0	0.0	0.0	FS=4							

14	4075.0	0.0	100.0	v=111111
15	4705.0	0.0	0.0	FS=4
16	4705.0	0.0	100.0	v=111111



14_MOD_NUMERAZIONE_NODI

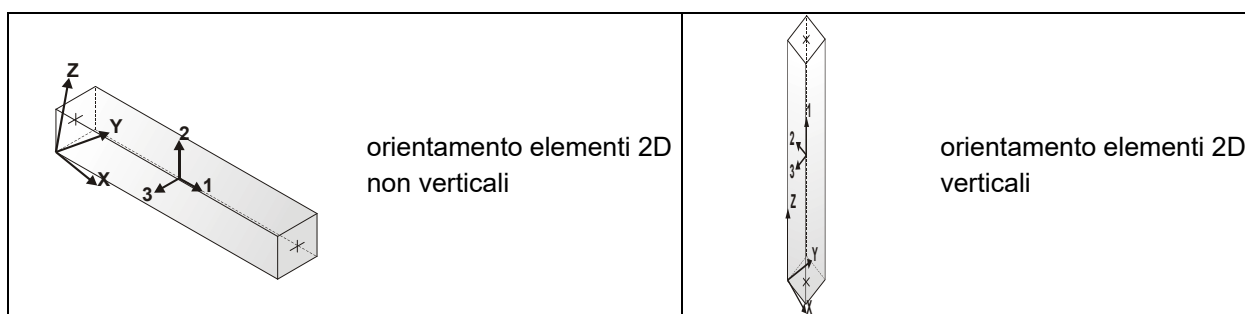
MODELLAZIONE STRUTTURA: ELEMENTI TRAVE

TABELLA DATI TRAVI

Il programma utilizza per la modellazione elementi a due nodi denominati in generale travi.

Ogni elemento trave è individuato dal nodo iniziale e dal nodo finale.

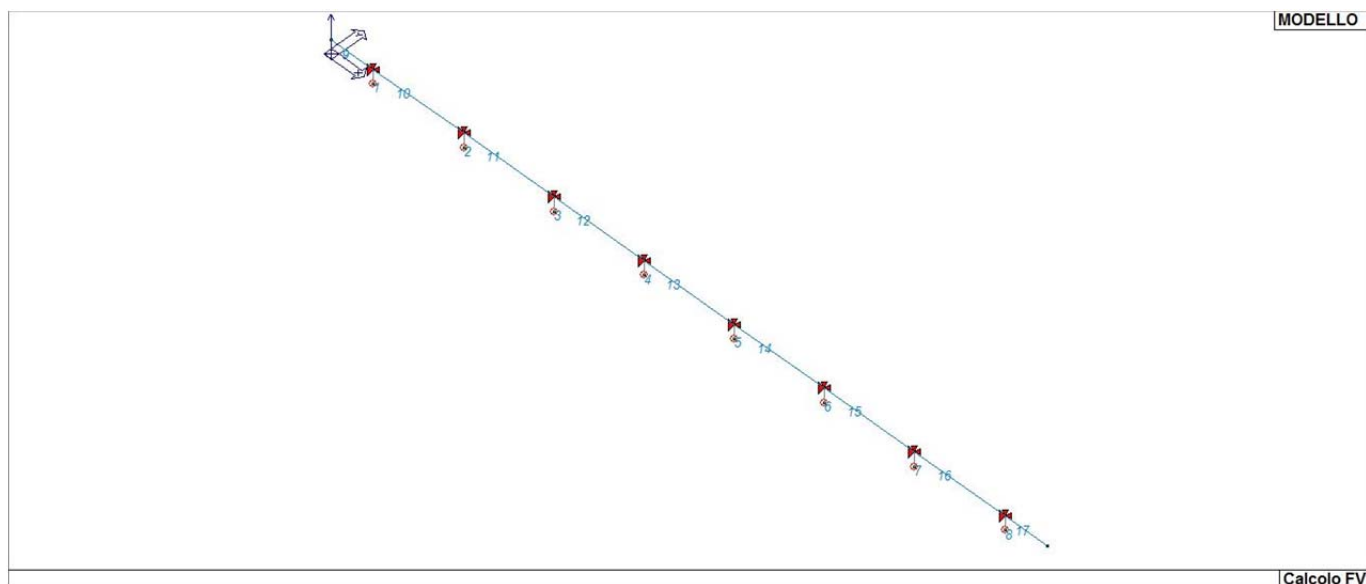
Ogni elemento è caratterizzato da un insieme di proprietà riportate in tabella che ne completano la modellazione.



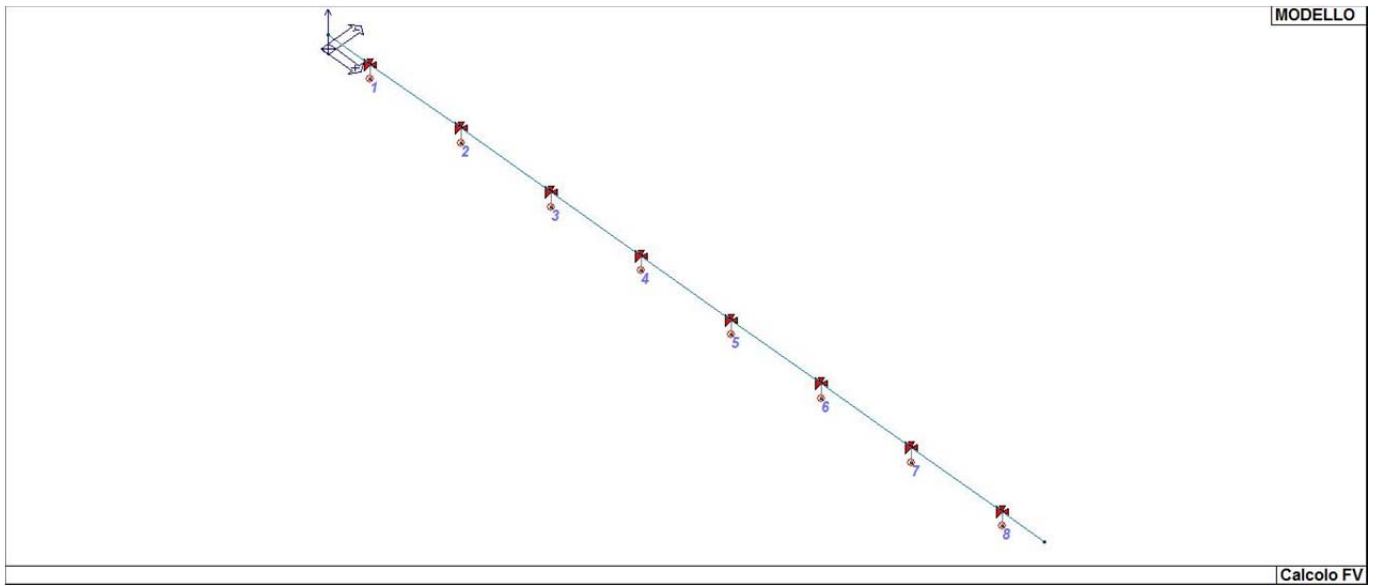
In particolare per ogni elemento viene indicato in tabella:

Elem.	numero dell'elemento
Note	codice di comportamento: trave, trave di fondazione, pilastro, asta, asta tesa, asta compressa,
Nodo I (J)	numero del nodo iniziale (finale)
Mat.	codice del materiale assegnato all'elemento
Sez.	codice della sezione assegnata all'elemento
Rotaz.	valore della rotazione dell'elemento, attorno al proprio asse, nel caso in cui l'orientamento di default non sia adottabile; l'orientamento di default prevede per gli elementi non verticali l'asse 2 contenuto nel piano verticale e l'asse 3 orizzontale, per gli elementi verticali l'asse 2 diretto secondo X negativo e l'asse 3 diretto secondo Y negativo
Svincolo I (J)	codici di svincolo per le azioni interne; i primi sei codici si riferiscono al nodo iniziale, i restanti sei al nodo finale (il valore 1 indica che la relativa azione interna non è attiva)
Wink V	costante di sottofondo (coefficiente di Winkler) per la modellazione della trave su suolo elastico
Wink O	costante di sottofondo (coefficiente di Winkler) per la modellazione del suolo elastico orizzontale

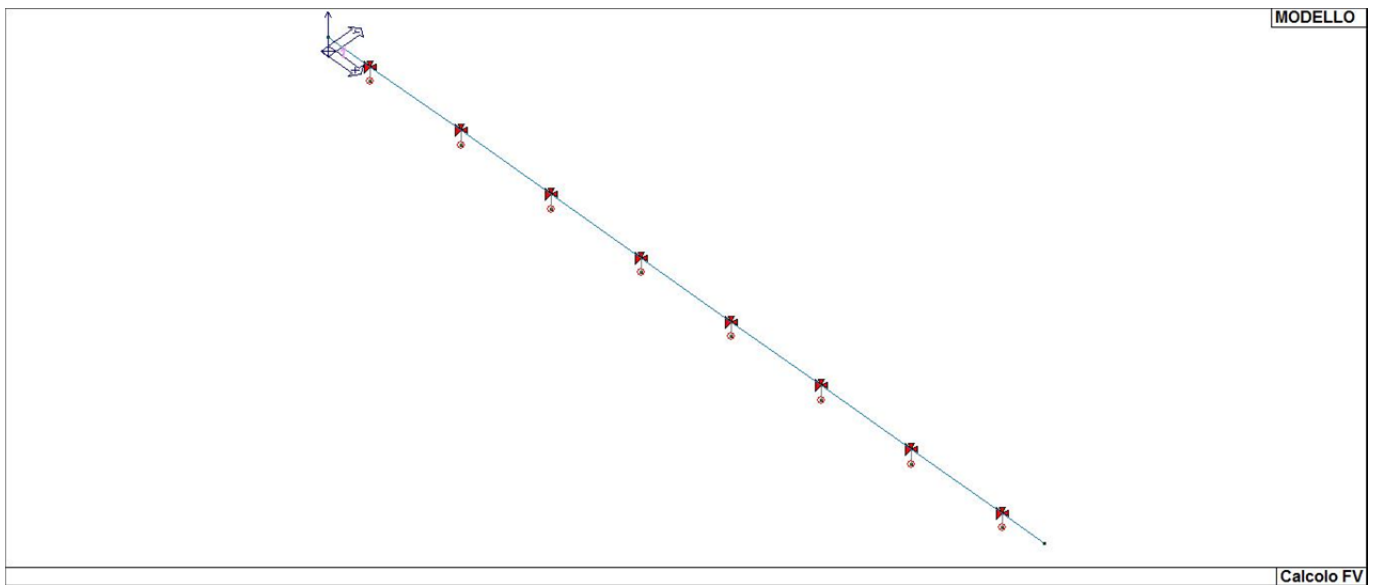
Elem.	Note	Nodo I	Nodo J	Mat.	Sez.	Crit.	Rotaz. gradi	Svincolo I	Svincolo J	Wink V daN/cm3	Wink O daN/cm3
1	Pilas.	1	2	11	1	1					
2	Pilas.	3	4	11	1	1					
3	Pilas.	5	6	11	1	1					
4	Pilas.	7	8	11	1	1					
5	Pilas.	9	10	11	1	1					
6	Pilas.	11	12	11	1	1					
7	Pilas.	13	14	11	1	1					
8	Pilas.	15	16	11	1	1					
9	Trave	17	2	11	2	1					
10	Trave	2	4	11	2	1					
11	Trave	4	6	11	2	1					
12	Trave	6	8	11	2	1					
13	Trave	8	10	11	2	1					
14	Trave	10	12	11	2	1					
15	Trave	12	14	11	2	1					
16	Trave	14	16	11	2	1					
17	Trave	16	18	11	2	1					



15_MOD_NUMERAZIONE_D2



15_MOD_NUMERAZIONE_D2_PILASTRATE



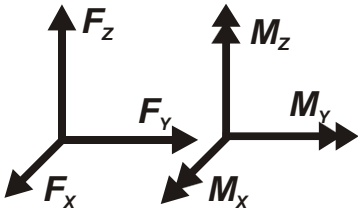
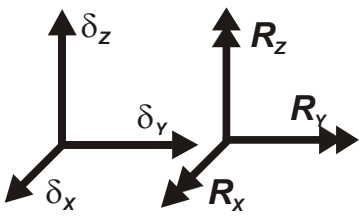
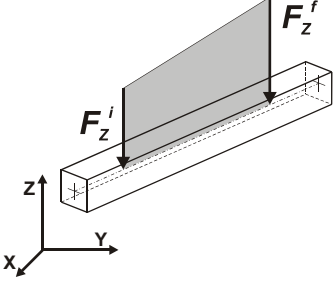
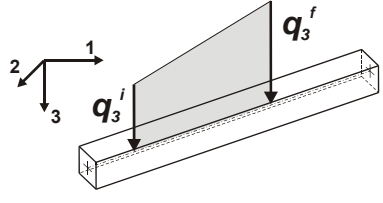
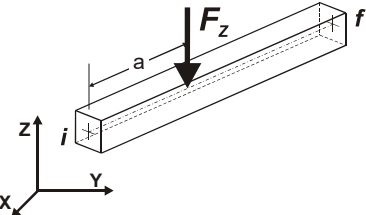
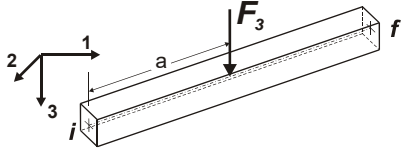
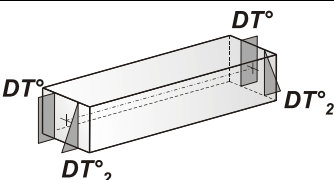
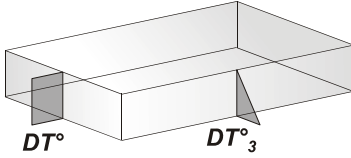
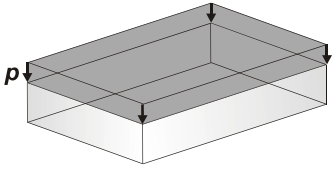
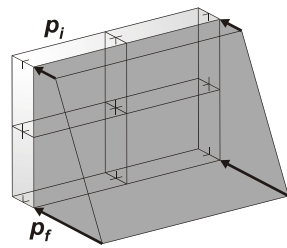
15_MOD_NUMERAZIONE_D2_TRAVATE

MODELLAZIONE DELLE AZIONI

LEGENDA TABELLA DATI AZIONI

Il programma consente l'uso di diverse tipologie di carico (azioni). Le azioni utilizzate nella modellazione sono individuate da una sigla identificativa ed un codice numerico (gli elementi strutturali richiamano quest'ultimo nella propria descrizione). Per ogni azione applicata alla struttura viene di riportato il codice, il tipo e la sigla identificativa. Le tabelle successive dettagliano i valori caratteristici di ogni azione in relazione al tipo. Le tabelle riportano infatti i seguenti dati in relazione al tipo:

1	carico concentrato nodale 6 dati (forza F_x , F_y , F_z , momento M_x , M_y , M_z)
2	spostamento nodale impresso 6 dati (spostamento T_x , T_y , T_z , rotazione R_x , R_y , R_z)
3	carico distribuito globale su elemento tipo trave 7 dati (f_x , f_y , f_z , m_x , m_y , m_z , ascissa di inizio carico) 7 dati (f_x , f_y , f_z , m_x , m_y , m_z , ascissa di fine carico)
4	carico distribuito locale su elemento tipo trave 7 dati (f_1 , f_2 , f_3 , m_1 , m_2 , m_3 , ascissa di inizio carico) 7 dati (f_1 , f_2 , f_3 , m_1 , m_2 , m_3 , ascissa di fine carico)
5	carico concentrato globale su elemento tipo trave 7 dati (F_x , F_y , F_z , M_x , M_y , M_z , ascissa di carico)
6	carico concentrato locale su elemento tipo trave 7 dati (F_1 , F_2 , F_3 , M_1 , M_2 , M_3 , ascissa di carico)
7	variazione termica applicata ad elemento tipo trave 7 dati (variazioni termiche: uniforme, media e differenza in altezza e larghezza al nodo iniziale e finale)
8	carico di pressione uniforme su elemento tipo piastra 1 dato (pressione)
9	carico di pressione variabile su elemento tipo piastra 4 dati (pressione, quota, pressione, quota)
10	variazione termica applicata ad elemento tipo piastra 2 dati (variazioni termiche: media e differenza nello spessore)
11	carico variabile generale su elementi tipo trave e piastra 1 dato descrizione della tipologia 4 dati per segmento (posizione, valore, posizione, valore) la tipologia precisa l'ascissa di definizione, la direzione del carico, la modalità di carico e la larghezza d'influenza per gli elementi tipo trave
12	gruppo di carichi con impronta su piastra 9 dati (numero di ripetizioni in direzione X e Y, valore di ciascun carico, posizione centrale del primo, dimensioni dell'impronta, interasse tra i carichi)

	Carico concentrato nodale		Spostamento impresso
	Carico distribuito globale		Carico distribuito locale
	Carico concentrato globale		Carico concentrato locale
	Carico termico 2D		Carico termico 3D
	Carico pressione uniforme		Carico pressione variabile

Tipo carico concentrato nodale

Id	Tipo	Fx	Fy	Fz	Mx	My	Mz
		daN	daN	daN	daN cm	daN cm	daN cm
3	Momento in testa al palo-CN:My=35.00	0.0	0.0	0.0	0.0	35.00	0.0

Tipo carico distribuito globale su trave

Id	Tipo	Pos.	fx	fy	fz	mx	my	mz
		cm	daN/cm	daN/cm	daN/cm	daN	daN	daN
1	Peso moduli fotovoltaici-DG:Fzi=-0.30 Fzf=-0.30	0.0	0.0	0.0	-0.30	0.0	0.0	0.0
		0.0	0.0	0.0	-0.30	0.0	0.0	0.0
2	Pressione massima del vento-DG:Fyi=0.10 Fyf=0.10	0.0	0.0	0.10	0.0	0.0	0.0	0.0
		0.0	0.0	0.10	0.0	0.0	0.0	0.0

SCHEMATIZZAZIONE DEI CASI DI CARICO

LEGENDA TABELLA CASI DI CARICO

Il programma consente l'applicazione di diverse tipologie di casi di carico.

Sono previsti i seguenti 11 tipi di casi di carico:

	Sigla	Tipo	Descrizione
1	Ggk	A	caso di carico comprensivo del peso proprio struttura
2	Gk	NA	caso di carico con azioni permanenti
3	Qk	NA	caso di carico con azioni variabili
4	Gsk	A	caso di carico comprensivo dei carichi permanenti sui solai e sulle coperture
5	Qsk	A	caso di carico comprensivo dei carichi variabili sui solai
6	Qnk	A	caso di carico comprensivo dei carichi di neve sulle coperture
7	Qtk	SA	caso di carico comprensivo di una variazione termica agente sulla struttura
8	Qvk	NA	caso di carico comprensivo di azioni da vento sulla struttura
9	Esk	SA	caso di carico sismico con analisi statica equivalente
10	Edk	SA	caso di carico sismico con analisi dinamica
11	Etk	NA	caso di carico comprensivo di azioni derivanti dall' incremento di spinta delle terre in condizione sismica
12	Pk	NA	caso di carico comprensivo di azioni derivanti da coazioni, cedimenti e precompressioni

Sono di tipo automatico A (ossia non prevedono introduzione dati da parte dell'utente) i seguenti casi di carico: 1-Ggk; 4-Gsk; 5-Qsk; 6-Qnk.

Sono di tipo semi-automatico SA (ossia prevedono una minima introduzione dati da parte dell'utente) i seguenti casi di carico:

7-Qtk, in quanto richiede solo il valore della variazione termica;

9-Esk e 10-Edk, in quanto richiedono il valore dell'angolo di ingresso del sisma e l'individuazione dei casi di carico partecipanti alla definizione delle masse.

Sono di tipo non automatico NA ossia prevedono la diretta applicazione di carichi generici agli elementi strutturali (si veda il precedente punto Modellazione delle Azioni) i restanti casi di carico.

Nella tabella successiva vengono riportati i casi di carico agenti sulla struttura, con l'indicazione dei dati relativi al caso di carico stesso:

Numero Tipo e Sigla identificativa, Valore di riferimento del caso di carico (se previsto).

In successione, per i casi di carico non automatici, viene riportato l'elenco di nodi ed elementi direttamente caricati con la sigla identificativa del carico.

Per i casi di carico di tipo sismico (9-Esk e 10-Edk), viene riportata la tabella di definizione delle masse: per ogni caso di carico partecipante alla definizione delle masse viene indicata la relativa aliquota (partecipazione) considerata. Si precisa che per i caso di carico 5-Qsk e 6-Qnk la partecipazione è prevista localmente per ogni elemento solaio o copertura presente nel modello (si confronti il valore Sksol nel capitolo relativo agli elementi solaio) e pertanto la loro partecipazione è di norma pari a uno.

LOCALIZZAZIONE DELL'INTERVENTO

Località: SASSARI
Provincia: SASSARI
Regione: SARDEGNA

Coordinate GPS:
Latitudine : 40,65800 N
Longitudine: 8,68000 E

Altitudine s.l.m.: 225,0 m

CALCOLO DELLE AZIONI DELLA NEVE E DEL VENTO

Normativa di riferimento:
D.M. 17 gennaio 2018 - NORME TECNICHE PER LE COSTRUZIONI
Cap. 3 - AZIONI SULLE COSTRUZIONI - Par. 3.3 e 3.4

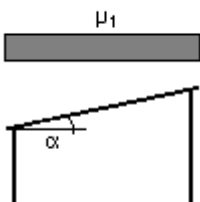
NEVE:

Zona Neve = III
Periodo di ritorno, $T_r = 50$ anni
Ctr = 1 per $T_r = 50$ anni
 C_e (coeff. di esposizione al vento) = 0,90
Valore caratteristico del carico al suolo = $q_{sk} C_e C_{tr} = 66$ daN/mq

Copertura ad una falda:

Angolo di inclinazione della falda $\alpha = 55,0^\circ$
 $\mu_1 = 0,13 \Rightarrow Q_1 = 9$ daN/mq

Schema di carico:



VENTO:

Zona vento = 6
Velocità base della zona, $V_{b.o} = 28$ m/s (Tab. 3.3.I)
Altitudine base della zona, $A_o = 500$ m (Tab. 3.3.I)
Altitudine del sito, $A_s = 317$ m
Velocità di riferimento, $V_b = 28,00$ m/s ($V_b = V_{b.o}$ per $A_s \leq A_o$)
Periodo di ritorno, $T_r = 50$ anni
 $C_r = 1$ per $T_r = 50$ anni
Velocità riferita al periodo di ritorno di progetto, $V_r = V_b C_r = 28,00$ m/s

Classe di rugosità del terreno: D

[Aree prive di ostacoli o con al di più rari ostacoli isolati (aperta campagna, aeroporti, aree agricole, zone paludose o sabbiose, superfici innevate o ghiacciate, mare, laghi,...)]

Esposizione: Cat. II - Entroterra fino a 500 m di altitudine

(Kr = 0,19; Zo = 0,05 m; Zmin = 4 m)

Pressione cinetica di riferimento, qb = 49 daN/mq

Coefficiente di forma, Cp = 1,00

Coefficiente dinamico, Cd = 1,00

Coefficiente di esposizione, Ce = 1,80

Coefficiente di esposizione topografica, Ct = 1,00

Altezza dell'edificio, h = 1,50 m

Pressione del vento, p = qb Ce Cp Cd = 88 daN/mq

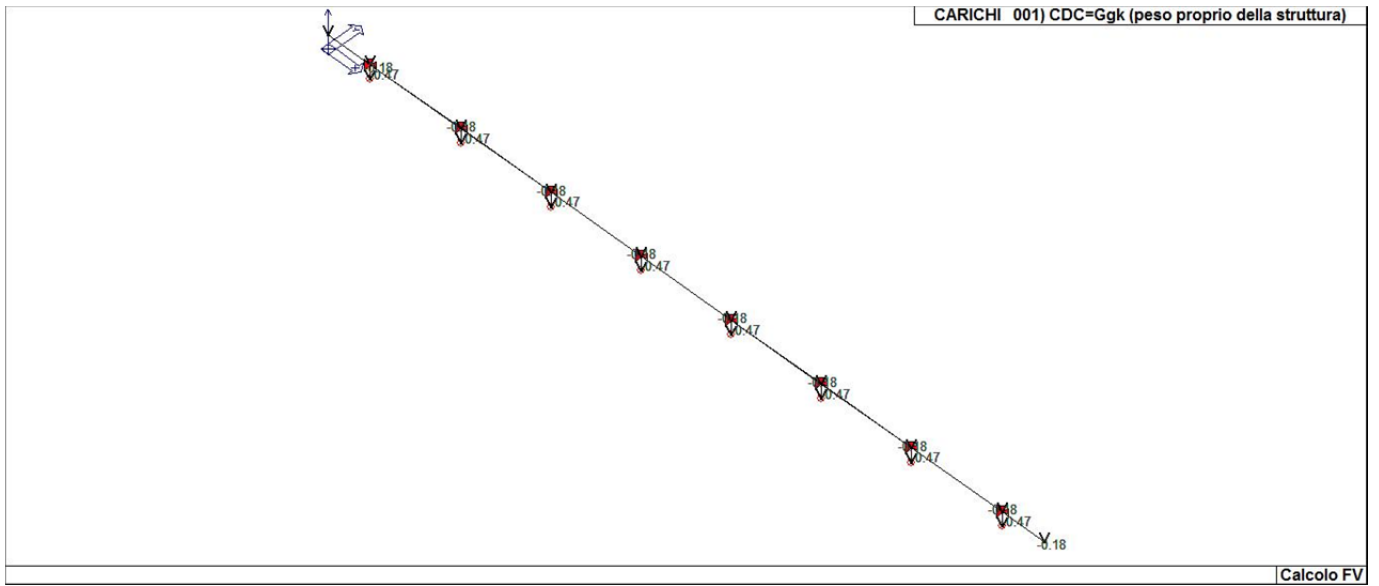
TEMPERATURA DELL'ARIA ESTERNA:

Zona: II

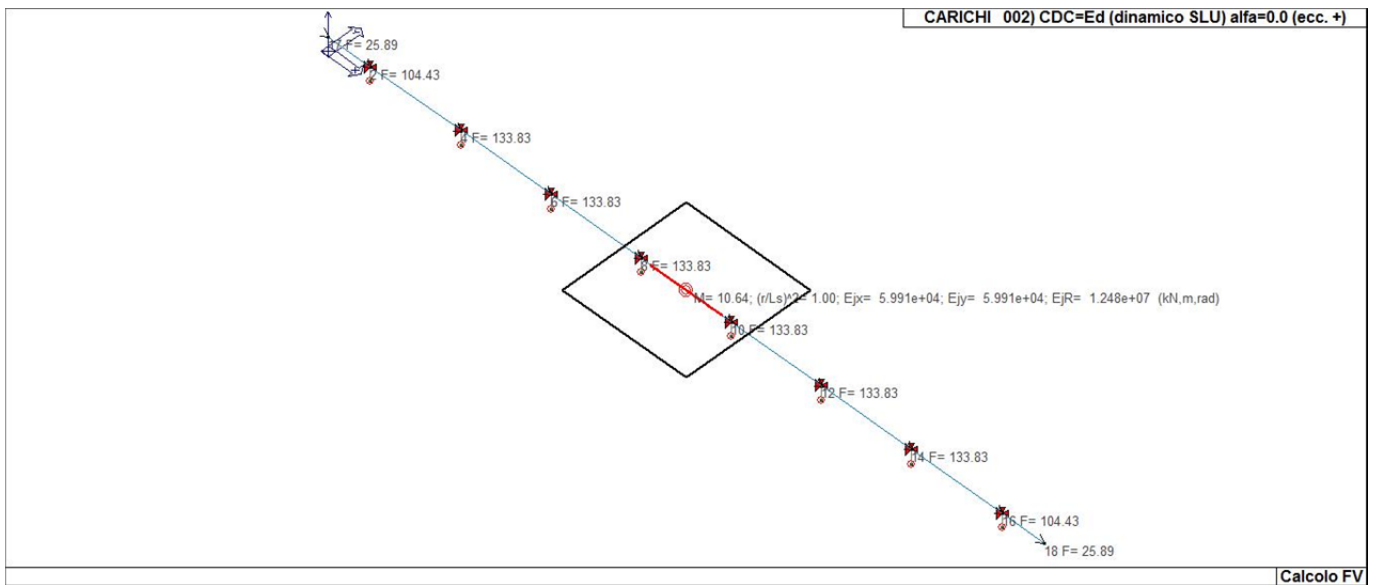
T min = -9.90° [NTC 3.5.3]

T max = 41.37° [NTC 3.5.4]

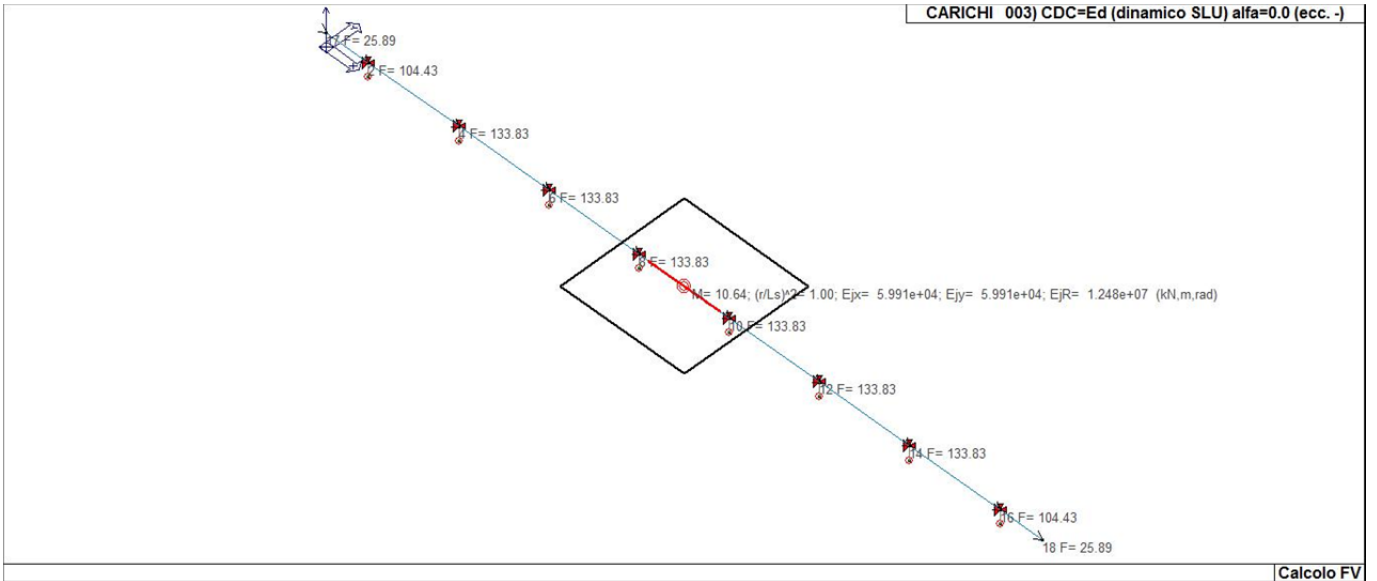
CDC	Tipo	Sigla Id	Note
1	Ggk	CDC=Ggk (peso proprio della struttura)	
2	Edk	CDC=Ed (dinamico SLU) alfa=0.0 (ecc. +)	partecipazione:1.00 per 1 CDC=Ggk (peso proprio della struttura)
3	Edk	CDC=Ed (dinamico SLU) alfa=0.0 (ecc. -)	come precedente CDC sismico
4	Edk	CDC=Ed (dinamico SLU) alfa=90.00 (ecc. +)	come precedente CDC sismico
5	Edk	CDC=Ed (dinamico SLU) alfa=90.00 (ecc. -)	come precedente CDC sismico
6	Edk	CDC=Ed (dinamico SLD) alfa=0.0 (ecc. +)	come precedente CDC sismico
7	Edk	CDC=Ed (dinamico SLD) alfa=0.0 (ecc. -)	come precedente CDC sismico
8	Edk	CDC=Ed (dinamico SLD) alfa=90.00 (ecc. +)	come precedente CDC sismico
9	Edk	CDC=Ed (dinamico SLD) alfa=90.00 (ecc. -)	come precedente CDC sismico
10	Qvk	CDC=Qvk (carico da vento) dir X +	Azioni applicate:
11	Qvk	CDC=Qvk (carico da vento) dir X -	Azioni applicate:
12	Qvk	CDC=Qvk (carico da vento) dir Y +	Azioni applicate:
			Nodo: 2 Azione : Momento in testa al palo-CN:My=35.00
			Nodo: 4 Azione : Momento in testa al palo-CN:My=35.00
			Nodo: 6 Azione : Momento in testa al palo-CN:My=35.00
			Nodo: 8 Azione : Momento in testa al palo-CN:My=35.00
			Nodo: 10 Azione : Momento in testa al palo-CN:My=35.00
			Nodo: 12 Azione : Momento in testa al palo-CN:My=35.00
			Nodo: 14 Azione : Momento in testa al palo-CN:My=35.00
			Nodo: 16 Azione : Momento in testa al palo-CN:My=35.00
			D2 :da 9 a 17 Azione : Pressione massima del vento-DG:Fyi=0.10 Fyf=0.10
13	Qvk	CDC=Qvk (carico da vento) dir Y -	Azioni applicate:
14	Gk	CDC=G1k (permanente generico) Peso moduli fotovoltaici	Azioni applicate:
			D2 :da 9 a 17 Azione : Peso moduli fotovoltaici-DG:Fzi=-0.30 Fzf=-0.30



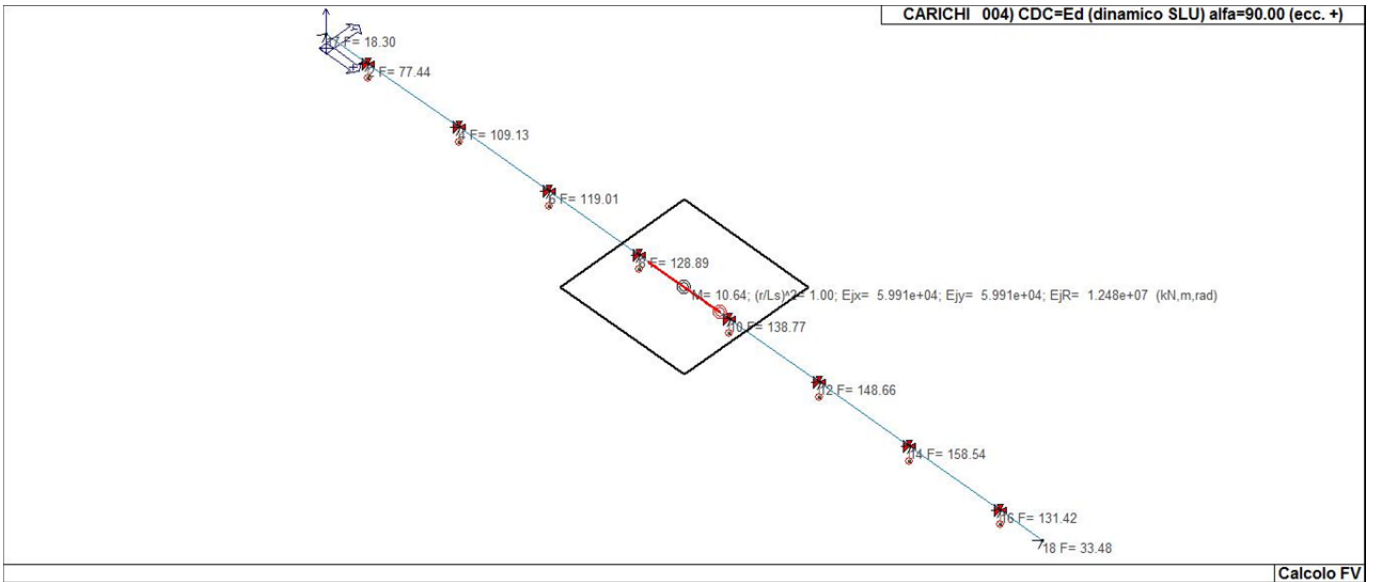
22_CDC_001_CDC=Ggk (peso proprio della struttura)



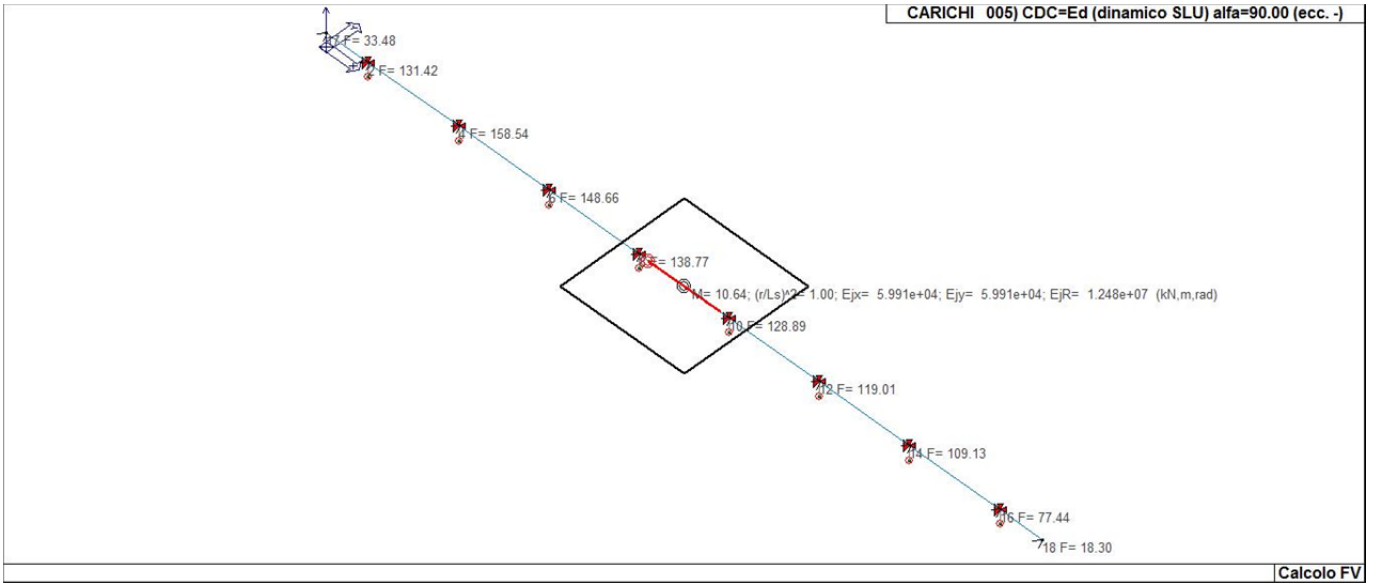
22_CDC_002_CDC=Ed (dinamico SLU) alfa=0.0 (ecc. +)



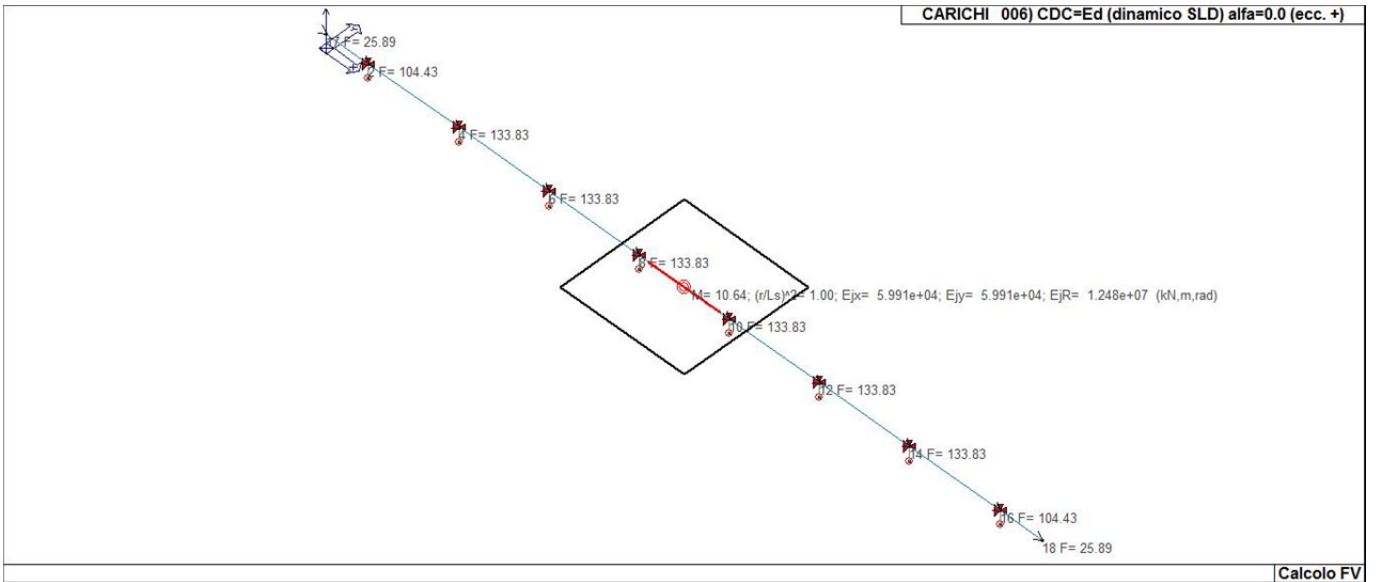
22_CDC_003_CDC=Ed (dinamico SLU) alfa=0.0 (ecc. -)



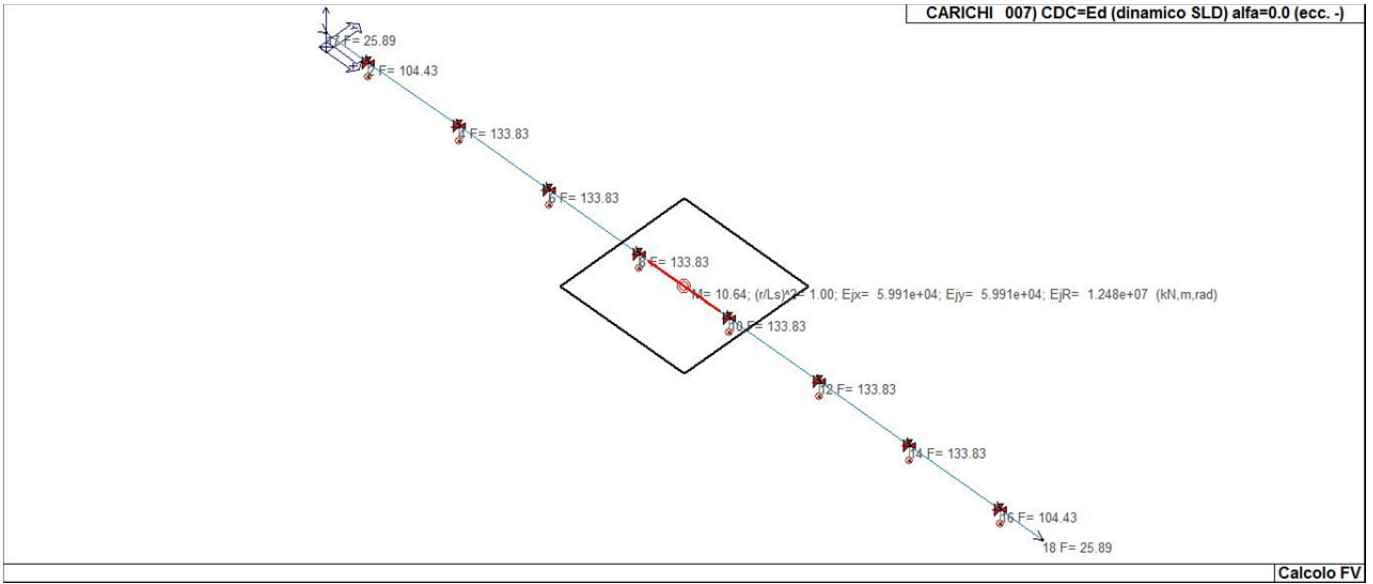
22_CDC_004_CDC=Ed (dinamico SLU) alfa=90.00 (ecc. +)



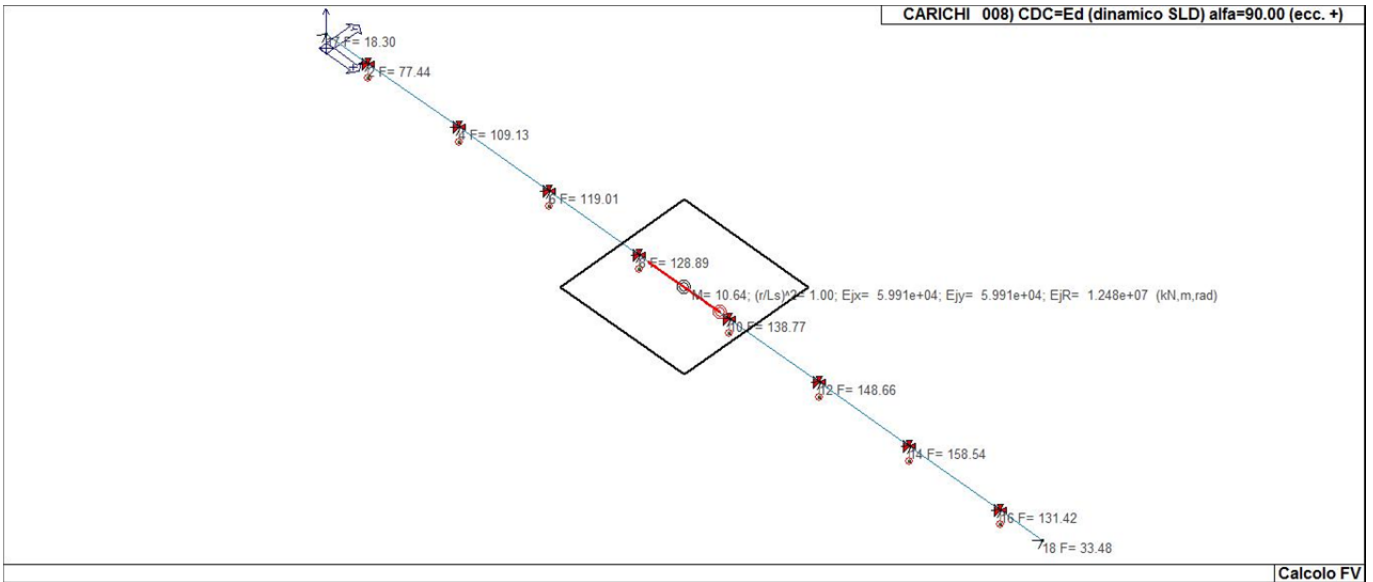
22_CDC_005_CDC=Ed (dinamico SLU) alfa=90.00 (ecc. -)



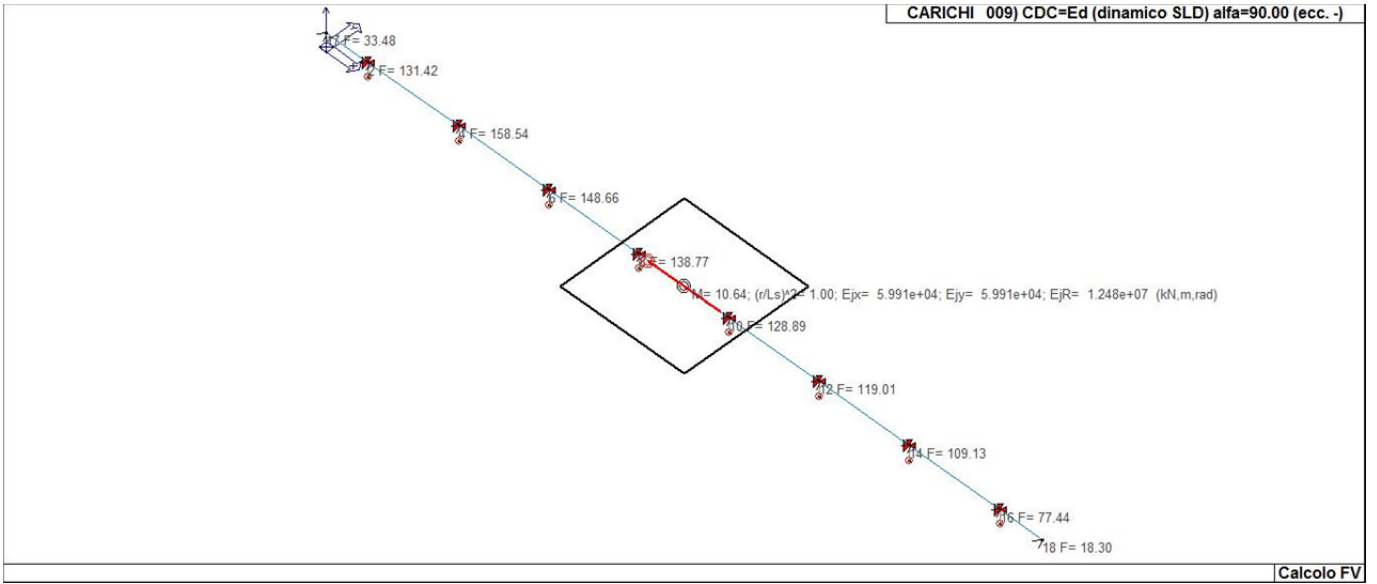
22_CDC_006_CDC=Ed (dinamico SLD) alfa=0.0 (ecc. +)



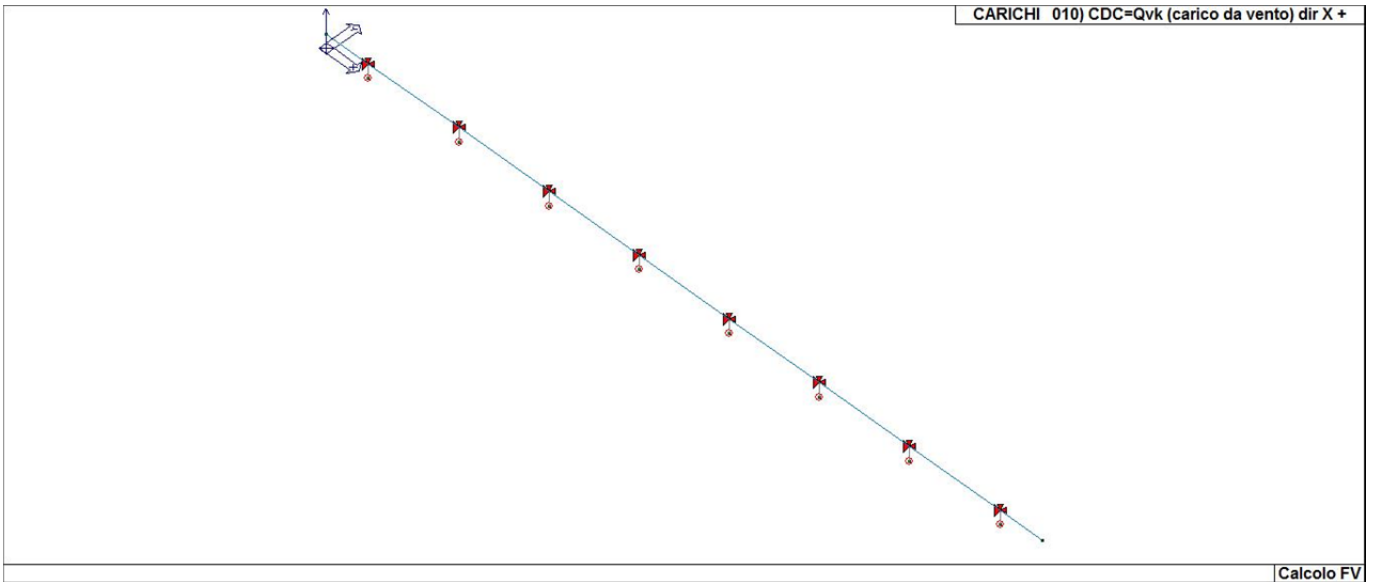
22_CDC_007_CDC=Ed (dinamico SLD) alfa=0.0 (ecc. -)



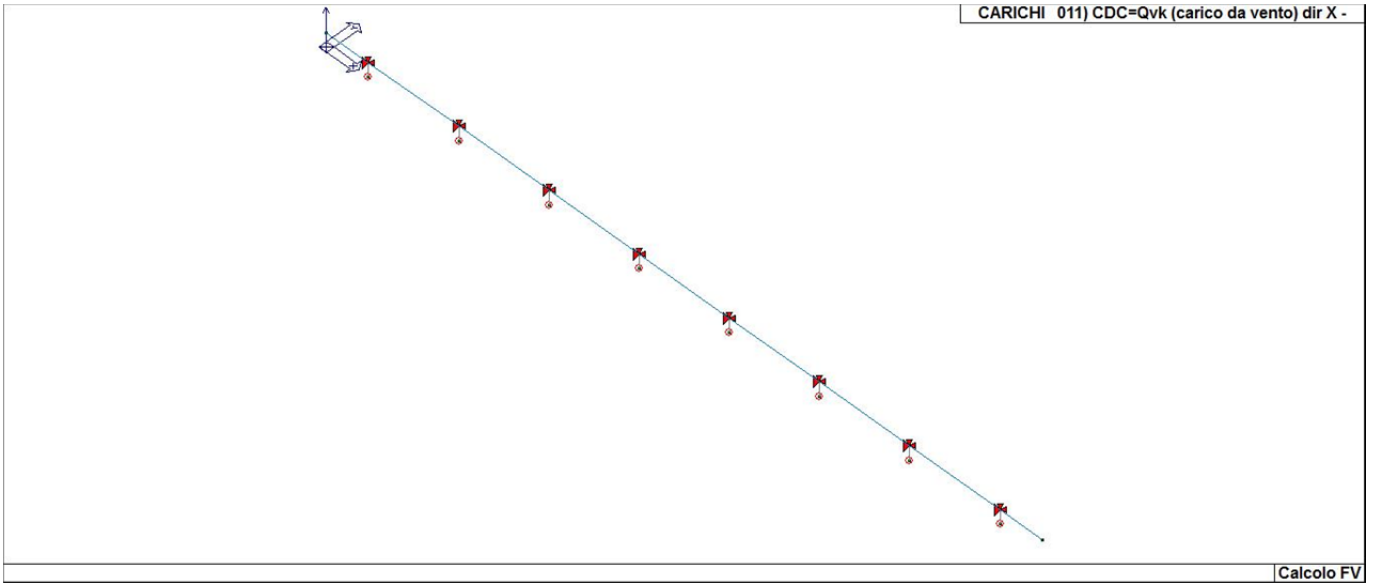
22_CDC_008_CDC=Ed (dinamico SLD) alfa=90.00 (ecc. +)



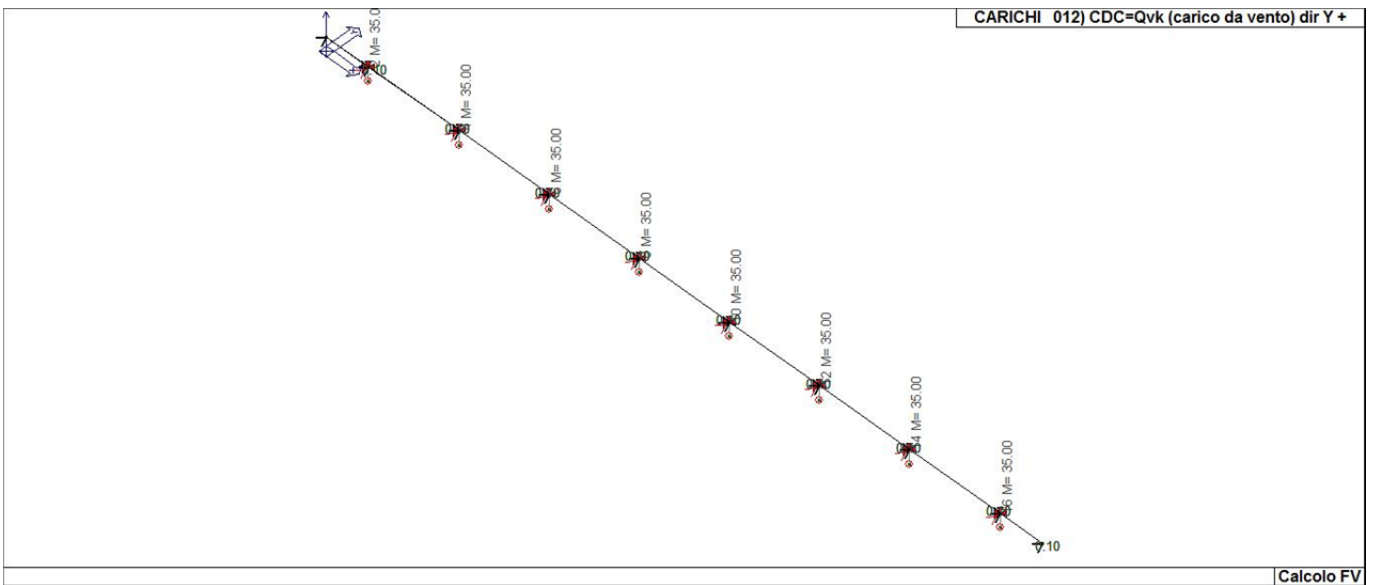
22_CDC_009_CDC=Ed (dinamico SLD) alfa=90.00 (ecc. -)



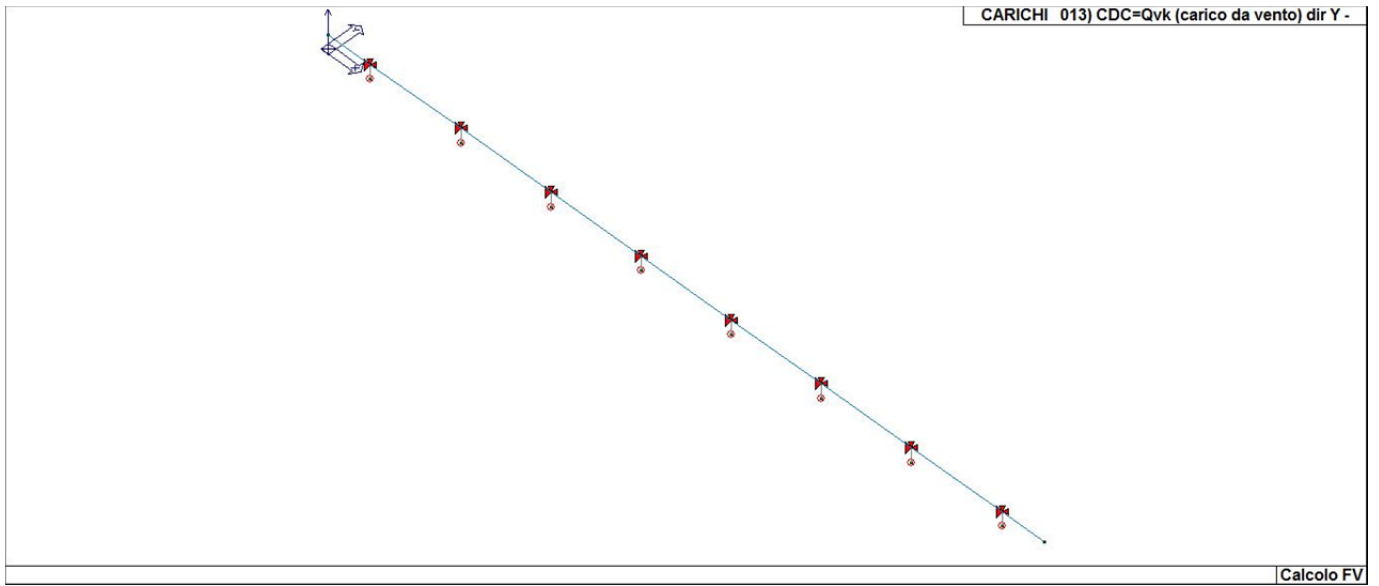
22_CDC_010_CDC=Qvk (carico da vento) dir X +



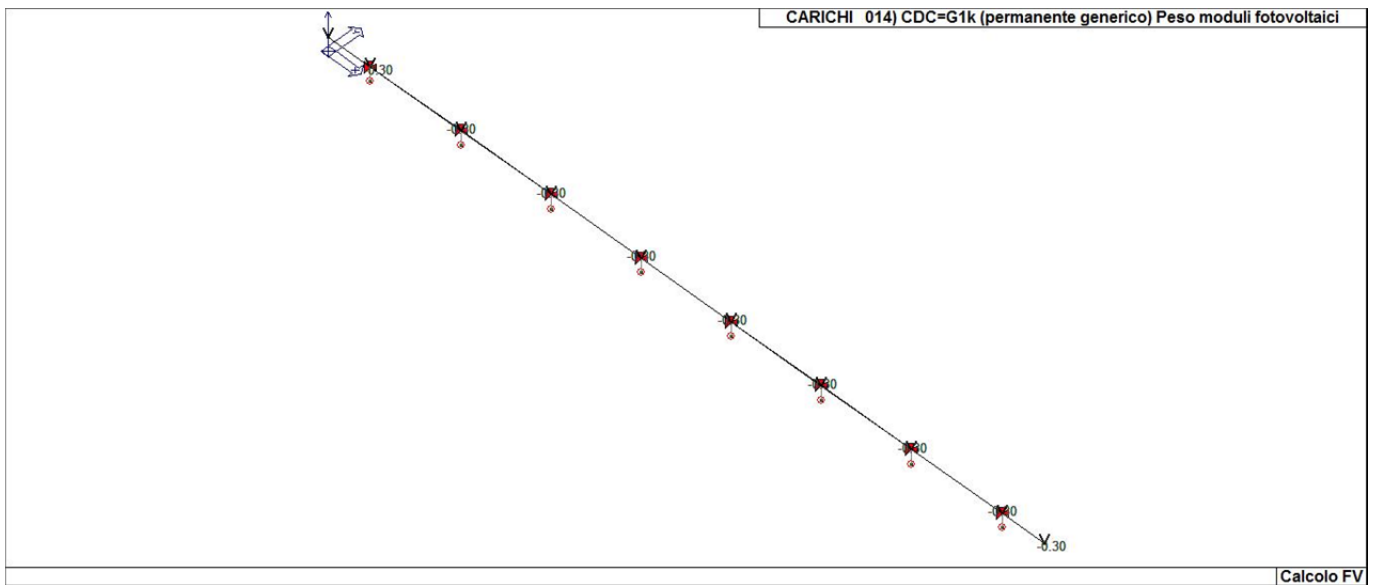
22_CDC_011_CDC=Qvk (carico da vento) dir X -



22_CDC_012_CDC=Qvk (carico da vento) dir Y +



22_CDC_013_CDC=Qvk (carico da vento) dir Y -



22_CDC_014_CDC=G1k (permanente generico) Peso moduli fotovoltaici

DEFINIZIONE DELLE COMBINAZIONI

LEGENDA TABELLA COMBINAZIONI DI CARICO

Il programma combina i diversi tipi di casi di carico (CDC) secondo le regole previste dalla normativa vigente. Le combinazioni previste sono destinate al controllo di sicurezza della struttura ed alla verifica degli spostamenti e delle sollecitazioni.

La prima tabella delle combinazioni riportata di seguito comprende le seguenti informazioni: Numero, Tipo, Sigla identificativa. Una seconda tabella riporta il peso nella combinazione assunto per ogni caso di carico.

Ai fini delle verifiche degli stati limite si definiscono le seguenti combinazioni delle azioni:

Combinazione fondamentale SLU

$$\gamma G_1 \cdot G_1 + \gamma G_2 \cdot G_2 + \gamma P \cdot P + \gamma Q_1 \cdot Q_{k1} + \gamma Q_2 \cdot \psi_{02} \cdot Q_{k2} + \gamma Q_3 \cdot \psi_{03} \cdot Q_{k3} + \dots$$

Combinazione caratteristica (rara) SLE

$$G_1 + G_2 + P + Q_{k1} + \psi_{02} \cdot Q_{k2} + \psi_{03} \cdot Q_{k3} + \dots$$

Combinazione frequente SLE

$$G_1 + G_2 + P + \psi_{11} \cdot Q_{k1} + \psi_{22} \cdot Q_{k2} + \psi_{23} \cdot Q_{k3} + \dots$$

Combinazione quasi permanente SLE

$$G_1 + G_2 + P + \psi_{21} \cdot Q_{k1} + \psi_{22} \cdot Q_{k2} + \psi_{23} \cdot Q_{k3} + \dots$$

Combinazione sismica, impiegata per gli stati limite ultimi e di esercizio connessi all'azione sismica E

$$E + G_1 + G_2 + P + \psi_{21} \cdot Q_{k1} + \psi_{22} \cdot Q_{k2} + \dots$$

Combinazione eccezionale, impiegata per gli stati limite connessi alle azioni eccezionali

$$G_1 + G_2 + A_d + P + \psi_{21} \cdot Q_{k1} + \psi_{22} \cdot Q_{k2} + \dots$$

Dove:

NTC 2018 Tabella 2.5.1

Destinazione d'uso/azione	ψ_0	ψ_1	ψ_2
Categoria A residenziali	0,70	0,50	0,30
Categoria B uffici	0,70	0,50	0,30
Categoria C ambienti suscettibili di affollamento	0,70	0,70	0,60
Categoria D ambienti ad uso commerciale	0,70	0,70	0,60
Categoria E biblioteche, archivi, magazzini,...	1,00	0,90	0,80
Categoria F Rimesse e parcheggi (autoveicoli ≤ 30 kN)	0,70	0,70	0,60
Categoria G Rimesse e parcheggi (autoveicoli > 30 kN)	0,70	0,50	0,30
Categoria H Coperture	0,00	0,00	0,00
Vento	0,60	0,20	0,00
Neve a quota ≤ 1000 m	0,50	0,20	0,00
Neve a quota > 1000 m	0,70	0,50	0,20
Variazioni Termiche	0,60	0,50	0,00

Nelle verifiche possono essere adottati in alternativa due diversi approcci progettuali:

- per l'approccio 1 si considerano due diverse combinazioni di gruppi di coefficienti di sicurezza parziali per le azioni, per i materiali e per la resistenza globale (combinazione 1 con coefficienti A1 e combinazione 2 con coefficienti A2),
- per l'approccio 2 si definisce un'unica combinazione per le azioni, per la resistenza dei materiali e per la resistenza globale (con coefficienti A1).

NTC 2018 Tabella 2.6.1

		Coefficiente γ_f	EQU	A1	A2
Carichi permanenti	Favorevoli	γ_{G1}	0,9	1,0	1,0
	Sfavorevoli		1,1	1,3	1,0

<i>Carichi permanenti non strutturali (Non compiutamente definiti)</i>	<i>Favorevoli Sfavorevoli</i>	γ_{G2}	<i>0,8 1,5</i>	<i>0,8 1,5</i>	<i>0,8 1,3</i>
<i>Carichi variabili</i>	<i>Favorevoli Sfavorevoli</i>	γ_{Qi}	<i>0,0 1,5</i>	<i>0,0 1,5</i>	<i>0,0 1,3</i>

Cmb	Tipo	Sigla Id	effetto P-delta
1	SLU	Comb. SLU A1 1	
2	SLU	Comb. SLU A1 2	
3	SLU	Comb. SLU A1 3	
4	SLU	Comb. SLU A1 4	
5	SLU	Comb. SLU A1 5	
6	SLU	Comb. SLU A1 6	
7	SLU	Comb. SLU A1 7	
8	SLU	Comb. SLU A1 8	
9	SLU	Comb. SLU A1 9	
10	SLU	Comb. SLU A1 10	
11	SLU	Comb. SLU A1 11	
12	SLU	Comb. SLU A1 12	
13	SLU	Comb. SLU A1 13	
14	SLU	Comb. SLU A1 14	
15	SLU	Comb. SLU A1 15	
16	SLU	Comb. SLU A1 16	
17	SLU	Comb. SLU A1 17	
18	SLU	Comb. SLU A1 18	
19	SLU	Comb. SLU A1 (SLV sism.) 19	
20	SLU	Comb. SLU A1 (SLV sism.) 20	
21	SLU	Comb. SLU A1 (SLV sism.) 21	
22	SLU	Comb. SLU A1 (SLV sism.) 22	
23	SLU	Comb. SLU A1 (SLV sism.) 23	
24	SLU	Comb. SLU A1 (SLV sism.) 24	
25	SLU	Comb. SLU A1 (SLV sism.) 25	
26	SLU	Comb. SLU A1 (SLV sism.) 26	
27	SLU	Comb. SLU A1 (SLV sism.) 27	
28	SLU	Comb. SLU A1 (SLV sism.) 28	
29	SLU	Comb. SLU A1 (SLV sism.) 29	
30	SLU	Comb. SLU A1 (SLV sism.) 30	
31	SLU	Comb. SLU A1 (SLV sism.) 31	
32	SLU	Comb. SLU A1 (SLV sism.) 32	
33	SLU	Comb. SLU A1 (SLV sism.) 33	
34	SLU	Comb. SLU A1 (SLV sism.) 34	
35	SLU	Comb. SLU A1 (SLV sism.) 35	
36	SLU	Comb. SLU A1 (SLV sism.) 36	
37	SLU	Comb. SLU A1 (SLV sism.) 37	
38	SLU	Comb. SLU A1 (SLV sism.) 38	
39	SLU	Comb. SLU A1 (SLV sism.) 39	
40	SLU	Comb. SLU A1 (SLV sism.) 40	
41	SLU	Comb. SLU A1 (SLV sism.) 41	
42	SLU	Comb. SLU A1 (SLV sism.) 42	
43	SLU	Comb. SLU A1 (SLV sism.) 43	
44	SLU	Comb. SLU A1 (SLV sism.) 44	
45	SLU	Comb. SLU A1 (SLV sism.) 45	
46	SLU	Comb. SLU A1 (SLV sism.) 46	
47	SLU	Comb. SLU A1 (SLV sism.) 47	
48	SLU	Comb. SLU A1 (SLV sism.) 48	
49	SLU	Comb. SLU A1 (SLV sism.) 49	
50	SLU	Comb. SLU A1 (SLV sism.) 50	
51	SLD(sis)	Comb. SLE (SLD Danno sism.) 51	
52	SLD(sis)	Comb. SLE (SLD Danno sism.) 52	
53	SLD(sis)	Comb. SLE (SLD Danno sism.) 53	
54	SLD(sis)	Comb. SLE (SLD Danno sism.) 54	
55	SLD(sis)	Comb. SLE (SLD Danno sism.) 55	
56	SLD(sis)	Comb. SLE (SLD Danno sism.) 56	
57	SLD(sis)	Comb. SLE (SLD Danno sism.) 57	
58	SLD(sis)	Comb. SLE (SLD Danno sism.) 58	
59	SLD(sis)	Comb. SLE (SLD Danno sism.) 59	
60	SLD(sis)	Comb. SLE (SLD Danno sism.) 60	
61	SLD(sis)	Comb. SLE (SLD Danno sism.) 61	
62	SLD(sis)	Comb. SLE (SLD Danno sism.) 62	
63	SLD(sis)	Comb. SLE (SLD Danno sism.) 63	

Cmb	Tipo	Sigla Id	effetto P-delta
64	SLD(sis)	Comb. SLE (SLD Danno sism.) 64	
65	SLD(sis)	Comb. SLE (SLD Danno sism.) 65	
66	SLD(sis)	Comb. SLE (SLD Danno sism.) 66	
67	SLD(sis)	Comb. SLE (SLD Danno sism.) 67	
68	SLD(sis)	Comb. SLE (SLD Danno sism.) 68	
69	SLD(sis)	Comb. SLE (SLD Danno sism.) 69	
70	SLD(sis)	Comb. SLE (SLD Danno sism.) 70	
71	SLD(sis)	Comb. SLE (SLD Danno sism.) 71	
72	SLD(sis)	Comb. SLE (SLD Danno sism.) 72	
73	SLD(sis)	Comb. SLE (SLD Danno sism.) 73	
74	SLD(sis)	Comb. SLE (SLD Danno sism.) 74	
75	SLD(sis)	Comb. SLE (SLD Danno sism.) 75	
76	SLD(sis)	Comb. SLE (SLD Danno sism.) 76	
77	SLD(sis)	Comb. SLE (SLD Danno sism.) 77	
78	SLD(sis)	Comb. SLE (SLD Danno sism.) 78	
79	SLD(sis)	Comb. SLE (SLD Danno sism.) 79	
80	SLD(sis)	Comb. SLE (SLD Danno sism.) 80	
81	SLD(sis)	Comb. SLE (SLD Danno sism.) 81	
82	SLD(sis)	Comb. SLE (SLD Danno sism.) 82	
83	SLU(acc.)	Comb. SLU (Accid.) 83	
84	SLE(r)	Comb. SLE(rara) 84	
85	SLE(r)	Comb. SLE(rara) 85	
86	SLE(r)	Comb. SLE(rara) 86	
87	SLE(r)	Comb. SLE(rara) 87	
88	SLE(r)	Comb. SLE(rara) 88	
89	SLE(r)	Comb. SLE(rara) 89	
90	SLE(r)	Comb. SLE(rara) 90	
91	SLE(r)	Comb. SLE(rara) 91	
92	SLE(r)	Comb. SLE(rara) 92	
93	SLE(f)	Comb. SLE(freq.) 93	
94	SLE(f)	Comb. SLE(freq.) 94	
95	SLE(f)	Comb. SLE(freq.) 95	
96	SLE(f)	Comb. SLE(freq.) 96	
97	SLE(f)	Comb. SLE(freq.) 97	
98	SLE(p)	Comb. SLE(perm.) 98	

Cmb	CDC 1/15...	CDC 2/16...	CDC 3/17...	CDC 4/18...	CDC 5/19...	CDC 6/20...	CDC 7/21...	CDC 8/22...	CDC 9/23...	CDC 10/24...	CDC 11/25...	CDC 12/26...	CDC 13/27...	CDC 14/28...
1	1.30	0.0	0.0	0.0	0.0	0.0	0.0	0.0	0.0	0.0	0.0	0.0	0.0	1.30
2	1.00	0.0	0.0	0.0	0.0	0.0	0.0	0.0	0.0	0.0	0.0	0.0	0.0	1.00
3	1.30	0.0	0.0	0.0	0.0	0.0	0.0	0.0	0.0	1.50	0.0	0.0	0.0	1.30
4	1.00	0.0	0.0	0.0	0.0	0.0	0.0	0.0	0.0	1.50	0.0	0.0	0.0	1.00
5	1.30	0.0	0.0	0.0	0.0	0.0	0.0	0.0	0.0	0.90	0.0	0.0	0.0	1.30
6	1.00	0.0	0.0	0.0	0.0	0.0	0.0	0.0	0.0	0.90	0.0	0.0	0.0	1.00
7	1.30	0.0	0.0	0.0	0.0	0.0	0.0	0.0	0.0	0.0	0.90	0.0	0.0	1.30
8	1.00	0.0	0.0	0.0	0.0	0.0	0.0	0.0	0.0	0.0	0.90	0.0	0.0	1.00
9	1.30	0.0	0.0	0.0	0.0	0.0	0.0	0.0	0.0	0.0	1.50	0.0	0.0	1.30
10	1.00	0.0	0.0	0.0	0.0	0.0	0.0	0.0	0.0	0.0	1.50	0.0	0.0	1.00
11	1.30	0.0	0.0	0.0	0.0	0.0	0.0	0.0	0.0	0.0	0.0	0.90	0.0	1.30
12	1.00	0.0	0.0	0.0	0.0	0.0	0.0	0.0	0.0	0.0	0.0	0.90	0.0	1.00
13	1.30	0.0	0.0	0.0	0.0	0.0	0.0	0.0	0.0	0.0	0.0	1.50	0.0	1.30
14	1.00	0.0	0.0	0.0	0.0	0.0	0.0	0.0	0.0	0.0	0.0	1.50	0.0	1.00
15	1.30	0.0	0.0	0.0	0.0	0.0	0.0	0.0	0.0	0.0	0.0	0.0	0.90	1.30
16	1.00	0.0	0.0	0.0	0.0	0.0	0.0	0.0	0.0	0.0	0.0	0.0	0.90	1.00
17	1.30	0.0	0.0	0.0	0.0	0.0	0.0	0.0	0.0	0.0	0.0	0.0	1.50	1.30
18	1.00	0.0	0.0	0.0	0.0	0.0	0.0	0.0	0.0	0.0	0.0	0.0	1.50	1.00
19	1.00	-1.00	0.0	-0.30	0.0	0.0	0.0	0.0	0.0	0.0	0.0	0.0	0.0	1.00
20	1.00	-1.00	0.0	0.30	0.0	0.0	0.0	0.0	0.0	0.0	0.0	0.0	0.0	1.00
21	1.00	1.00	0.0	-0.30	0.0	0.0	0.0	0.0	0.0	0.0	0.0	0.0	0.0	1.00
22	1.00	1.00	0.0	0.30	0.0	0.0	0.0	0.0	0.0	0.0	0.0	0.0	0.0	1.00
23	1.00	-1.00	0.0	0.0	-0.30	0.0	0.0	0.0	0.0	0.0	0.0	0.0	0.0	1.00
24	1.00	-1.00	0.0	0.0	0.30	0.0	0.0	0.0	0.0	0.0	0.0	0.0	0.0	1.00
25	1.00	1.00	0.0	0.0	-0.30	0.0	0.0	0.0	0.0	0.0	0.0	0.0	0.0	1.00
26	1.00	1.00	0.0	0.0	0.30	0.0	0.0	0.0	0.0	0.0	0.0	0.0	0.0	1.00
27	1.00	0.0	-1.00	-0.30	0.0	0.0	0.0	0.0	0.0	0.0	0.0	0.0	0.0	1.00
28	1.00	0.0	-1.00	0.30	0.0	0.0	0.0	0.0	0.0	0.0	0.0	0.0	0.0	1.00
29	1.00	0.0	1.00	-0.30	0.0	0.0	0.0	0.0	0.0	0.0	0.0	0.0	0.0	1.00
30	1.00	0.0	1.00	0.30	0.0	0.0	0.0	0.0	0.0	0.0	0.0	0.0	0.0	1.00
31	1.00	0.0	-1.00	0.0	-0.30	0.0	0.0	0.0	0.0	0.0	0.0	0.0	0.0	1.00
32	1.00	0.0	-1.00	0.0	0.30	0.0	0.0	0.0	0.0	0.0	0.0	0.0	0.0	1.00
33	1.00	0.0	1.00	0.0	-0.30	0.0	0.0	0.0	0.0	0.0	0.0	0.0	0.0	1.00

AZIONE SISMICA

VALUTAZIONE DELL' AZIONE SISMICA

L'azione sismica sulle costruzioni è valutata a partire dalla "pericolosità sismica di base", in condizioni ideali di sito di riferimento rigido con superficie topografica orizzontale.

Allo stato attuale, la pericolosità sismica su reticolo di riferimento nell'intervallo di riferimento è fornita dai dati pubblicati sul sito <http://esse1.mi.ingv.it/>. Per punti non coincidenti con il reticolo di riferimento e periodi di ritorno non contemplati direttamente si opera come indicato nell' allegato alle NTC (rispettivamente media pesata e interpolazione).

L' azione sismica viene definita in relazione ad un periodo di riferimento V_r che si ricava, per ciascun tipo di costruzione, moltiplicandone la vita nominale per il coefficiente d'uso (vedi tabella Parametri della struttura). Fissato il periodo di riferimento V_r e la probabilità di superamento P_{ver} associata a ciascuno degli stati limite considerati, si ottiene il periodo di ritorno T_r e i relativi parametri di pericolosità sismica (vedi tabella successiva):

a_g : accelerazione orizzontale massima del terreno;

F_o : valore massimo del fattore di amplificazione dello spettro in accelerazione orizzontale;

T^*c : periodo di inizio del tratto a velocità costante dello spettro in accelerazione orizzontale;

Parametri della struttura					
Classe d'uso	Vita V_n [anni]	Coeff. Uso	Periodo V_r [anni]	Tipo di suolo	Categoria topografica
II	50.0	1.0	50.0	D	T1

Individuati su reticolo di riferimento i parametri di pericolosità sismica si valutano i parametri spettrali riportati in tabella:

S è il coefficiente che tiene conto della categoria di sottosuolo e delle condizioni topografiche mediante la relazione seguente $S = S_s \cdot S_t$ (3.2.3)

F_o è il fattore che quantifica l'amplificazione spettrale massima, su sito di riferimento rigido orizzontale

F_v è il fattore che quantifica l'amplificazione spettrale massima verticale, in termini di accelerazione orizzontale massima del terreno a_g su sito di riferimento rigido orizzontale

T_b è il periodo corrispondente all'inizio del tratto dello spettro ad accelerazione costante.

T_c è il periodo corrispondente all'inizio del tratto dello spettro a velocità costante.

T_d è il periodo corrispondente all'inizio del tratto dello spettro a spostamento costante.

Lo spettro di risposta elastico in accelerazione della componente orizzontale del moto sismico, S_e , è definito dalle seguenti espressioni:

$$\begin{aligned}
 0 \leq T < T_B & \quad S_e(T) = a_g \cdot S \cdot \eta \cdot F_o \cdot \left[\frac{T}{T_B} + \frac{1}{\eta \cdot F_o} \left(1 - \frac{T}{T_B} \right) \right] \\
 T_B \leq T < T_C & \quad S_e(T) = a_g \cdot S \cdot \eta \cdot F_o \\
 T_C \leq T < T_D & \quad S_e(T) = a_g \cdot S \cdot \eta \cdot F_o \cdot \left(\frac{T_C}{T} \right) \\
 T_D \leq T & \quad S_e(T) = a_g \cdot S \cdot \eta \cdot F_o \cdot \left(\frac{T_C \cdot T_D}{T^2} \right)
 \end{aligned}$$

Dove per sottosuolo di categoria **A** i coefficienti S_s e C_c valgono 1; mentre per le categorie di sottosuolo B, C, D, E i coefficienti S_s e C_c vengono calcolati mediante le espressioni riportate nella seguente Tabella

Categoria sottosuolo	S_s	C_c
A	1,00	1,00
B	$1,00 \leq 1,40 - 0,40 \cdot F_o \cdot \frac{a_g}{g} \leq 1,20$	$1,10 \cdot (T_c^*)^{-0,20}$
C	$1,00 \leq 1,70 - 0,60 \cdot F_o \cdot \frac{a_g}{g} \leq 1,50$	$1,05 \cdot (T_c^*)^{-0,33}$
D	$0,90 \leq 2,40 - 1,50 \cdot F_o \cdot \frac{a_g}{g} \leq 1,80$	$1,25 \cdot (T_c^*)^{-0,50}$
E	$1,00 \leq 2,00 - 1,10 \cdot F_o \cdot \frac{a_g}{g} \leq 1,60$	$1,15 \cdot (T_c^*)^{-0,40}$

Per tenere conto delle condizioni topografiche e in assenza di specifiche analisi di risposta sismica locale, si utilizzano i valori del coefficiente topografico S_T riportati nella seguente Tabella

Categoria topografica	Ubicazione dell'opera o dell'intervento	S_T
T1	-	1,0
T2	In corrispondenza della sommità del pendio	1,2
T3	In corrispondenza della cresta di un rilievo con pendenza media minore o uguale a 30°	1,2
T4	In corrispondenza della cresta di un rilievo con pendenza media maggiore di 30°	1,4

Lo spettro di risposta elastico in accelerazione della componente verticale del moto sismico, S_{ve} , è definito dalle espressioni:

$$\begin{aligned}
 0 \leq T < T_B & \quad S_{ve}(T) = a_g \cdot S \cdot \eta \cdot F_v \cdot \left[\frac{T}{T_B} + \frac{1}{\eta \cdot F_o} \left(1 - \frac{T}{T_B} \right) \right] \\
 T_B \leq T < T_C & \quad S_{ve}(T) = a_g \cdot S \cdot \eta \cdot F_v \\
 T_C \leq T < T_D & \quad S_{ve}(T) = a_g \cdot S \cdot \eta \cdot F_v \cdot \left(\frac{T_C}{T} \right) \\
 T_D \leq T & \quad S_{ve}(T) = a_g \cdot S \cdot \eta \cdot F_v \cdot \left(\frac{T_C \cdot T_D}{T^2} \right)
 \end{aligned}$$

I valori di S_s , T_B , T_C e T_D , sono riportati nella seguente Tabella

Categoria di sottosuolo	S_s	T_B	T_C	T_D
A, B, C, D, E	1,0	0,05 s	0,15 s	1,0 s

Id nodo	Longitudine	Latitudine	Distanza
			Km
Loc.	8.680	40.658	

SL	Pver	Tr	ag	Fo	T*c
		Anni	g		sec
SLO	81.0	30.0	0.019	2.610	0.273
SLD	63.0	50.0	0.024	2.670	0.296
SLV	10.0	475.0	0.050	2.880	0.340
SLC	5.0	975.0	0.060	2.980	0.372

SL	ag	S	Fo	Fv	Tb	Tc	Td
	g				sec	sec	sec
SLO	0.019	1.800	2.610	0.481	0.218	0.653	1.674
SLD	0.024	1.800	2.670	0.553	0.227	0.680	1.694
SLV	0.050	1.800	2.880	0.869	0.243	0.729	1.800
SLC	0.060	1.800	2.980	0.988	0.254	0.762	1.841

RISULTATI ANALISI SISMICHE

LEGENDA TABELLA ANALISI SISMICHE

Il programma consente l'analisi di diverse configurazioni sismiche.

Sono previsti, infatti, i seguenti casi di carico:

- 9. Esk** caso di carico sismico con analisi statica equivalente
- 10. Edk** caso di carico sismico con analisi dinamica

Ciascun caso di carico è caratterizzato da un angolo di ingresso e da una configurazione di masse determinante la forza sismica complessiva (si rimanda al capitolo relativo ai casi di carico per chiarimenti inerenti questo aspetto).

Nella colonna Note, in funzione della norma in uso sono riportati i parametri fondamentali che caratterizzano l'azione sismica: in particolare possono essere presenti i seguenti valori:

Angolo di ingresso	Angolo di ingresso dell'azione sismica orizzontale
Fattore di importanza	Fattore di importanza dell'edificio, in base alla categoria di appartenenza
Zona sismica	Zona sismica
Accelerazione ag	Accelerazione orizzontale massima sul suolo
Categoria suolo	Categoria di profilo stratigrafico del suolo di fondazione
Fattore q	Fattore di struttura/di comportamento. Dipendente dalla tipologia strutturale
Fattore di sito S	Fattore dipendente dalla stratigrafia e dal profilo topografico
Classe di duttilità CD	Classe di duttilità della struttura – "A" duttilità alta, "B" duttilità bassa
Fattore riduz. SLD	Fattore di riduzione dello spettro elastico per lo stato limite di danno
Periodo proprio T1	Periodo proprio di vibrazione della struttura
Coefficiente Lambda	Coefficiente dipendente dal periodo proprio T1 e dal numero di piani della struttura
Ordinata spettro Sd(T1)	Valore delle ordinate dello spettro di progetto per lo stato limite ultimo, componente orizzontale (verticale Svd)
Ordinata spettro Se(T1)	Valore delle ordinate dello spettro elastico ridotta del fattore SLD per lo stato limite di danno, componente orizzontale (verticale Sve)
Ordinata spettro S (Tb-Tc)	Valore dell' ordinata dello spettro in uso nel tratto costante
numero di modi considerati	Numero di modi di vibrare della struttura considerati nell'analisi dinamica

Per ciascun caso di carico sismico viene riportato l'insieme di dati sotto riportati (le masse sono espresse in unità di forza):

- a) **analisi sismica statica equivalente:**
 - quota, posizione del centro di applicazione e azione orizzontale risultante, posizione del baricentro delle rigidezze, rapporto r/L_s (per strutture a nucleo), indici di regolarità e/r secondo EC8 4.2.3.2
 - azione sismica complessiva
- b) **analisi sismica dinamica con spettro di risposta:**

- quota, posizione del centro di massa e massa risultante, posizione del baricentro delle rigidità, rapporto r/L_s (per strutture a nucleo), indici di regolarità e/r secondo EC8 4.2.3.2
- frequenza, periodo, accelerazione spettrale, massa eccitata nelle tre direzioni globali per tutti i modi
- massa complessiva ed aliquota di massa complessiva eccitata.

Per ciascuna combinazione sismica definita SLD o SLO viene riportato il livello di deformazione ϵ_T (dr) degli elementi strutturali verticali. Per semplicità di consultazione il livello è espresso anche in unità $1000 \cdot \epsilon_T/h$ da confrontare direttamente con i valori forniti nella norma (es. 5 per edifici con tamponamenti collegati rigidamente alla struttura, 10.0 per edifici con tamponamenti collegati elasticamente, 3 per edifici in muratura ordinaria, 4 per edifici in muratura armata).

Qualora si applichi il D.M. 96 (vedi NOTA sul capitolo "normativa di riferimento") l'analisi sismica dinamica può essere comprensiva di sollecitazione verticale contemporanea a quella orizzontale, nel qual caso è effettuata una sovrapposizione degli effetti in ragione della radice dei quadrati degli effetti stessi. Per ciascuna combinazione sismica - analisi effettuate con il D.M. 96 (vedi NOTA sul capitolo "normativa di riferimento") - viene riportato il livello di deformazione ϵ_T , ϵ_P e ϵ_D degli elementi strutturali verticali. Per semplicità di consultazione il livello è espresso in unità $1000 \cdot \epsilon_T/h$ da confrontare direttamente con il valore 2 o 4 per la verifica.

Per gli edifici sismicamente isolati si riportano di seguito le verifiche condotte sui dispositivi di isolamento. Le verifiche sono effettuate secondo la circolare n.7/2019 del C.S.LL.PP nelle combinazioni in SLC come previsto dal DM 17-01-2018. Per ogni combinazione è riportato il codice di verifica ed i valori utilizzati per la verifica: spostamento d_E , area ridotta e dimensione A_2 , azione verticale, deformazioni di taglio dell'elastomero e tensioni nell'acciaio.

Qualora si applichi l'Ordinanza 3274 e s.m.i. le verifiche sono eseguite in accordo con l'allegato 10.A. In particolare la tabella, per ogni combinazione di calcolo, riporta:

Nodo	Nodo di appoggio dell' isolatore
Cmb	Combinazione oggetto della verifica
Verif.	Codice di verifica ok – verifica positiva, NV – verifica negativa, ND – verifica non completata
dE	Spostamento relativo tra le due facce (amplificato del 20% per Ordinanza 3274 e smi) combinato con la regola del 30%
Ang fi	Angolo utilizzato per il calcolo dell' area ridotta A_r (per dispositivi circolari)
V	Azione verticale agente
Ar	Area ridotta efficace
Dim A2	Dimensione utile per il calcolo della deformazione per rotazione
Sig s	Tensione nell' inserto in acciaio
Gam c(a,s,t)	Deformazioni di taglio dell' elastomero
Vcr	Carico critico per instabilità

Affinché la verifica sia positiva deve essere:

- 1) $V > 0$
- 2) $\text{Sig } s < f_{yk}$
- 3) $\text{Gam } t < 5$
- 4) $\text{Gam } s < \text{Gam } * \text{ (caratteristica dell' elastomero)}$
- 5) $\text{Gam } s < 2$
- 6) $V < 0.5 V_{cr}$

Calcolo dei fattori di comportamento secondo il D.M. 17/01/2018

La costruzione, nuova, è caratterizzata da non regolarità sia in pianta sia in altezza ed è progettata considerando un comportamento non dissipativo (ND).

I valori dei fattori nelle direzioni x e y sono stati impostati manualmente dal progettista.

Fattori di comportamento utilizzati

	Dissipativi	Non dissipativi
q SLU x	2.000	1.333
q SLU y	2.000	1.333
q SLU z	1.500	1.500

CDC	Tipo	Sigla Id	Note
2	Edk	CDC=Ed (dinamico SLU) alfa=0.0 (ecc. +)	
			categoria suolo: D
			fattore di sito S = 1.800
			ordinata spettro (tratto Tb-Tc) = 0.194 g
			angolo di ingresso:0.0
			eccentricità aggiuntiva: positiva
			periodo proprio T1: 0.003 sec.
			fattore q: 1.333
			fattore per spost. mu d: 2.665
			classe di duttilità CD: ND
			numero di modi considerati: 4
			combinaz. modale: CQC

Quota	M Sismica x g	Pos. GX	Pos. GY	E agg. X-X	E agg. Y-Y	Pos. KX	Pos. KY	(r/Ls)^2	rapp. ex/rx	rapp. ey/ry
cm	daN	cm	cm	cm	cm	cm	cm			
100.00	1063.64	2500.00	0.0	0.0	0.0	2500.00	0.0	1.000	0.0	0.0
Risulta	1063.64									

Modo	Frequenza	Periodo	Acc. Spettrale	M efficace X x g	%	M efficace Y x g	%	M efficace Z x g	%	Energia	Energia x v
	Hz	sec	g	daN		daN		daN			
1	10.694	0.094	0.130	0.0	0.0	51.78	4.9	0.0	0.0	0.0	0.0
2	10.694	0.094	0.130	0.0	0.0	0.0	0.0	51.78	4.9	0.0	0.0
3	390.861	0.003	0.091	51.78	4.9	0.0	0.0	0.0	0.0	0.0	0.0
4	390.861	0.003	0.091	51.78	4.9	0.0	0.0	0.0	0.0	0.0	0.0
Risulta				51.78		51.78		51.78			
In percentuale				4.87		4.87		4.87			

CDC	Tipo	Sigla Id	Note
3	Edk	CDC=Ed (dinamico SLU) alfa=0.0 (ecc. -)	
			categoria suolo: D
			fattore di sito S = 1.800
			ordinata spettro (tratto Tb-Tc) = 0.194 g
			angolo di ingresso:0.0
			eccentricità aggiuntiva: negativa
			periodo proprio T1: 0.003 sec.
			fattore q: 1.333
			fattore per spost. mu d: 2.665
			classe di duttilità CD: ND
			numero di modi considerati: 4
			combinaz. modale: CQC

Quota	M Sismica x g	Pos. GX	Pos. GY	E agg. X-X	E agg. Y-Y	Pos. KX	Pos. KY	(r/Ls)^2	rapp. ex/rx	rapp. ey/ry
cm	daN	cm	cm	cm	cm	cm	cm			
100.00	1063.64	2500.00	0.0	0.0	0.0	2500.00	0.0	1.000	0.0	0.0
Risulta	1063.64									

Modo	Frequenza	Periodo	Acc. Spettrale	M efficace X x g	%	M efficace Y x g	%	M efficace Z x g	%	Energia	Energia x v
	Hz	sec	g	daN		daN		daN			

Modo	Frequenza	Periodo	Acc. Spettrale	M efficace X x g	%	M efficace Y x g	%	M efficace Z x g	%	Energia	Energia x v
1	10.694	0.094	0.130	0.0	0.0	51.78	4.9	0.0	0.0	0.0	0.0
2	10.694	0.094	0.130	0.0	0.0	0.0	0.0	51.78	4.9	0.0	0.0
3	390.861	0.003	0.091	51.78	4.9	0.0	0.0	0.0	0.0	0.0	0.0
4	390.861	0.003	0.091	51.78	4.9	0.0	0.0	0.0	0.0	0.0	0.0
Risulta				51.78		51.78		51.78			
In percentuale				4.87		4.87		4.87			

CDC	Tipo	Sigla Id	Note
4	Edk	CDC=Ed (dinamico SLU) alfa=90.00 (ecc. +)	
			categoria suolo: D
			fattore di sito S = 1.800
			ordinata spettro (tratto Tb-Tc) = 0.194 g
			angolo di ingresso:90.00
			eccentricità aggiuntiva: positiva
			periodo proprio T1: 0.094 sec.
			fattore q: 1.333
			fattore per spost. mu d: 2.665
			classe di duttilità CD: ND
			numero di modi considerati: 4
			combinaz. modale: CQC

Quota	M Sismica x g	Pos. GX	Pos. GY	E agg. X-X	E agg. Y-Y	Pos. KX	Pos. KY	(r/Ls)^2	rapp. ex/rx	rapp. ey/ry
cm	daN	cm	cm	cm	cm	cm	cm			
100.00	1063.64	2500.00	0.0	250.00	0.0	2500.00	0.0	1.000	0.0	0.0
Risulta	1063.64									

Modo	Frequenza	Periodo	Acc. Spettrale	M efficace X x g	%	M efficace Y x g	%	M efficace Z x g	%	Energia	Energia x v
	Hz	sec	g	daN		daN		daN			
1	9.404	0.106	0.136	0.0	0.0	33.48	3.1	0.0	0.0	0.0	0.0
2	10.694	0.094	0.130	0.0	0.0	0.0	0.0	51.78	4.9	0.0	0.0
3	12.718	0.079	0.124	0.0	0.0	18.30	1.7	0.0	0.0	0.0	0.0
4	390.861	0.003	0.091	51.78	4.9	0.0	0.0	0.0	0.0	0.0	0.0
Risulta				51.78		51.78		51.78			
In percentuale				4.87		4.87		4.87			

CDC	Tipo	Sigla Id	Note
5	Edk	CDC=Ed (dinamico SLU) alfa=90.00 (ecc. -)	
			categoria suolo: D
			fattore di sito S = 1.800
			ordinata spettro (tratto Tb-Tc) = 0.194 g
			angolo di ingresso:90.00
			eccentricità aggiuntiva: negativa
			periodo proprio T1: 0.094 sec.
			fattore q: 1.333
			fattore per spost. mu d: 2.665
			classe di duttilità CD: ND
			numero di modi considerati: 4
			combinaz. modale: CQC

Quota	M Sismica x g	Pos. GX	Pos. GY	E agg. X-X	E agg. Y-Y	Pos. KX	Pos. KY	(r/Ls)^2	rapp. ex/rx	rapp. ey/ry
cm	daN	cm	cm	cm	cm	cm	cm			
100.00	1063.64	2500.00	0.0	-250.00	0.0	2500.00	0.0	1.000	0.0	0.0
Risulta	1063.64									

Modo	Frequenza	Periodo	Acc. Spettrale	M efficace X x g	%	M efficace Y x g	%	M efficace Z x g	%	Energia	Energia x v
	Hz	sec	g	daN		daN		daN			

Modo	Frequenza	Periodo	Acc. Spettrale	M efficace X x g	%	M efficace Y x g	%	M efficace Z x g	%	Energia	Energia x v
1	9.404	0.106	0.136	0.0	0.0	33.48	3.1	0.0	0.0	0.0	0.0
2	10.694	0.094	0.130	0.0	0.0	0.0	0.0	51.78	4.9	0.0	0.0
3	12.718	0.079	0.124	0.0	0.0	18.30	1.7	0.0	0.0	0.0	0.0
4	390.861	0.003	0.091	51.78	4.9	0.0	0.0	0.0	0.0	0.0	0.0
Risulta				51.78		51.78		51.78			
In percentuale				4.87		4.87		4.87			

CDC	Tipo	Sigla Id	Note
6	Edk	CDC=Ed (dinamico SLD) alfa=0.0 (ecc. +)	
			categoria suolo: D
			fattore di sito S = 1.800
			ordinata spettro (tratto Tb-Tc) = 0.113 g
			angolo di ingresso:0.0
			eccentricità aggiuntiva: positiva
			periodo proprio T1: 0.003 sec.
			numero di modi considerati: 4
			combinaz. modale: CQC

Quota	M Sismica x g	Pos. GX	Pos. GY	E agg. X-X	E agg. Y-Y	Pos. KX	Pos. KY	(r/Ls)^2	rapp. ex/rx	rapp. ey/ry
cm	daN	cm	cm	cm	cm	cm	cm			
100.00	1063.64	2500.00	0.0	0.0	0.0	2500.00	0.0	1.000	0.0	0.0
Risulta	1063.64									

Modo	Frequenza	Periodo	Acc. Spettrale	M efficace X x g	%	M efficace Y x g	%	M efficace Z x g	%	Energia	Energia x v
	Hz	sec	g	daN		daN		daN			
1	10.694	0.094	0.071	0.0	0.0	51.78	4.9	0.0	0.0	0.0	0.0
2	10.694	0.094	0.071	0.0	0.0	0.0	0.0	51.78	4.9	0.0	0.0
3	390.861	0.003	0.043	51.78	4.9	0.0	0.0	0.0	0.0	0.0	0.0
4	390.861	0.003	0.043	51.78	4.9	0.0	0.0	0.0	0.0	0.0	0.0
Risulta				51.78		51.78		51.78			
In percentuale				4.87		4.87		4.87			

CDC	Tipo	Sigla Id	Note
7	Edk	CDC=Ed (dinamico SLD) alfa=0.0 (ecc. -)	
			categoria suolo: D
			fattore di sito S = 1.800
			ordinata spettro (tratto Tb-Tc) = 0.113 g
			angolo di ingresso:0.0
			eccentricità aggiuntiva: negativa
			periodo proprio T1: 0.003 sec.
			numero di modi considerati: 4
			combinaz. modale: CQC

Quota	M Sismica x g	Pos. GX	Pos. GY	E agg. X-X	E agg. Y-Y	Pos. KX	Pos. KY	(r/Ls)^2	rapp. ex/rx	rapp. ey/ry
cm	daN	cm	cm	cm	cm	cm	cm			
100.00	1063.64	2500.00	0.0	0.0	0.0	2500.00	0.0	1.000	0.0	0.0
Risulta	1063.64									

Modo	Frequenza	Periodo	Acc. Spettrale	M efficace X x g	%	M efficace Y x g	%	M efficace Z x g	%	Energia	Energia x v
	Hz	sec	g	daN		daN		daN			
1	10.694	0.094	0.071	0.0	0.0	51.78	4.9	0.0	0.0	0.0	0.0
2	10.694	0.094	0.071	0.0	0.0	0.0	0.0	51.78	4.9	0.0	0.0
3	390.861	0.003	0.043	51.78	4.9	0.0	0.0	0.0	0.0	0.0	0.0
4	390.861	0.003	0.043	51.78	4.9	0.0	0.0	0.0	0.0	0.0	0.0
Risulta				51.78		51.78		51.78			
In percentuale				4.87		4.87		4.87			

CDC	Tipo	Sigla Id	Note
8	Edk	CDC=Ed (dinamico SLD) alfa=90.00 (ecc. +)	
			categoria suolo: D
			fattore di sito S = 1.800
			ordinata spettro (tratto Tb-Tc) = 0.113 g
			angolo di ingresso:90.00
			eccentricità aggiuntiva: positiva
			periodo proprio T1: 0.094 sec.
			numero di modi considerati: 4
			combinaz. modale: CQC

Quota	M Sismica x g	Pos. GX	Pos. GY	E agg. X-X	E agg. Y-Y	Pos. KX	Pos. KY	(r/Ls)^2	rapp. ex/rx	rapp. ey/ry
cm	daN	cm	cm	cm	cm	cm	cm			
100.00	1063.64	2500.00	0.0	250.00	0.0	2500.00	0.0	1.000	0.0	0.0
Risulta	1063.64									

Modo	Frequenza	Periodo	Acc. Spettrale	M efficace X x g	%	M efficace Y x g	%	M efficace Z x g	%	Energia	Energia x v
	Hz	sec	g	daN		daN		daN			
1	9.404	0.106	0.075	0.0	0.0	33.48	3.1	0.0	0.0	0.0	0.0
2	10.694	0.094	0.071	0.0	0.0	0.0	0.0	51.78	4.9	0.0	0.0
3	12.718	0.079	0.067	0.0	0.0	18.30	1.7	0.0	0.0	0.0	0.0
4	390.861	0.003	0.043	51.78	4.9	0.0	0.0	0.0	0.0	0.0	0.0
Risulta				51.78		51.78		51.78			
In percentuale				4.87		4.87		4.87			

CDC	Tipo	Sigla Id	Note
9	Edk	CDC=Ed (dinamico SLD) alfa=90.00 (ecc. -)	
			categoria suolo: D
			fattore di sito S = 1.800
			ordinata spettro (tratto Tb-Tc) = 0.113 g
			angolo di ingresso:90.00
			eccentricità aggiuntiva: negativa
			periodo proprio T1: 0.094 sec.
			numero di modi considerati: 4
			combinaz. modale: CQC

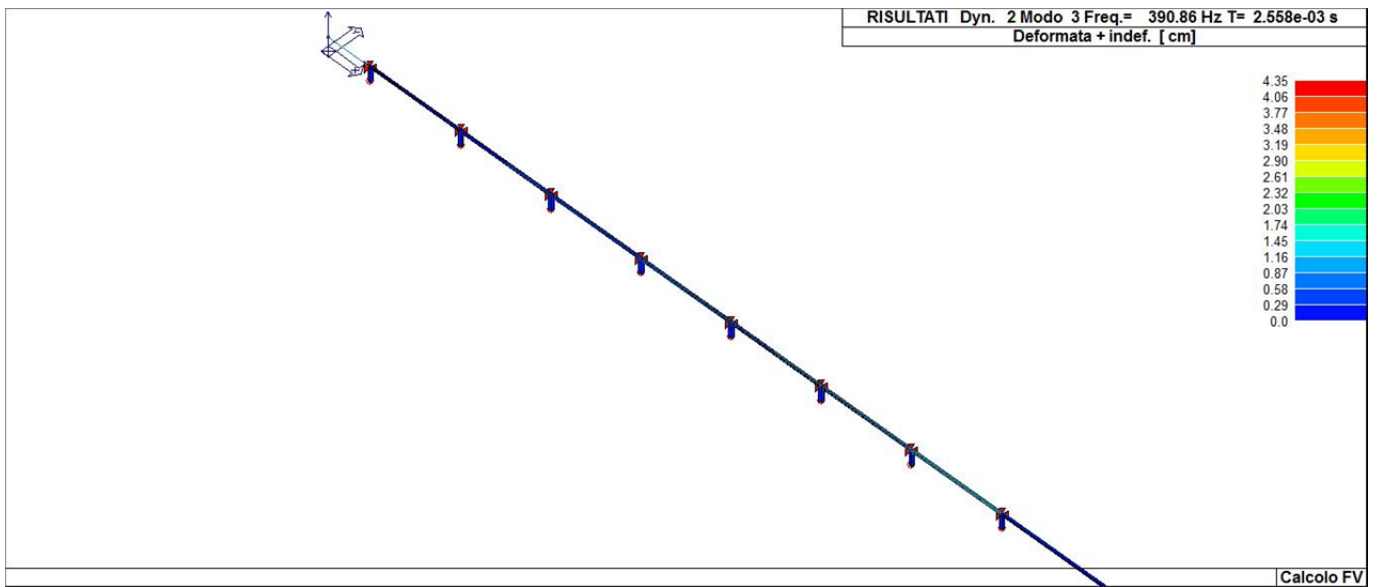
Quota	M Sismica x g	Pos. GX	Pos. GY	E agg. X-X	E agg. Y-Y	Pos. KX	Pos. KY	(r/Ls)^2	rapp. ex/rx	rapp. ey/ry
cm	daN	cm	cm	cm	cm	cm	cm			
100.00	1063.64	2500.00	0.0	-250.00	0.0	2500.00	0.0	1.000	0.0	0.0
Risulta	1063.64									

Modo	Frequenza	Periodo	Acc. Spettrale	M efficace X x g	%	M efficace Y x g	%	M efficace Z x g	%	Energia	Energia x v
	Hz	sec	g	daN		daN		daN			
1	9.404	0.106	0.075	0.0	0.0	33.48	3.1	0.0	0.0	0.0	0.0
2	10.694	0.094	0.071	0.0	0.0	0.0	0.0	51.78	4.9	0.0	0.0
3	12.718	0.079	0.067	0.0	0.0	18.30	1.7	0.0	0.0	0.0	0.0
4	390.861	0.003	0.043	51.78	4.9	0.0	0.0	0.0	0.0	0.0	0.0
Risulta				51.78		51.78		51.78			
In percentuale				4.87		4.87		4.87			

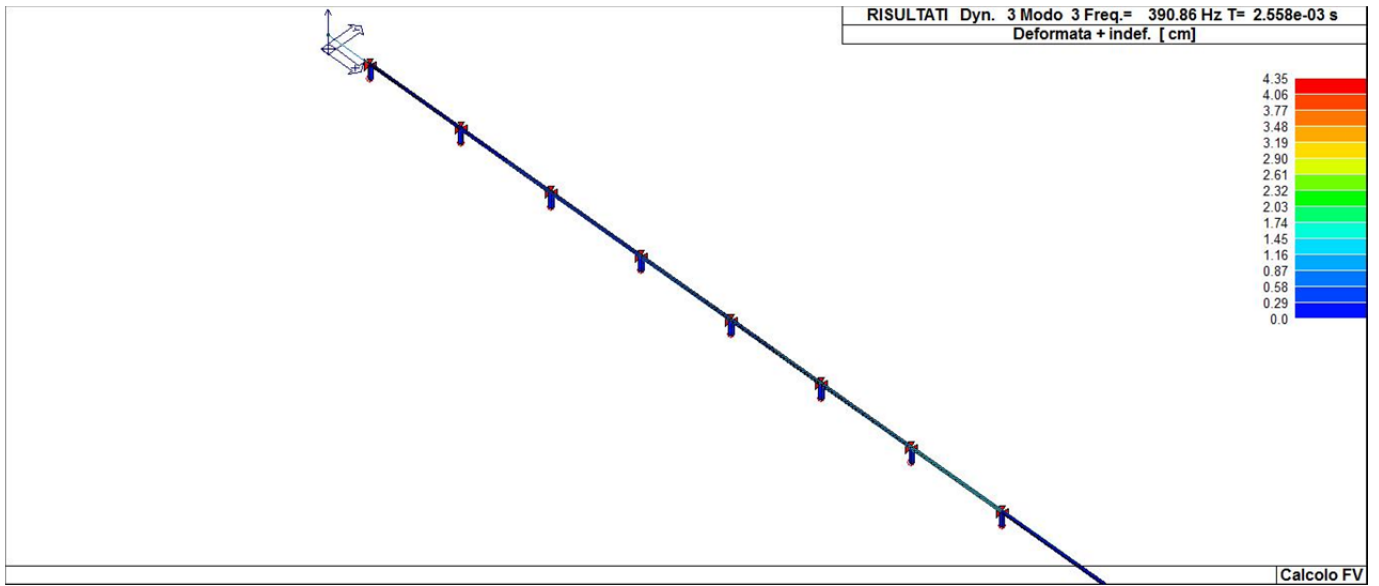
Cmb	Pilas. 1000 etaT/h	etaT	inter. h	Pilas. 1000 etaT/h	etaT	inter. h	Pilas. 1000 etaT/h	etaT	inter. h			
		cm	cm		cm	cm		cm	cm			
51	1	0.0	0.0	100.0	2	0.0	0.0	100.0	3	0.0	0.0	100.0
	4	0.0	0.0	100.0	5	0.0	0.0	100.0	6	0.0	0.0	100.0
	7	0.0	0.0	100.0	8	0.0	0.0	100.0				

	4	0.0	0.0	100.0	5	0.0	0.0	100.0	6	0.0	0.0	100.0
	7	0.0	0.0	100.0	8	0.0	0.0	100.0				
78	1	0.0	0.0	100.0	2	0.0	0.0	100.0	3	0.0	0.0	100.0
	4	0.0	0.0	100.0	5	0.0	0.0	100.0	6	0.0	0.0	100.0
	7	0.0	0.0	100.0	8	0.0	0.0	100.0				
79	1	0.0	0.0	100.0	2	0.0	0.0	100.0	3	0.0	0.0	100.0
	4	0.0	0.0	100.0	5	0.0	0.0	100.0	6	0.0	0.0	100.0
	7	0.0	0.0	100.0	8	0.0	0.0	100.0				
80	1	0.0	0.0	100.0	2	0.0	0.0	100.0	3	0.0	0.0	100.0
	4	0.0	0.0	100.0	5	0.0	0.0	100.0	6	0.0	0.0	100.0
	7	0.0	0.0	100.0	8	0.0	0.0	100.0				
81	1	0.0	0.0	100.0	2	0.0	0.0	100.0	3	0.0	0.0	100.0
	4	0.0	0.0	100.0	5	0.0	0.0	100.0	6	0.0	0.0	100.0
	7	0.0	0.0	100.0	8	0.0	0.0	100.0				
82	1	0.0	0.0	100.0	2	0.0	0.0	100.0	3	0.0	0.0	100.0
	4	0.0	0.0	100.0	5	0.0	0.0	100.0	6	0.0	0.0	100.0
	7	0.0	0.0	100.0	8	0.0	0.0	100.0				

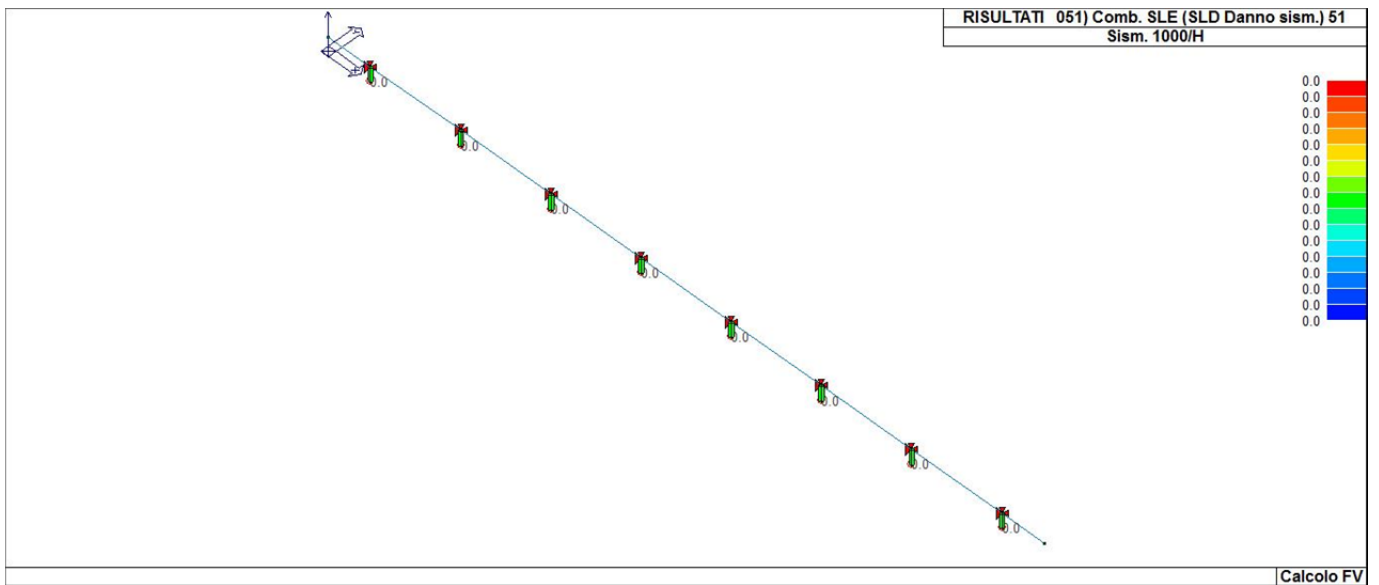
Cmb 1000 etaT/h
 0.0



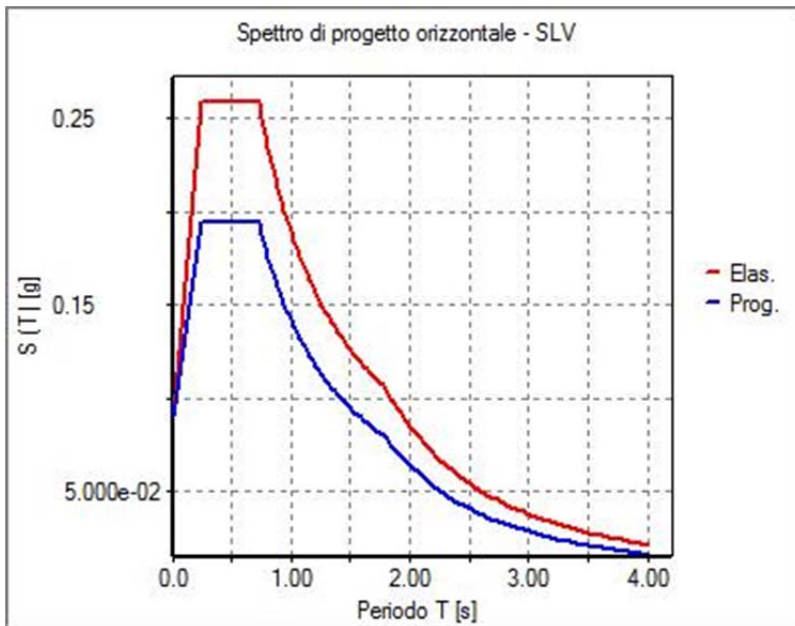
31_RIS_MODALX_003_CDC=Ed (dinamico SLU) alfa=0.0 (ecc. +)



31_RIS_MODALY_001_CDC=Ed (dinamico SLU) alfa=90.00 (ecc. +)



31_RIS_SLE_051_Comb. SLE (SLD Danno sism.) 51



31_RIS_SPETTRI_PROGETTO_SLV_O

RISULTATI NODALI

LEGENDA RISULTATI NODALI

Il controllo dei risultati delle analisi condotte, per quanto concerne i nodi strutturali, è possibile in relazione alle tabelle sottoriportate.

Una prima tabella riporta infatti per ogni nodo e per ogni combinazione (o caso di carico) gli spostamenti nodali.

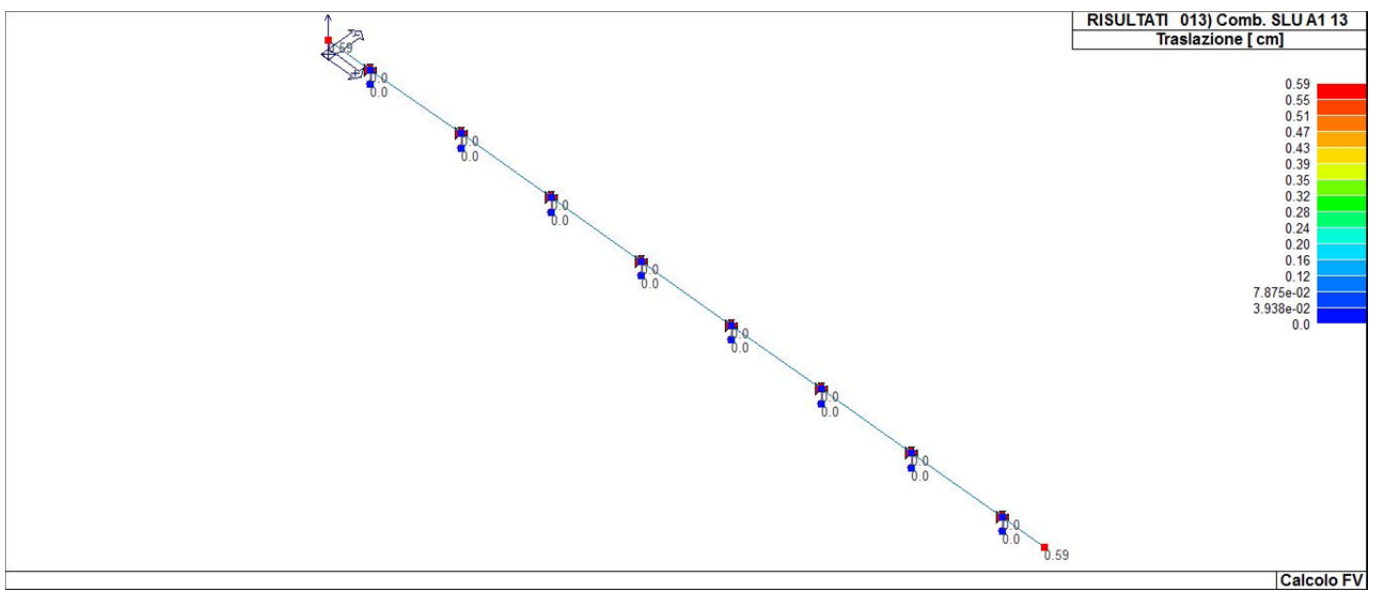
Una seconda tabella riporta per ogni nodo a cui sia associato un vincolo rigido e/o elastico o una fondazione speciale e per ogni combinazione (o caso di carico) i valori delle azioni esercitate dalla struttura sui vincoli (reazioni vincolari cambiate di segno).

Una terza tabella, infine riassume per ogni nodo le sei combinazioni in cui si attingono i valori minimi e massimi della reazione Fz, della reazione Mx e della reazione My.

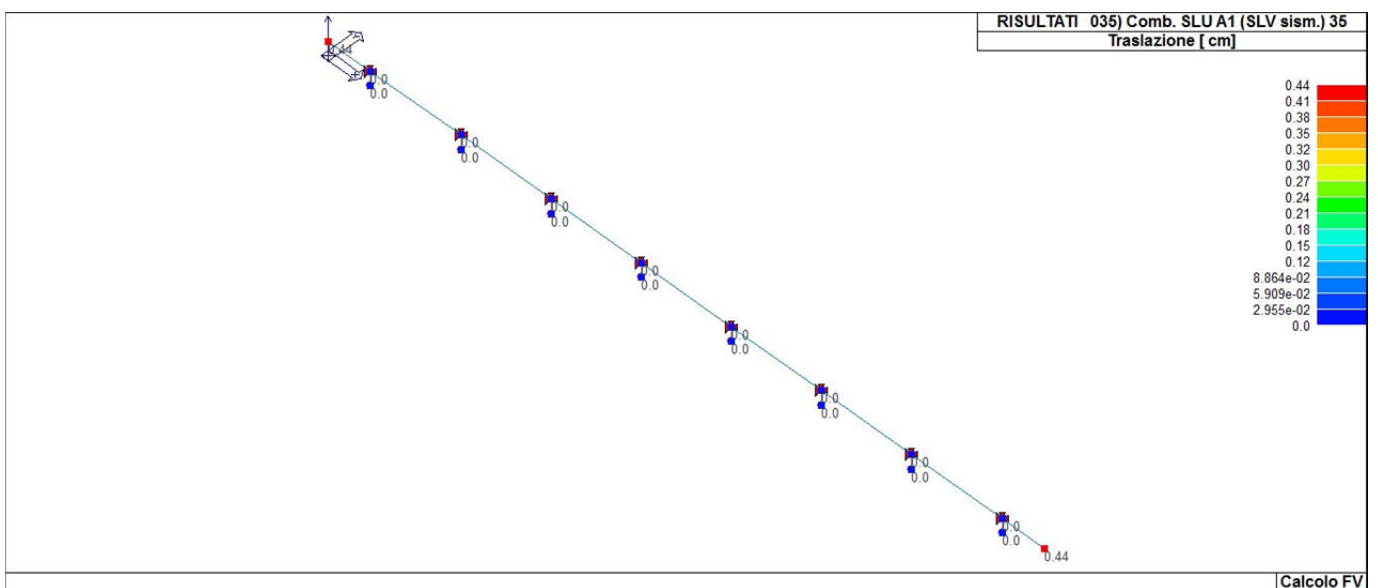
Nodo	Cmb	Traslazione X cm	Traslazione Y cm	Traslazione Z cm	Rotazione X	Rotazione Y	Rotazione Z
1	1	0.0	0.0	0.0	0.0	0.0	0.0
1	19	0.0	0.0	0.0	0.0	0.0	0.0
1	51	0.0	0.0	0.0	0.0	0.0	0.0
1	83	0.0	0.0	0.0	0.0	0.0	0.0
1	84	0.0	0.0	0.0	0.0	0.0	0.0
1	93	0.0	0.0	0.0	0.0	0.0	0.0
1	98	0.0	0.0	0.0	0.0	0.0	0.0
2	1	0.0	0.0	0.0	0.0	0.0	0.0
2	19	0.0	0.0	0.0	0.0	0.0	0.0
2	51	0.0	0.0	0.0	0.0	0.0	0.0
2	83	0.0	0.0	0.0	0.0	0.0	0.0
2	84	0.0	0.0	0.0	0.0	0.0	0.0
2	93	0.0	0.0	0.0	0.0	0.0	0.0
2	98	0.0	0.0	0.0	0.0	0.0	0.0
3	1	0.0	0.0	0.0	0.0	0.0	0.0
3	19	0.0	0.0	0.0	0.0	0.0	0.0
3	51	0.0	0.0	0.0	0.0	0.0	0.0
3	83	0.0	0.0	0.0	0.0	0.0	0.0
3	84	0.0	0.0	0.0	0.0	0.0	0.0
3	93	0.0	0.0	0.0	0.0	0.0	0.0
3	98	0.0	0.0	0.0	0.0	0.0	0.0
4	1	0.0	0.0	0.0	0.0	0.0	0.0
4	19	0.0	0.0	0.0	0.0	0.0	0.0
4	51	0.0	0.0	0.0	0.0	0.0	0.0
4	83	0.0	0.0	0.0	0.0	0.0	0.0
4	84	0.0	0.0	0.0	0.0	0.0	0.0
4	93	0.0	0.0	0.0	0.0	0.0	0.0
4	98	0.0	0.0	0.0	0.0	0.0	0.0
5	1	0.0	0.0	0.0	0.0	0.0	0.0
5	19	0.0	0.0	0.0	0.0	0.0	0.0
5	51	0.0	0.0	0.0	0.0	0.0	0.0
5	83	0.0	0.0	0.0	0.0	0.0	0.0
5	84	0.0	0.0	0.0	0.0	0.0	0.0
5	93	0.0	0.0	0.0	0.0	0.0	0.0
5	98	0.0	0.0	0.0	0.0	0.0	0.0
6	1	0.0	0.0	0.0	0.0	0.0	0.0
6	19	0.0	0.0	0.0	0.0	0.0	0.0
6	51	0.0	0.0	0.0	0.0	0.0	0.0
6	83	0.0	0.0	0.0	0.0	0.0	0.0
6	84	0.0	0.0	0.0	0.0	0.0	0.0
6	93	0.0	0.0	0.0	0.0	0.0	0.0
6	98	0.0	0.0	0.0	0.0	0.0	0.0
7	1	0.0	0.0	0.0	0.0	0.0	0.0
7	19	0.0	0.0	0.0	0.0	0.0	0.0
7	51	0.0	0.0	0.0	0.0	0.0	0.0
7	83	0.0	0.0	0.0	0.0	0.0	0.0

7	84	0.0	0.0	0.0	0.0	0.0	0.0
7	93	0.0	0.0	0.0	0.0	0.0	0.0
7	98	0.0	0.0	0.0	0.0	0.0	0.0
8	1	0.0	0.0	0.0	0.0	0.0	0.0
8	19	0.0	0.0	0.0	0.0	0.0	0.0
8	51	0.0	0.0	0.0	0.0	0.0	0.0
8	83	0.0	0.0	0.0	0.0	0.0	0.0
8	84	0.0	0.0	0.0	0.0	0.0	0.0
8	93	0.0	0.0	0.0	0.0	0.0	0.0
8	98	0.0	0.0	0.0	0.0	0.0	0.0
9	1	0.0	0.0	0.0	0.0	0.0	0.0
9	19	0.0	0.0	0.0	0.0	0.0	0.0
9	51	0.0	0.0	0.0	0.0	0.0	0.0
9	83	0.0	0.0	0.0	0.0	0.0	0.0
9	84	0.0	0.0	0.0	0.0	0.0	0.0
9	93	0.0	0.0	0.0	0.0	0.0	0.0
9	98	0.0	0.0	0.0	0.0	0.0	0.0
10	1	0.0	0.0	0.0	0.0	0.0	0.0
10	19	0.0	0.0	0.0	0.0	0.0	0.0
10	51	0.0	0.0	0.0	0.0	0.0	0.0
10	83	0.0	0.0	0.0	0.0	0.0	0.0
10	84	0.0	0.0	0.0	0.0	0.0	0.0
10	93	0.0	0.0	0.0	0.0	0.0	0.0
10	98	0.0	0.0	0.0	0.0	0.0	0.0
11	1	0.0	0.0	0.0	0.0	0.0	0.0
11	19	0.0	0.0	0.0	0.0	0.0	0.0
11	51	0.0	0.0	0.0	0.0	0.0	0.0
11	83	0.0	0.0	0.0	0.0	0.0	0.0
11	84	0.0	0.0	0.0	0.0	0.0	0.0
11	93	0.0	0.0	0.0	0.0	0.0	0.0
11	98	0.0	0.0	0.0	0.0	0.0	0.0
12	1	0.0	0.0	0.0	0.0	0.0	0.0
12	19	0.0	0.0	0.0	0.0	0.0	0.0
12	51	0.0	0.0	0.0	0.0	0.0	0.0
12	83	0.0	0.0	0.0	0.0	0.0	0.0
12	84	0.0	0.0	0.0	0.0	0.0	0.0
12	93	0.0	0.0	0.0	0.0	0.0	0.0
12	98	0.0	0.0	0.0	0.0	0.0	0.0
13	1	0.0	0.0	0.0	0.0	0.0	0.0
13	19	0.0	0.0	0.0	0.0	0.0	0.0
13	51	0.0	0.0	0.0	0.0	0.0	0.0
13	83	0.0	0.0	0.0	0.0	0.0	0.0
13	84	0.0	0.0	0.0	0.0	0.0	0.0
13	93	0.0	0.0	0.0	0.0	0.0	0.0
13	98	0.0	0.0	0.0	0.0	0.0	0.0
14	1	0.0	0.0	0.0	0.0	0.0	0.0
14	19	0.0	0.0	0.0	0.0	0.0	0.0
14	51	0.0	0.0	0.0	0.0	0.0	0.0
14	83	0.0	0.0	0.0	0.0	0.0	0.0
14	84	0.0	0.0	0.0	0.0	0.0	0.0
14	93	0.0	0.0	0.0	0.0	0.0	0.0
14	98	0.0	0.0	0.0	0.0	0.0	0.0
15	1	0.0	0.0	0.0	0.0	0.0	0.0
15	19	0.0	0.0	0.0	0.0	0.0	0.0
15	51	0.0	0.0	0.0	0.0	0.0	0.0
15	83	0.0	0.0	0.0	0.0	0.0	0.0
15	84	0.0	0.0	0.0	0.0	0.0	0.0
15	93	0.0	0.0	0.0	0.0	0.0	0.0
15	98	0.0	0.0	0.0	0.0	0.0	0.0
16	1	0.0	0.0	0.0	0.0	0.0	0.0
16	19	0.0	0.0	0.0	0.0	0.0	0.0
16	51	0.0	0.0	0.0	0.0	0.0	0.0
16	83	0.0	0.0	0.0	0.0	0.0	0.0
16	84	0.0	0.0	0.0	0.0	0.0	0.0
16	93	0.0	0.0	0.0	0.0	0.0	0.0
16	98	0.0	0.0	0.0	0.0	0.0	0.0
17	1	0.0	0.0	-0.57	0.0	-2.59e-03	0.0
17	13	0.0	0.14	-0.57	0.0	-2.59e-03	-6.30e-04
17	19	1.48e-05	5.71e-03	-0.44	0.0	-2.00e-03	-2.90e-05
17	43	4.45e-06	0.04	-0.44	0.0	-2.00e-03	-1.94e-04
17	51	7.01e-06	3.08e-03	-0.44	0.0	-2.00e-03	-1.56e-05
17	75	2.10e-06	0.02	-0.44	0.0	-2.00e-03	-1.08e-04
17	83	0.0	0.0	-0.44	0.0	-2.00e-03	0.0
17	84	0.0	0.0	-0.44	0.0	-2.00e-03	0.0
17	90	0.0	0.09	-0.44	0.0	-2.00e-03	-4.20e-04
17	93	0.0	0.0	-0.44	0.0	-2.00e-03	0.0

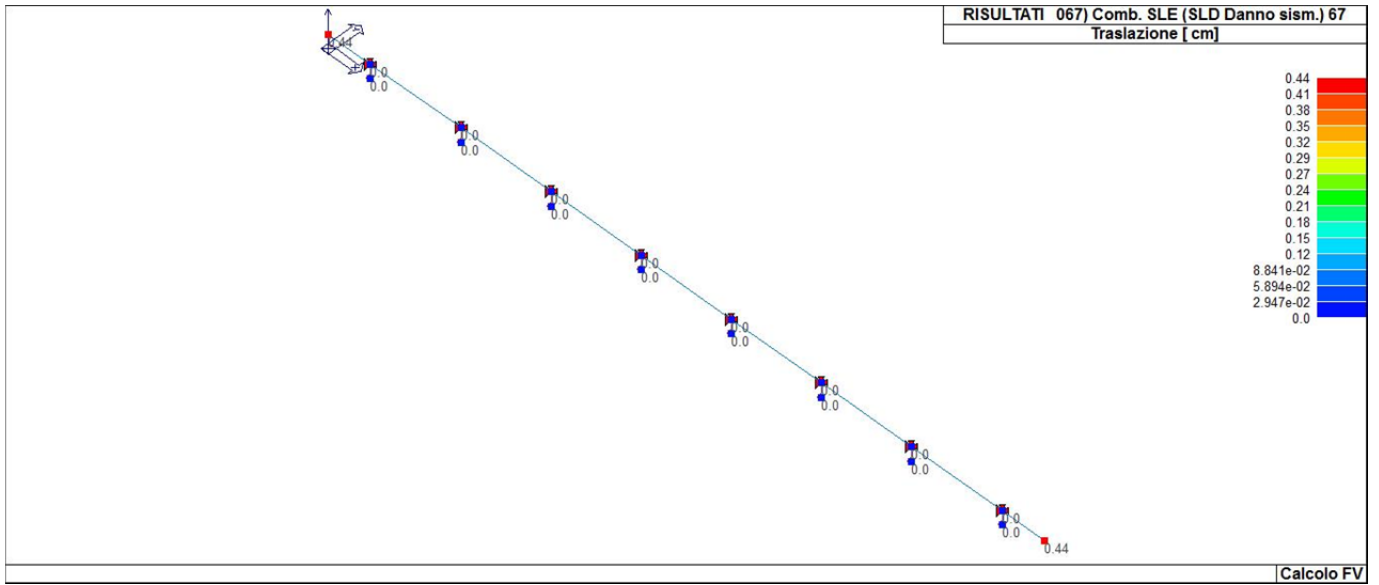
17	96	0.0	0.02	-0.44	0.0	-2.00e-03	-8.39e-05
17	98	0.0	0.0	-0.44	0.0	-2.00e-03	0.0
18	1	0.0	0.0	-0.57	0.0	2.59e-03	0.0
18	13	0.0	0.14	-0.57	0.0	2.59e-03	6.30e-04
18	19	1.48e-05	0.01	-0.44	0.0	2.00e-03	5.82e-05
18	35	4.45e-06	0.04	-0.44	0.0	2.00e-03	1.94e-04
18	51	7.01e-06	6.36e-03	-0.44	0.0	2.00e-03	3.23e-05
18	67	2.10e-06	0.02	-0.44	0.0	2.00e-03	1.08e-04
18	83	0.0	0.0	-0.44	0.0	2.00e-03	0.0
18	84	0.0	0.0	-0.44	0.0	2.00e-03	0.0
18	90	0.0	0.09	-0.44	0.0	2.00e-03	4.20e-04
18	93	0.0	0.0	-0.44	0.0	2.00e-03	0.0
18	96	0.0	0.02	-0.44	0.0	2.00e-03	8.39e-05
18	98	0.0	0.0	-0.44	0.0	2.00e-03	0.0
Nodo		Traslazione X	Traslazione Y	Traslazione Z	Rotazione X	Rotazione Y	Rotazione Z
		0.0	0.0	-0.57	0.0	-2.59e-03	-6.30e-04
		1.48e-05	0.14	0.0	0.0	2.59e-03	6.30e-04



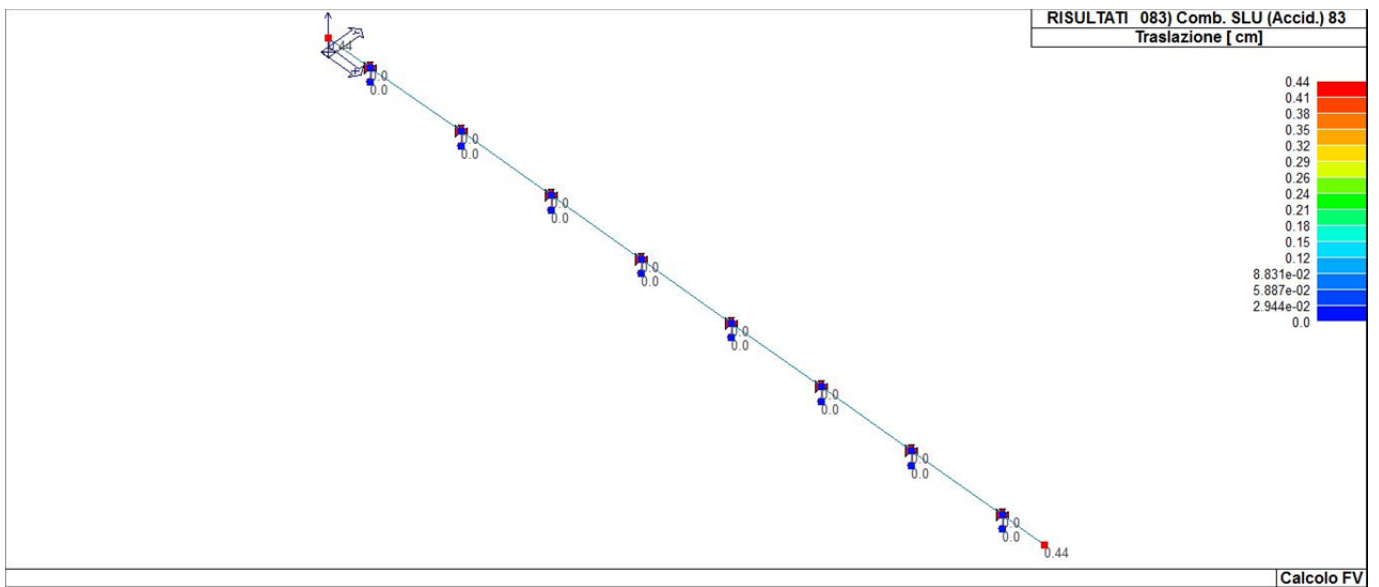
41_RIS_SPOSTAMENTI_013_Comb. SLU A1 13



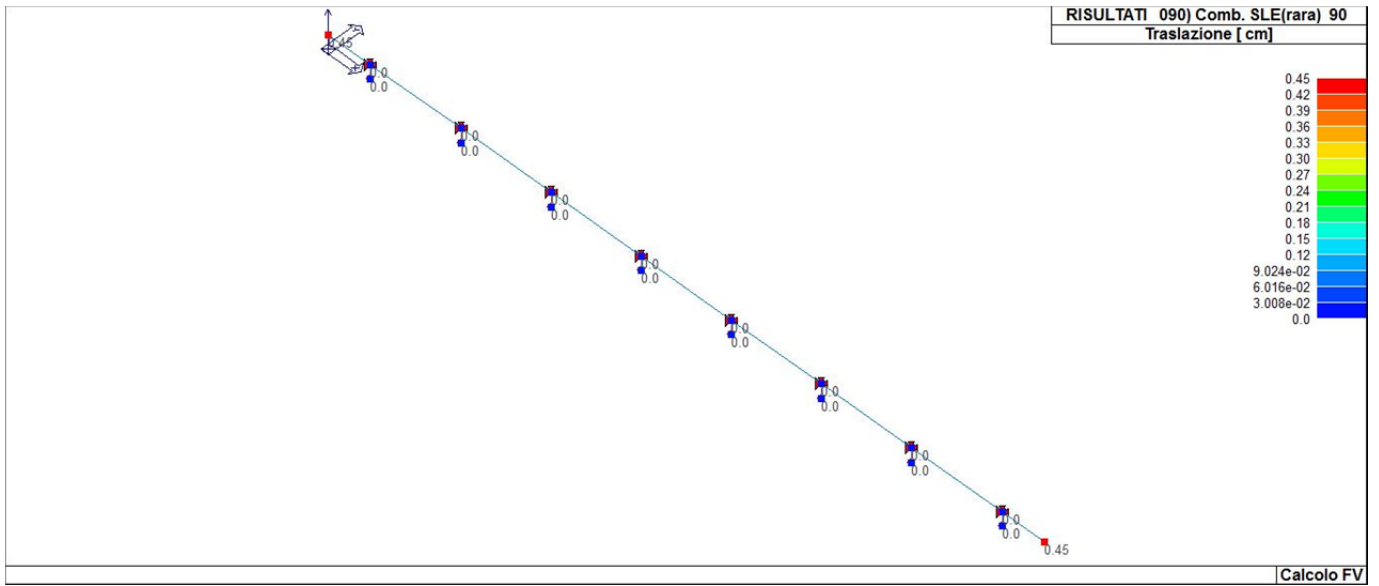
41_RIS_SPOSTAMENTI_035_Comb. SLU A1 (SLV sism.) 35



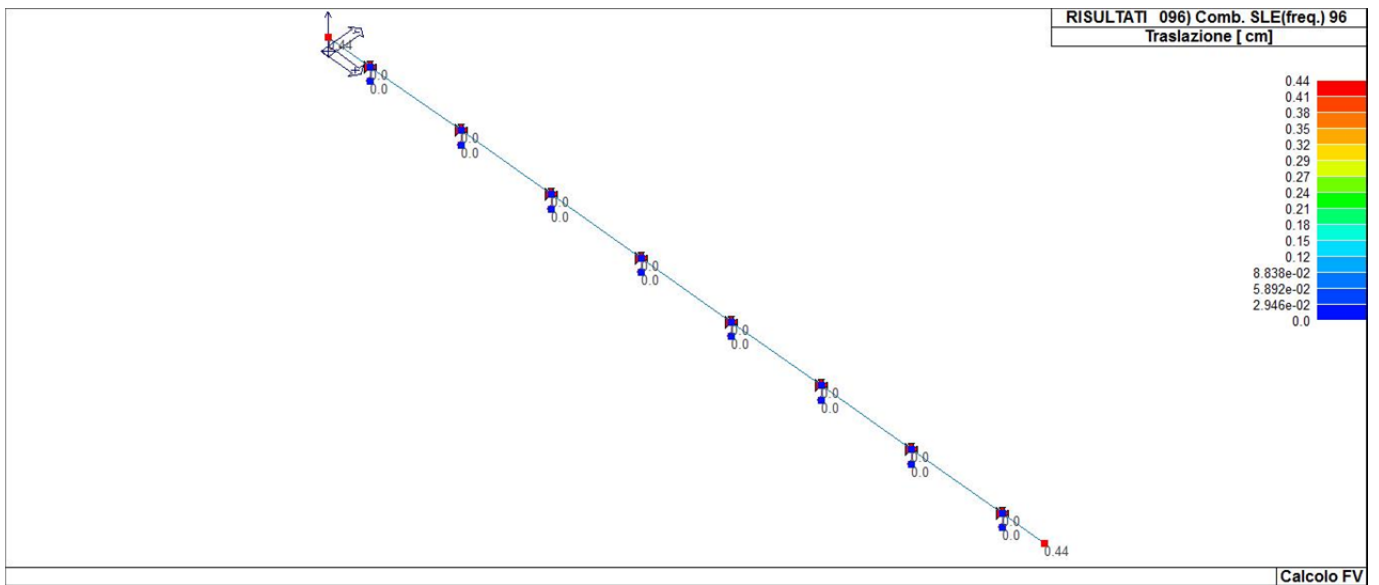
41_RIS_SPOSTAMENTI_067_Comb. SLE (SLD Danno sism.) 67



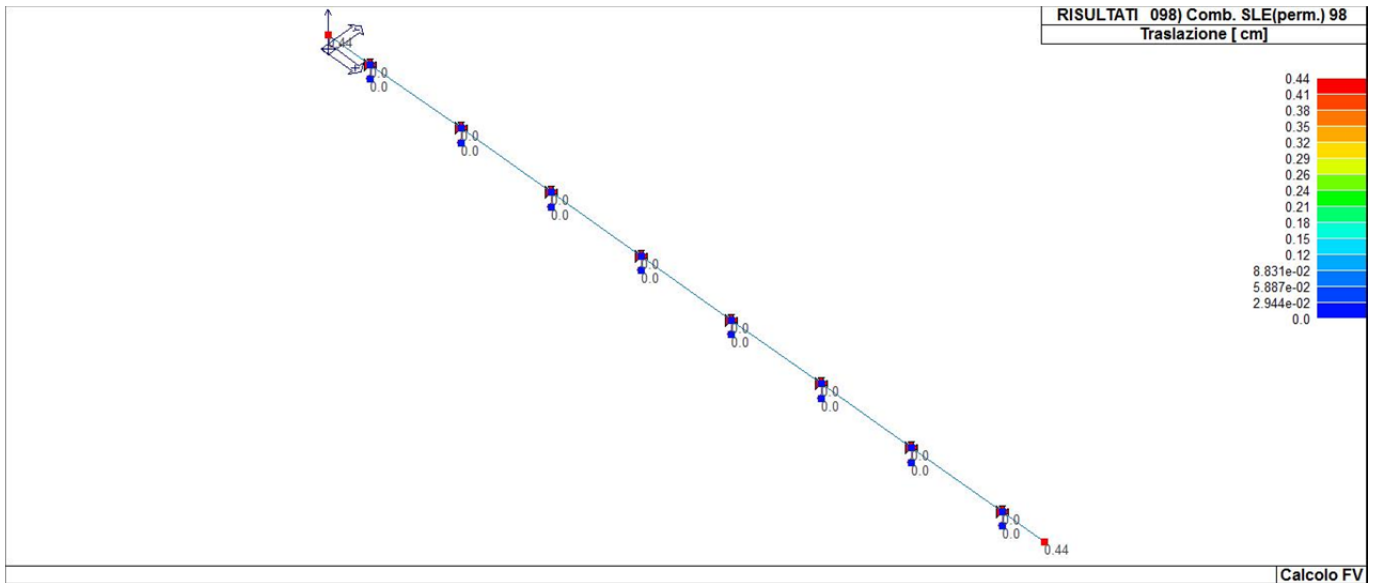
41_RIS_SPOSTAMENTI_083_Comb. SLU (Accid.) 83



41_RIS_SPOSTAMENTI_090_Comb. SLE(rara) 90



41_RIS_SPOSTAMENTI_096_Comb. SLE(freq.) 96



41_RIS_SPOSTAMENTI_098_Comb. SLE(perm.) 98

Nodo	Cmb	Azione X daN	Azione Y daN	Azione Z daN	Azione RX daN cm	Azione RY daN cm	Azione RZ daN cm
1	1	0.0	0.0	-29.61	0.0	0.0	0.0
1	2	0.0	0.0	-22.78	0.0	0.0	0.0
1	19	0.0	0.0	-22.78	0.0	0.0	0.0
1	51	0.0	0.0	-22.78	0.0	0.0	0.0
1	83	0.0	0.0	-22.78	0.0	0.0	0.0
1	84	0.0	0.0	-22.78	0.0	0.0	0.0
1	93	0.0	0.0	-22.78	0.0	0.0	0.0
1	98	0.0	0.0	-22.78	0.0	0.0	0.0
2	1	0.0	0.0	-407.93	0.0	-6452.29	0.0
2	2	0.0	0.0	-313.80	0.0	-4963.30	0.0
2	19	2.36	0.68	-313.80	0.0	-4963.30	-200.54
2	36	0.71	-2.27	-313.80	0.0	-4963.30	668.46
2	51	1.12	0.37	-313.80	0.0	-4963.30	-108.16
2	83	0.0	0.0	-313.80	0.0	-4963.30	0.0
2	84	0.0	0.0	-313.80	0.0	-4963.30	0.0
2	93	0.0	0.0	-313.80	0.0	-4963.30	0.0
2	98	0.0	0.0	-313.80	0.0	-4963.30	0.0
3	1	0.0	0.0	-29.61	0.0	0.0	0.0
3	2	0.0	0.0	-22.78	0.0	0.0	0.0
3	19	0.0	0.0	-22.78	0.0	0.0	0.0
3	51	0.0	0.0	-22.78	0.0	0.0	0.0
3	83	0.0	0.0	-22.78	0.0	0.0	0.0
3	84	0.0	0.0	-22.78	0.0	0.0	0.0
3	93	0.0	0.0	-22.78	0.0	0.0	0.0
3	98	0.0	0.0	-22.78	0.0	0.0	0.0
4	1	0.0	0.0	-420.30	0.0	0.0	0.0
4	2	0.0	0.0	-323.31	0.0	0.0	0.0
4	13	0.0	94.50	-420.30	0.0	52.50	0.0
4	19	0.0	0.0	-323.31	0.0	0.0	0.0
4	51	0.0	0.0	-323.31	0.0	0.0	0.0
4	83	0.0	0.0	-323.31	0.0	0.0	0.0
4	84	0.0	0.0	-323.31	0.0	0.0	0.0
4	90	0.0	63.00	-323.31	0.0	35.00	0.0
4	93	0.0	0.0	-323.31	0.0	0.0	0.0
4	96	0.0	12.60	-323.31	0.0	7.00	0.0
4	98	0.0	0.0	-323.31	0.0	0.0	0.0
5	1	0.0	0.0	-29.61	0.0	0.0	0.0
5	2	0.0	0.0	-22.78	0.0	0.0	0.0
5	19	0.0	0.0	-22.78	0.0	0.0	0.0
5	51	0.0	0.0	-22.78	0.0	0.0	0.0
5	83	0.0	0.0	-22.78	0.0	0.0	0.0
5	84	0.0	0.0	-22.78	0.0	0.0	0.0
5	93	0.0	0.0	-22.78	0.0	0.0	0.0
5	98	0.0	0.0	-22.78	0.0	0.0	0.0
6	1	0.0	0.0	-420.30	0.0	0.0	0.0
6	2	0.0	0.0	-323.31	0.0	0.0	0.0
6	13	0.0	94.50	-420.30	0.0	52.50	0.0

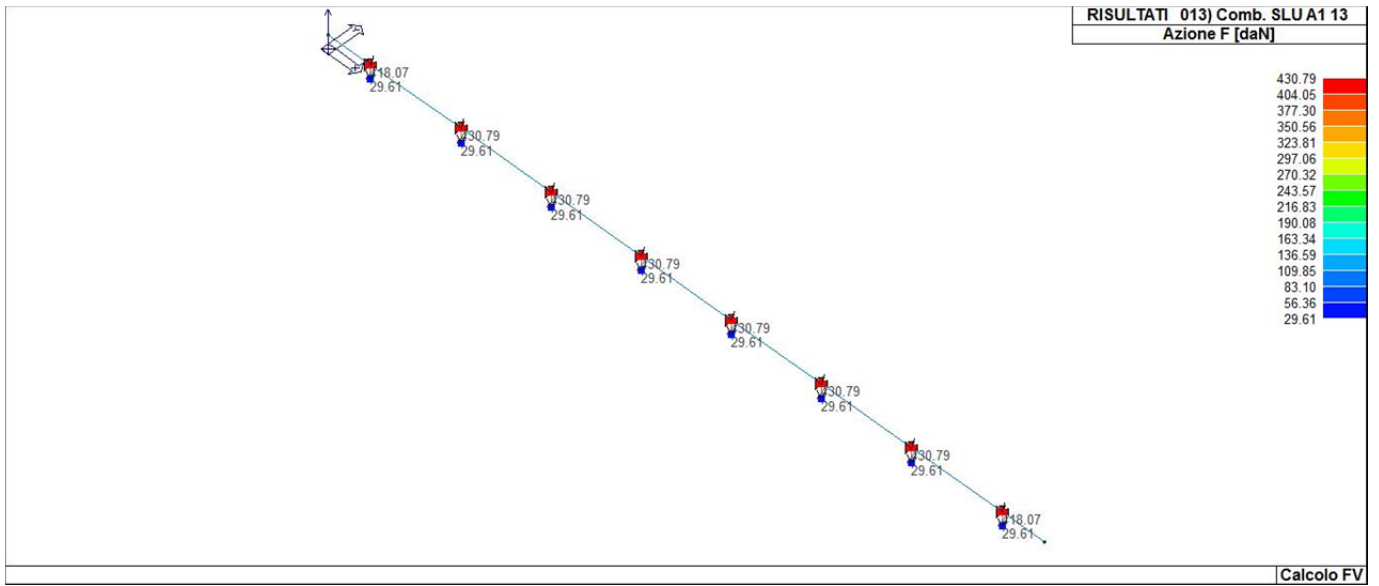
6	19	0.0	0.0	-323.31	0.0	0.0	0.0
6	51	0.0	0.0	-323.31	0.0	0.0	0.0
6	83	0.0	0.0	-323.31	0.0	0.0	0.0
6	84	0.0	0.0	-323.31	0.0	0.0	0.0
6	90	0.0	63.00	-323.31	0.0	35.00	0.0
6	93	0.0	0.0	-323.31	0.0	0.0	0.0
6	96	0.0	12.60	-323.31	0.0	7.00	0.0
6	98	0.0	0.0	-323.31	0.0	0.0	0.0
7	1	0.0	0.0	-29.61	0.0	0.0	0.0
7	2	0.0	0.0	-22.78	0.0	0.0	0.0
7	19	0.0	0.0	-22.78	0.0	0.0	0.0
7	51	0.0	0.0	-22.78	0.0	0.0	0.0
7	83	0.0	0.0	-22.78	0.0	0.0	0.0
7	84	0.0	0.0	-22.78	0.0	0.0	0.0
7	93	0.0	0.0	-22.78	0.0	0.0	0.0
7	98	0.0	0.0	-22.78	0.0	0.0	0.0
8	1	0.0	0.0	-420.30	0.0	0.0	0.0
8	2	0.0	0.0	-323.31	0.0	0.0	0.0
8	13	0.0	94.50	-420.30	0.0	52.50	0.0
8	19	0.0	0.0	-323.31	0.0	0.0	0.0
8	51	0.0	0.0	-323.31	0.0	0.0	0.0
8	83	0.0	0.0	-323.31	0.0	0.0	0.0
8	84	0.0	0.0	-323.31	0.0	0.0	0.0
8	90	0.0	63.00	-323.31	0.0	35.00	0.0
8	93	0.0	0.0	-323.31	0.0	0.0	0.0
8	96	0.0	12.60	-323.31	0.0	7.00	0.0
8	98	0.0	0.0	-323.31	0.0	0.0	0.0
9	1	0.0	0.0	-29.61	0.0	0.0	0.0
9	2	0.0	0.0	-22.78	0.0	0.0	0.0
9	19	0.0	0.0	-22.78	0.0	0.0	0.0
9	51	0.0	0.0	-22.78	0.0	0.0	0.0
9	83	0.0	0.0	-22.78	0.0	0.0	0.0
9	84	0.0	0.0	-22.78	0.0	0.0	0.0
9	93	0.0	0.0	-22.78	0.0	0.0	0.0
9	98	0.0	0.0	-22.78	0.0	0.0	0.0
10	1	0.0	0.0	-420.30	0.0	0.0	0.0
10	2	0.0	0.0	-323.31	0.0	0.0	0.0
10	13	0.0	94.50	-420.30	0.0	52.50	0.0
10	19	0.0	0.0	-323.31	0.0	0.0	0.0
10	51	0.0	0.0	-323.31	0.0	0.0	0.0
10	83	0.0	0.0	-323.31	0.0	0.0	0.0
10	84	0.0	0.0	-323.31	0.0	0.0	0.0
10	90	0.0	63.00	-323.31	0.0	35.00	0.0
10	93	0.0	0.0	-323.31	0.0	0.0	0.0
10	96	0.0	12.60	-323.31	0.0	7.00	0.0
10	98	0.0	0.0	-323.31	0.0	0.0	0.0
11	1	0.0	0.0	-29.61	0.0	0.0	0.0
11	2	0.0	0.0	-22.78	0.0	0.0	0.0
11	19	0.0	0.0	-22.78	0.0	0.0	0.0
11	51	0.0	0.0	-22.78	0.0	0.0	0.0
11	83	0.0	0.0	-22.78	0.0	0.0	0.0
11	84	0.0	0.0	-22.78	0.0	0.0	0.0
11	93	0.0	0.0	-22.78	0.0	0.0	0.0
11	98	0.0	0.0	-22.78	0.0	0.0	0.0
12	1	0.0	0.0	-420.30	0.0	0.0	0.0
12	2	0.0	0.0	-323.31	0.0	0.0	0.0
12	13	0.0	94.50	-420.30	0.0	52.50	0.0
12	19	0.0	0.0	-323.31	0.0	0.0	0.0
12	51	0.0	0.0	-323.31	0.0	0.0	0.0
12	83	0.0	0.0	-323.31	0.0	0.0	0.0
12	84	0.0	0.0	-323.31	0.0	0.0	0.0
12	90	0.0	63.00	-323.31	0.0	35.00	0.0
12	93	0.0	0.0	-323.31	0.0	0.0	0.0
12	96	0.0	12.60	-323.31	0.0	7.00	0.0
12	98	0.0	0.0	-323.31	0.0	0.0	0.0
13	1	0.0	0.0	-29.61	0.0	0.0	0.0
13	2	0.0	0.0	-22.78	0.0	0.0	0.0
13	19	0.0	0.0	-22.78	0.0	0.0	0.0
13	51	0.0	0.0	-22.78	0.0	0.0	0.0
13	83	0.0	0.0	-22.78	0.0	0.0	0.0
13	84	0.0	0.0	-22.78	0.0	0.0	0.0
13	93	0.0	0.0	-22.78	0.0	0.0	0.0
13	98	0.0	0.0	-22.78	0.0	0.0	0.0
14	1	0.0	0.0	-420.30	0.0	0.0	0.0
14	2	0.0	0.0	-323.31	0.0	0.0	0.0
14	13	0.0	94.50	-420.30	0.0	52.50	0.0

14	19	0.0	0.0	-323.31	0.0	0.0	0.0
14	51	0.0	0.0	-323.31	0.0	0.0	0.0
14	83	0.0	0.0	-323.31	0.0	0.0	0.0
14	84	0.0	0.0	-323.31	0.0	0.0	0.0
14	90	0.0	63.00	-323.31	0.0	35.00	0.0
14	93	0.0	0.0	-323.31	0.0	0.0	0.0
14	96	0.0	12.60	-323.31	0.0	7.00	0.0
14	98	0.0	0.0	-323.31	0.0	0.0	0.0
15	1	0.0	0.0	-29.61	0.0	0.0	0.0
15	2	0.0	0.0	-22.78	0.0	0.0	0.0
15	19	0.0	0.0	-22.78	0.0	0.0	0.0
15	51	0.0	0.0	-22.78	0.0	0.0	0.0
15	83	0.0	0.0	-22.78	0.0	0.0	0.0
15	84	0.0	0.0	-22.78	0.0	0.0	0.0
15	93	0.0	0.0	-22.78	0.0	0.0	0.0
15	98	0.0	0.0	-22.78	0.0	0.0	0.0
16	1	0.0	0.0	-407.93	0.0	6452.29	0.0
16	2	0.0	0.0	-313.80	0.0	4963.30	0.0
16	13	0.0	91.50	-407.93	0.0	6504.79	1565.62
16	19	2.36	1.36	-313.80	0.0	4963.30	402.05
16	35	0.71	4.54	-313.80	0.0	4963.30	1340.18
16	51	1.12	0.76	-313.80	0.0	4963.30	223.36
16	83	0.0	0.0	-313.80	0.0	4963.30	0.0
16	84	0.0	0.0	-313.80	0.0	4963.30	0.0
16	90	0.0	61.00	-313.80	0.0	4998.30	1043.75
16	93	0.0	0.0	-313.80	0.0	4963.30	0.0
16	96	0.0	12.20	-313.80	0.0	4970.30	208.75
16	98	0.0	0.0	-313.80	0.0	4963.30	0.0

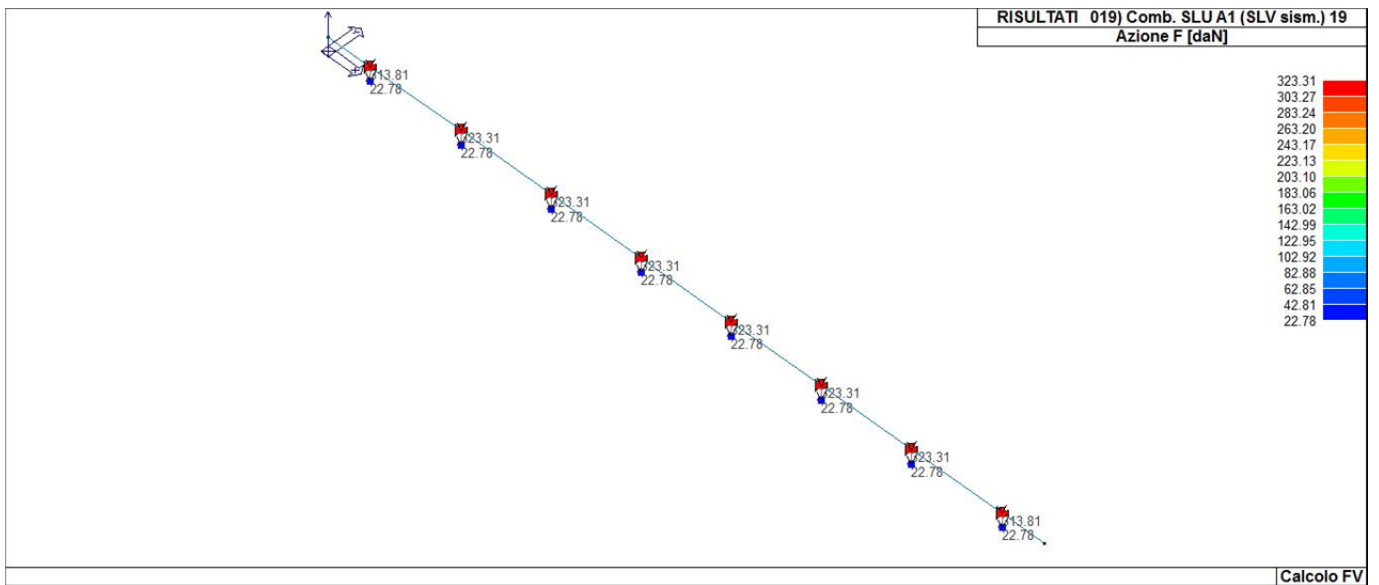
Nodo	Azione X	Azione Y	Azione Z	Azione RX	Azione RY	Azione RZ
	0.0	-2.27	-420.30	0.0	-6452.29	-200.54
	2.36	94.50	-22.78	0.0	6504.79	1565.62

Nodo	Cmb	Azione X daN	Azione Y daN	Azione Z daN	Azione RX daN cm	Azione RY daN cm	Azione RZ daN cm
1	1	0.0	0.0	-29.61	0.0	0.0	0.0
	2	0.0	0.0	-22.78	0.0	0.0	0.0
	1	0.0	0.0	-29.61	0.0	0.0	0.0
	1	0.0	0.0	-29.61	0.0	0.0	0.0
	1	0.0	0.0	-29.61	0.0	0.0	0.0
	1	0.0	0.0	-29.61	0.0	0.0	0.0
2	1	0.0	0.0	-407.93	0.0	-6452.29	0.0
	2	0.0	0.0	-313.80	0.0	-4963.30	0.0
	1	0.0	0.0	-407.93	0.0	-6452.29	0.0
	1	0.0	0.0	-407.93	0.0	-6452.29	0.0
	1	0.0	0.0	-407.93	0.0	-6452.29	0.0
	14	0.0	91.50	-313.80	0.0	-4910.80	-1565.62
3	1	0.0	0.0	-29.61	0.0	0.0	0.0
	2	0.0	0.0	-22.78	0.0	0.0	0.0
	1	0.0	0.0	-29.61	0.0	0.0	0.0
	1	0.0	0.0	-29.61	0.0	0.0	0.0
	1	0.0	0.0	-29.61	0.0	0.0	0.0
	1	0.0	0.0	-29.61	0.0	0.0	0.0
4	1	0.0	0.0	-420.30	0.0	0.0	0.0
	2	0.0	0.0	-323.31	0.0	0.0	0.0
	1	0.0	0.0	-420.30	0.0	0.0	0.0
	1	0.0	0.0	-420.30	0.0	0.0	0.0
	1	0.0	0.0	-420.30	0.0	0.0	0.0
	13	0.0	94.50	-420.30	0.0	52.50	0.0
5	1	0.0	0.0	-29.61	0.0	0.0	0.0
	2	0.0	0.0	-22.78	0.0	0.0	0.0
	1	0.0	0.0	-29.61	0.0	0.0	0.0
	1	0.0	0.0	-29.61	0.0	0.0	0.0
	1	0.0	0.0	-29.61	0.0	0.0	0.0
6	1	0.0	0.0	-420.30	0.0	0.0	0.0
	2	0.0	0.0	-323.31	0.0	0.0	0.0
	1	0.0	0.0	-420.30	0.0	0.0	0.0
	1	0.0	0.0	-420.30	0.0	0.0	0.0
	1	0.0	0.0	-420.30	0.0	0.0	0.0
	13	0.0	94.50	-420.30	0.0	52.50	0.0
7	1	0.0	0.0	-29.61	0.0	0.0	0.0
	2	0.0	0.0	-22.78	0.0	0.0	0.0
	1	0.0	0.0	-29.61	0.0	0.0	0.0
	1	0.0	0.0	-29.61	0.0	0.0	0.0
	1	0.0	0.0	-29.61	0.0	0.0	0.0

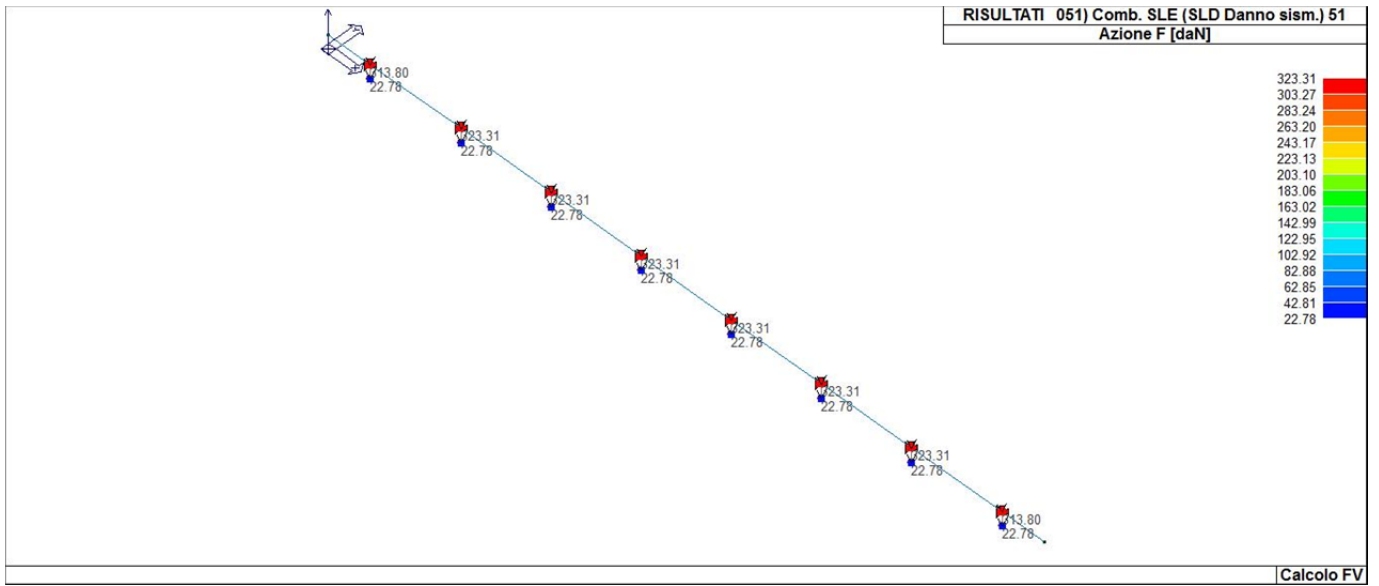
8	1	0.0	0.0	-29.61	0.0	0.0	0.0
	1	0.0	0.0	-420.30	0.0	0.0	0.0
	2	0.0	0.0	-323.31	0.0	0.0	0.0
	1	0.0	0.0	-420.30	0.0	0.0	0.0
	1	0.0	0.0	-420.30	0.0	0.0	0.0
9	1	0.0	0.0	-420.30	0.0	0.0	0.0
	13	0.0	94.50	-420.30	0.0	52.50	0.0
	1	0.0	0.0	-29.61	0.0	0.0	0.0
	2	0.0	0.0	-22.78	0.0	0.0	0.0
	1	0.0	0.0	-29.61	0.0	0.0	0.0
10	1	0.0	0.0	-29.61	0.0	0.0	0.0
	1	0.0	0.0	-29.61	0.0	0.0	0.0
	1	0.0	0.0	-29.61	0.0	0.0	0.0
	1	0.0	0.0	-29.61	0.0	0.0	0.0
	1	0.0	0.0	-29.61	0.0	0.0	0.0
11	1	0.0	0.0	-420.30	0.0	0.0	0.0
	2	0.0	0.0	-323.31	0.0	0.0	0.0
	1	0.0	0.0	-420.30	0.0	0.0	0.0
	1	0.0	0.0	-420.30	0.0	0.0	0.0
	1	0.0	0.0	-420.30	0.0	0.0	0.0
12	13	0.0	94.50	-420.30	0.0	52.50	0.0
	1	0.0	0.0	-29.61	0.0	0.0	0.0
	2	0.0	0.0	-22.78	0.0	0.0	0.0
	1	0.0	0.0	-29.61	0.0	0.0	0.0
	1	0.0	0.0	-29.61	0.0	0.0	0.0
13	1	0.0	0.0	-29.61	0.0	0.0	0.0
	1	0.0	0.0	-29.61	0.0	0.0	0.0
	1	0.0	0.0	-29.61	0.0	0.0	0.0
	1	0.0	0.0	-29.61	0.0	0.0	0.0
	1	0.0	0.0	-29.61	0.0	0.0	0.0
14	1	0.0	0.0	-420.30	0.0	0.0	0.0
	2	0.0	0.0	-323.31	0.0	0.0	0.0
	1	0.0	0.0	-420.30	0.0	0.0	0.0
	1	0.0	0.0	-420.30	0.0	0.0	0.0
	1	0.0	0.0	-420.30	0.0	0.0	0.0
15	13	0.0	94.50	-420.30	0.0	52.50	0.0
	1	0.0	0.0	-29.61	0.0	0.0	0.0
	2	0.0	0.0	-22.78	0.0	0.0	0.0
	1	0.0	0.0	-29.61	0.0	0.0	0.0
	1	0.0	0.0	-29.61	0.0	0.0	0.0
16	1	0.0	0.0	-29.61	0.0	0.0	0.0
	1	0.0	0.0	-29.61	0.0	0.0	0.0
	1	0.0	0.0	-29.61	0.0	0.0	0.0
	1	0.0	0.0	-29.61	0.0	0.0	0.0
	1	0.0	0.0	-29.61	0.0	0.0	0.0
16	1	0.0	0.0	-407.93	0.0	6452.29	0.0
	2	0.0	0.0	-313.80	0.0	4963.30	0.0
	1	0.0	0.0	-407.93	0.0	6452.29	0.0
	1	0.0	0.0	-407.93	0.0	6452.29	0.0
	36	0.71	-4.54	-313.80	0.0	4963.30	-1340.18
13	0.0	91.50	-407.93	0.0	6504.79	1565.62	



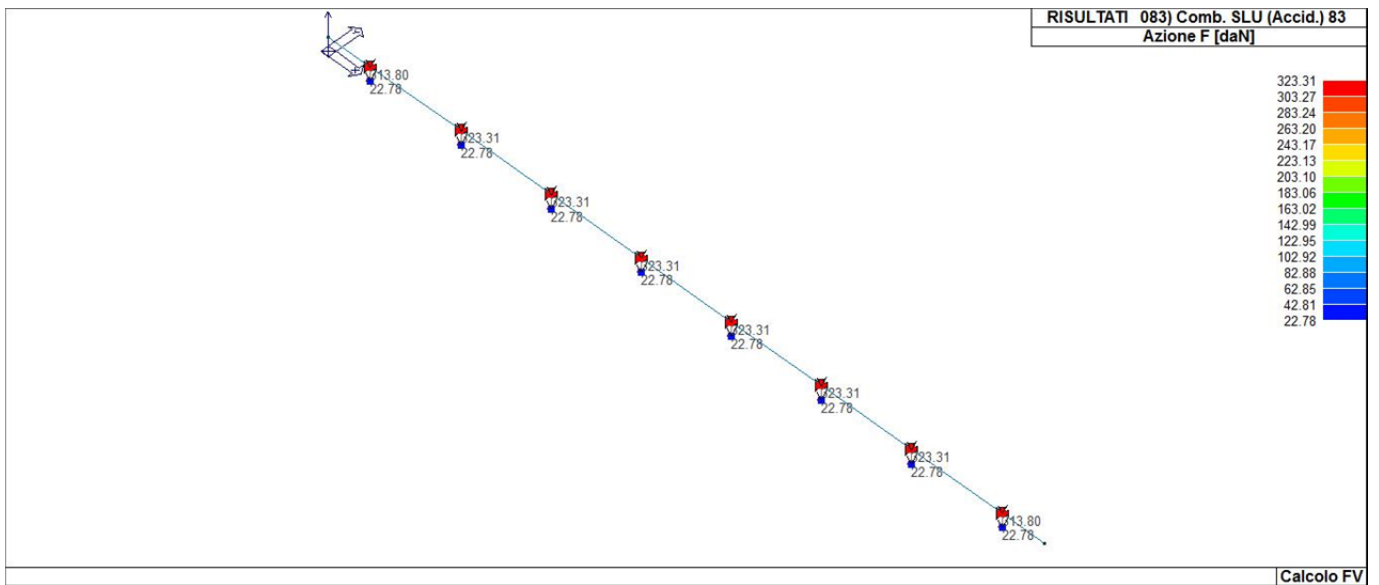
42_RIS_REAZIONI_013_Comb. SLU A1 13



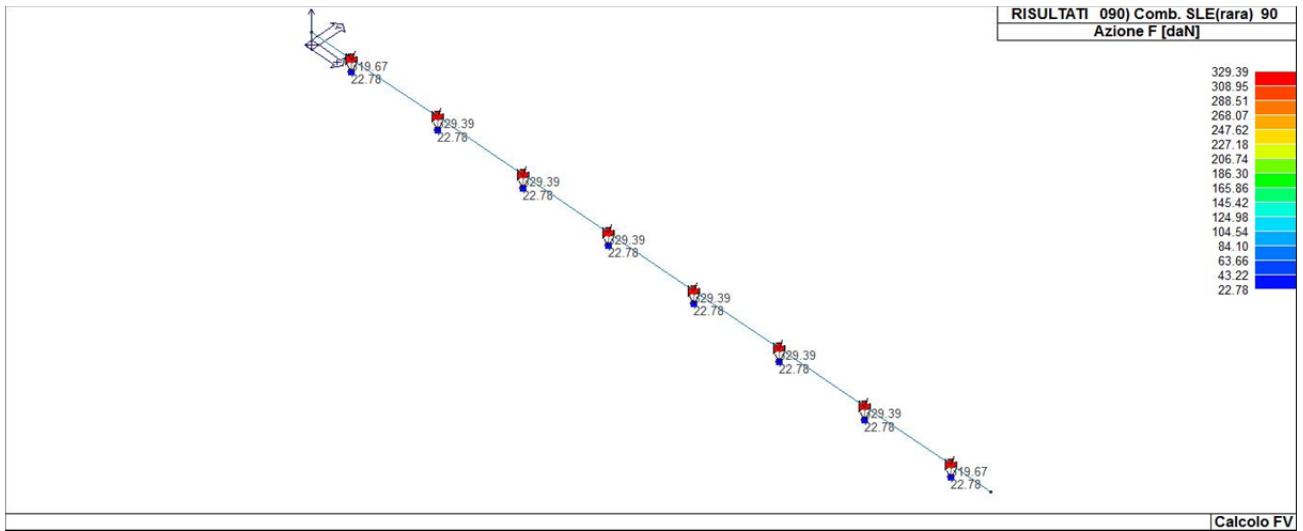
42_RIS_REAZIONI_019_Comb. SLU A1 (SLV sism.) 19



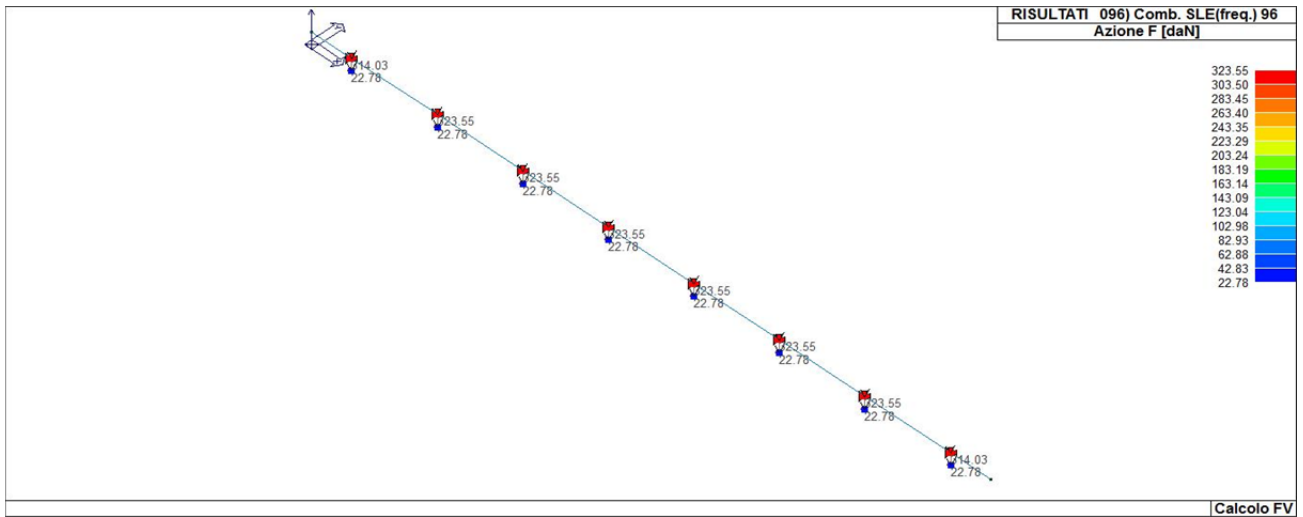
42_RIS_REAZIONI_051_Comb. SLE (SLD Danno sism.) 51



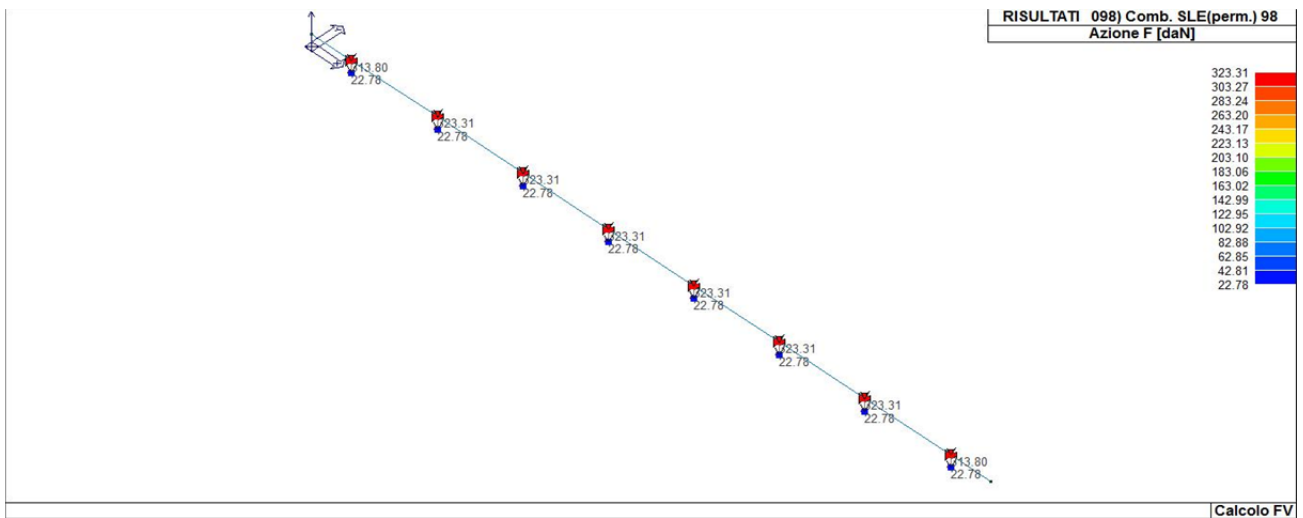
42_RIS_REAZIONI_083_Comb. SLU (Accid.) 83



42_RIS_REAZIONI_090_Comb. SLE(rara) 90



42_RIS_REAZIONI_096_Comb. SLE(freq.) 96



42_RIS_REAZIONI_098_Comb. SLE(perm.) 98

RISULTATI OPERE DI FONDAZIONE

LEGENDA RISULTATI OPERE DI FONDAZIONE

Il controllo dei risultati delle analisi condotte, per quanto concerne le opere di fondazione, è possibile in relazione alle tabelle sotto riportate.

La prima tabella è riferita alle fondazioni tipo palo e plinto su pali.

Per questo tipo di fondazione vengono riportate le sei componenti di sollecitazione (espresse nel riferimento globale della struttura) per ogni palo componente l'opera.

In particolare viene riportato:

Nodo	numero del nodo a cui è applicato il plinto
Tipo	codice corrispondente al nome assegnato al tipo di plinto di fondazione: 3) palo singolo (<i>PALO</i>) 4) plinto su palo 5) plinto su due pali (<i>PL.2P</i>) 6) plinto su tre pali (<i>PL.3P</i>) 7) plinto su quattro pali (<i>PL.4P</i>) 8) plinto rettangolare su cinque pali (<i>PL.5P.R</i>) 9) plinto pentagonale su cinque pali (<i>PL.5P</i>) 10) plinto su sei pali (<i>PL.6P</i>)
Palo	numero del palo
Comb.	combinazione di carico in cui si verificano le sei componenti di sollecitazione.
Quota	quota assoluta della sezione del palo per cui si riportano le sei componenti di sollecitazione.

L'azione F_z (corrispondente allo sforzo normale nel palo) è costante poiché il peso del palo stesso non è considerato nella modellazione.

La seconda tabella è riferita alle fondazioni tipo plinto su suolo elastico.

Per questo tipo di fondazione vengono riportate le pressioni nei quattro vertici dell'impronta sul terreno.

In particolare viene riportato:

Nodo	numero del nodo a cui è applicato il plinto
Tipo	Codice identificativo del nome assegnato al plinto
area	area dell'impronta del plinto
Wink O Wink V	coefficienti di Winkler (orizzontale e verticale) adottati
Comb	Combinazione di carico in cui si verificano i valori riportati
Pt (P1 P2 P3 P4)	valori di pressione nei vertici

La terza tabella è riferita alle fondazioni tipo platea su suolo elastico.

Per questo tipo di fondazione vengono riportate le pressioni in ogni vertice (nodo) degli elementi costituenti la platea.

La quarta tabella è riferita alle fondazioni tipo trave su suolo elastico.

Per questo tipo di fondazione vengono riportate le pressioni alle estremità dell'elemento e la massima (in valore assoluto) pressione lungo lo sviluppo dell'elemento.

Vengono inoltre riportati, con funzione statistica, i valori massimo e minimo delle pressioni che compaiono nella tabella.

RISULTATI ELEMENTI TIPO TRAVE

LEGENDA RISULTATI ELEMENTI TIPO TRAVE

Il controllo dei risultati delle analisi condotte, per quanto concerne gli elementi tipo trave, è possibile in relazione alle tabelle sotto riportate.

Gli elementi vengono suddivisi in relazione alle proprietà in elementi:

- tipo **pilastr**
- tipo **trave in elevazione**
- tipo **trave in fondazione**

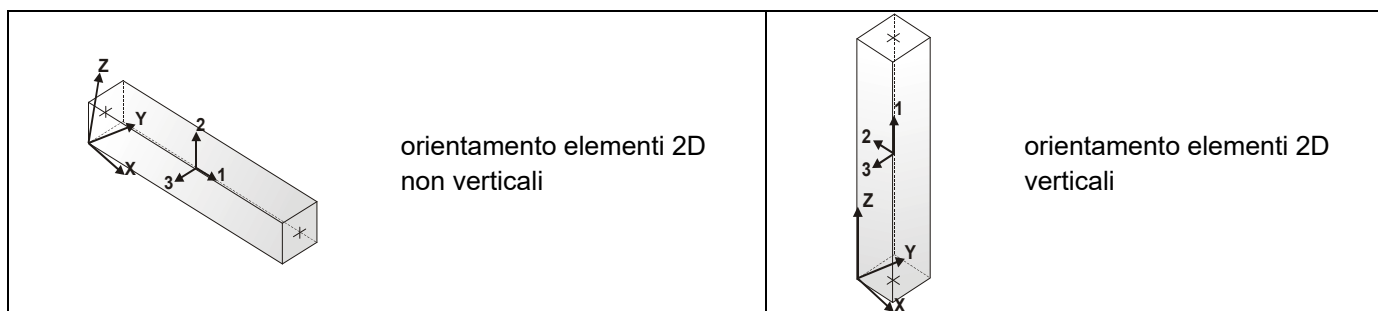
Per ogni elemento e per ogni combinazione (o caso di carico) vengono riportati i risultati più significativi.

Per gli elementi tipo *pilastr* sono riportati in tabella i seguenti valori:

Pilas.	numero dell'elemento pilastr
Cmb	combinazione in cui si verificano i valori riportati
M3 mx/mn	momento flettente in campata M3 max (prima riga) / min (seconda riga)
M2 mx/mn	momento flettente in campata M2 max (prima riga) / min (seconda riga)
D2/D3	freccia massima in direzione 2 (prima riga) / direzione 3 (seconda riga)
Q2/Q3	carico totale in direzione 2 (prima riga) / direzione 3 (seconda riga)
Pos.	ascissa del punto iniziale e finale dell'elemento
N, V2, ecc..	sei componenti di sollecitazione al piede ed in sommità dell'elemento

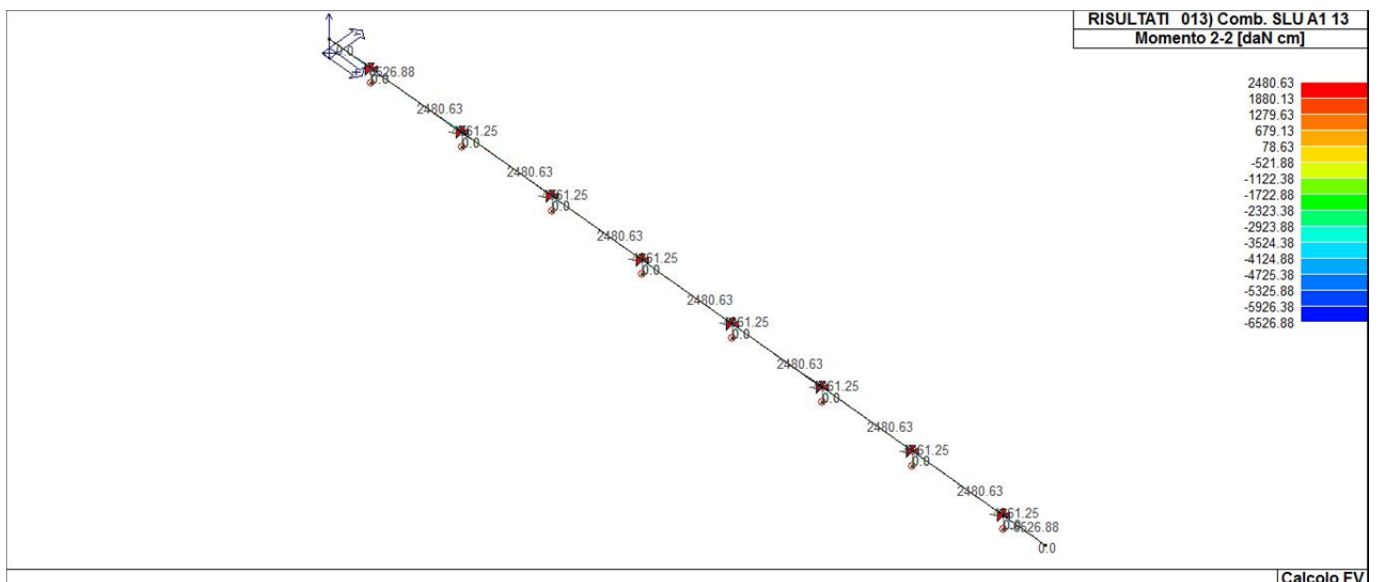
Per gli elementi tipo *trave in elevazione* sono riportati, oltre al numero dell'elemento, i medesimi risultati visti per i pilastri.

Per gli elementi tipo *trave in fondazione* (trave f.) sono riportati, oltre al numero dell'elemento, i medesimi risultati visti per i pilastri e la massima pressione sul terreno.

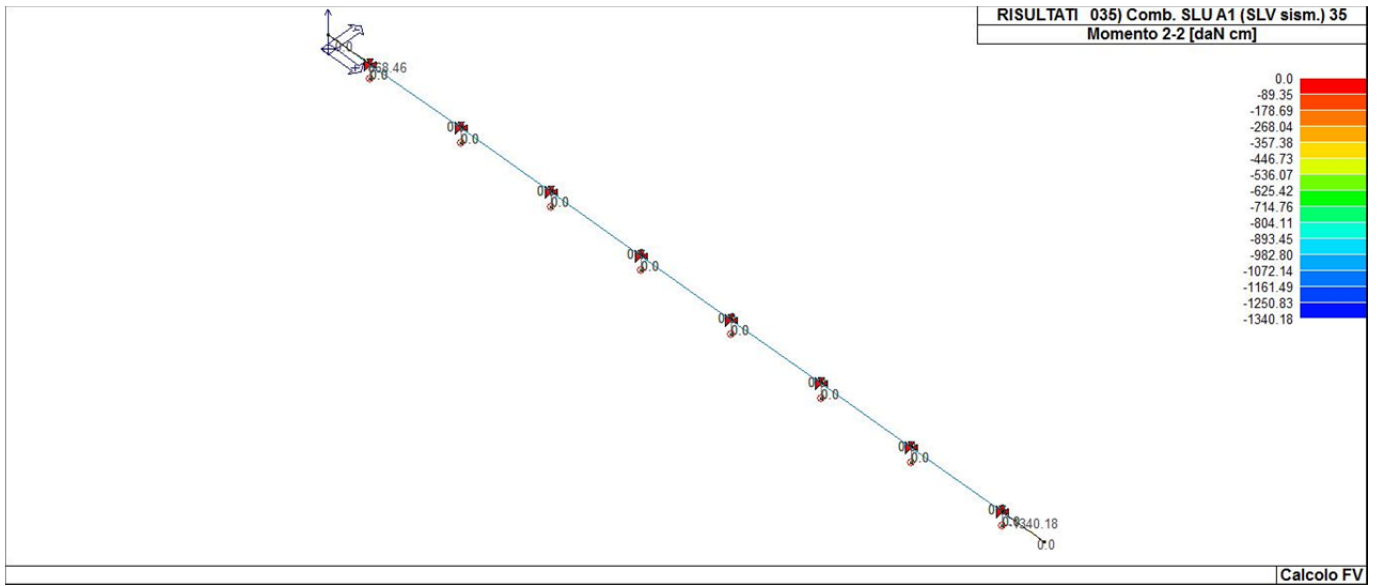


17	36	0.0	1340.18	-0.44	-140.28	0.0	0.71	140.28	-4.54	0.0	1340.18	-2.069e+04
		-2.069e+04	0.0	0.04	0.0	295.0	0.71	0.0	-4.54	0.0	0.0	0.0
17	51	0.0	0.0	-0.44	-140.28	0.0	1.12	140.28	0.76	0.0	-223.36	-2.069e+04
		-2.069e+04	-223.36	-6.36e-03	0.0	295.0	1.12	0.0	0.76	0.0	0.0	0.0
17	53	0.0	0.0	-0.44	-140.28	0.0	-1.12	140.28	0.76	0.0	-223.36	-2.069e+04
		-2.069e+04	-223.36	-6.36e-03	0.0	295.0	-1.12	0.0	0.76	0.0	0.0	0.0
17	67	0.0	0.0	-0.44	-140.28	0.0	0.33	140.28	2.52	0.0	-744.53	-2.069e+04
		-2.069e+04	-744.53	-0.02	0.0	295.0	0.33	0.0	2.52	0.0	0.0	0.0
17	68	0.0	744.53	-0.44	-140.28	0.0	0.33	140.28	-2.52	0.0	744.53	-2.069e+04
		-2.069e+04	0.0	0.02	0.0	295.0	0.33	0.0	-2.52	0.0	0.0	0.0
17	83	0.0	0.0	-0.44	-140.28	0.0	0.0	140.28	0.0	0.0	0.0	-2.069e+04
		-2.069e+04	0.0	0.0	0.0	295.0	0.0	0.0	0.0	0.0	0.0	0.0
17	84	0.0	0.0	-0.44	-140.28	0.0	0.0	140.28	0.0	0.0	0.0	-2.069e+04
		-2.069e+04	0.0	0.0	0.0	295.0	0.0	0.0	0.0	0.0	0.0	0.0
17	90	0.0	0.0	-0.44	-140.28	0.0	0.0	140.28	29.50	0.0	-4351.25	-2.069e+04
		-2.069e+04	-4351.25	-0.09	-29.50	295.0	0.0	0.0	0.0	0.0	0.0	0.0
17	93	0.0	0.0	-0.44	-140.28	0.0	0.0	140.28	0.0	0.0	0.0	-2.069e+04
		-2.069e+04	0.0	0.0	0.0	295.0	0.0	0.0	0.0	0.0	0.0	0.0
17	96	0.0	0.0	-0.44	-140.28	0.0	0.0	140.28	5.90	0.0	-870.25	-2.069e+04
		-2.069e+04	-870.25	-0.02	-5.90	295.0	0.0	0.0	0.0	0.0	0.0	0.0
17	98	0.0	0.0	-0.44	-140.28	0.0	0.0	140.28	0.0	0.0	0.0	-2.069e+04
		-2.069e+04	0.0	0.0	0.0	295.0	0.0	0.0	0.0	0.0	0.0	0.0

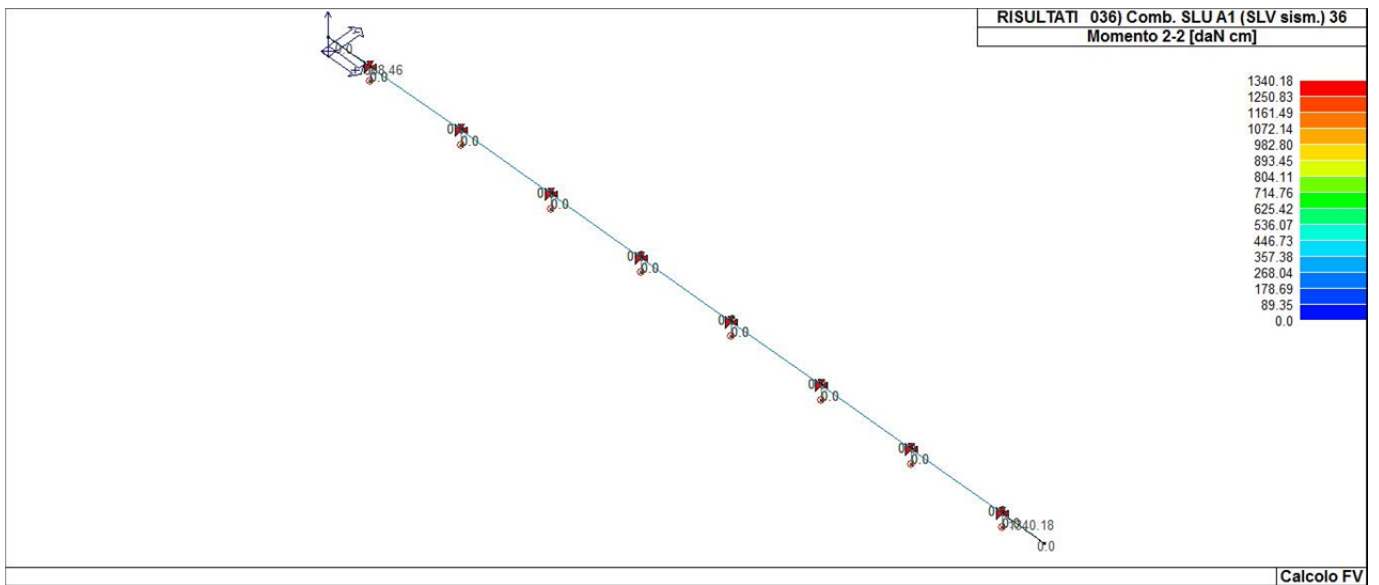
Trave	M3 mx/mn	M2 mx/mn	D 2 / D 3	Q 2 / Q 3	N	V 2	V 3	T
	-2.690e+04	-6526.88	-0.57	-389.46	-2.36	-194.73	-47.25	0.0
	1.022e+04	2480.63	0.57	0.0	2.36	194.73	47.25	0.0



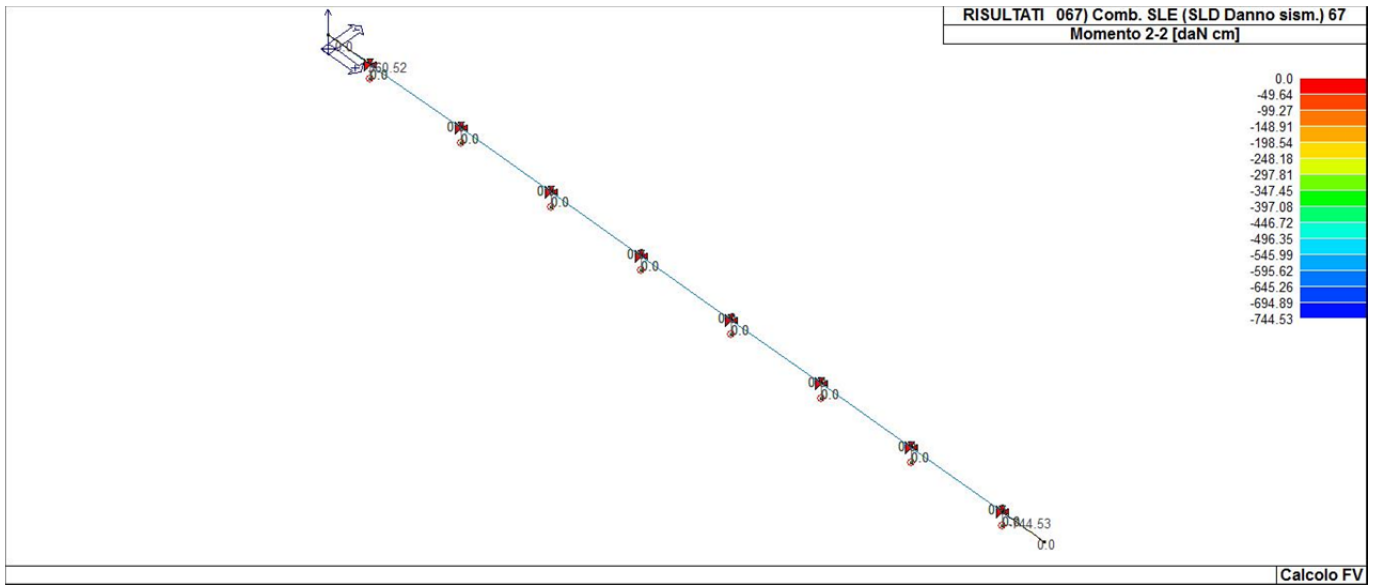
43_RIS_M2_013_Comb. SLU A1 13



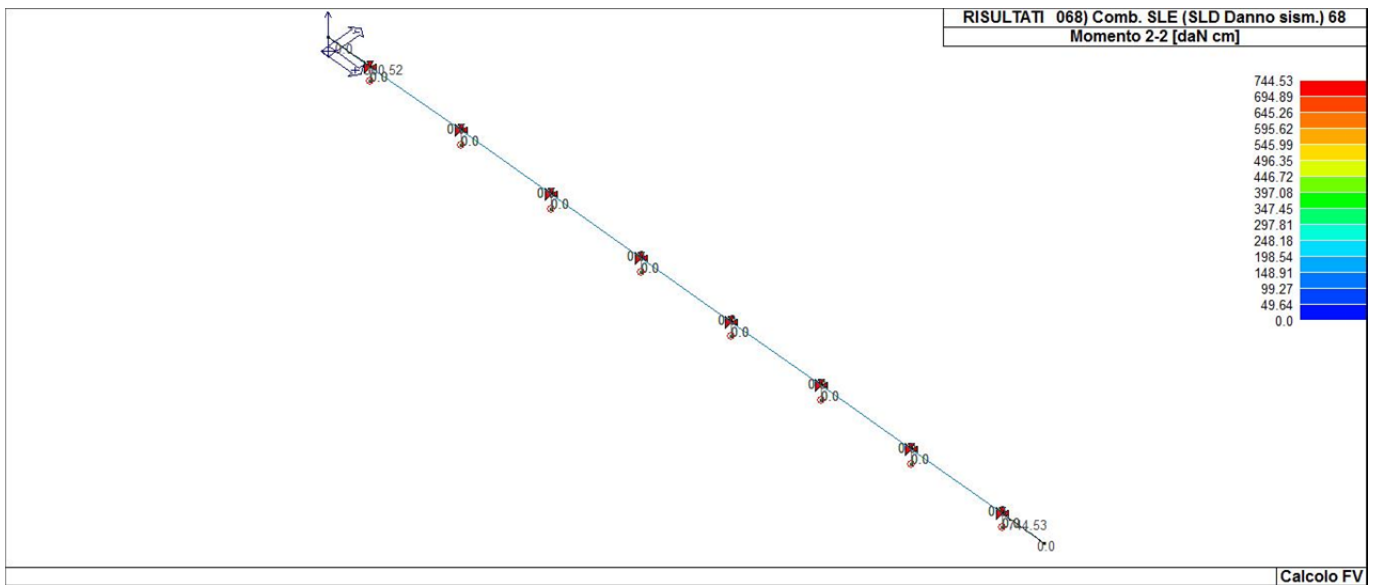
43_RIS_M2_035_Comb. SLU A1 (SLV sism.) 35



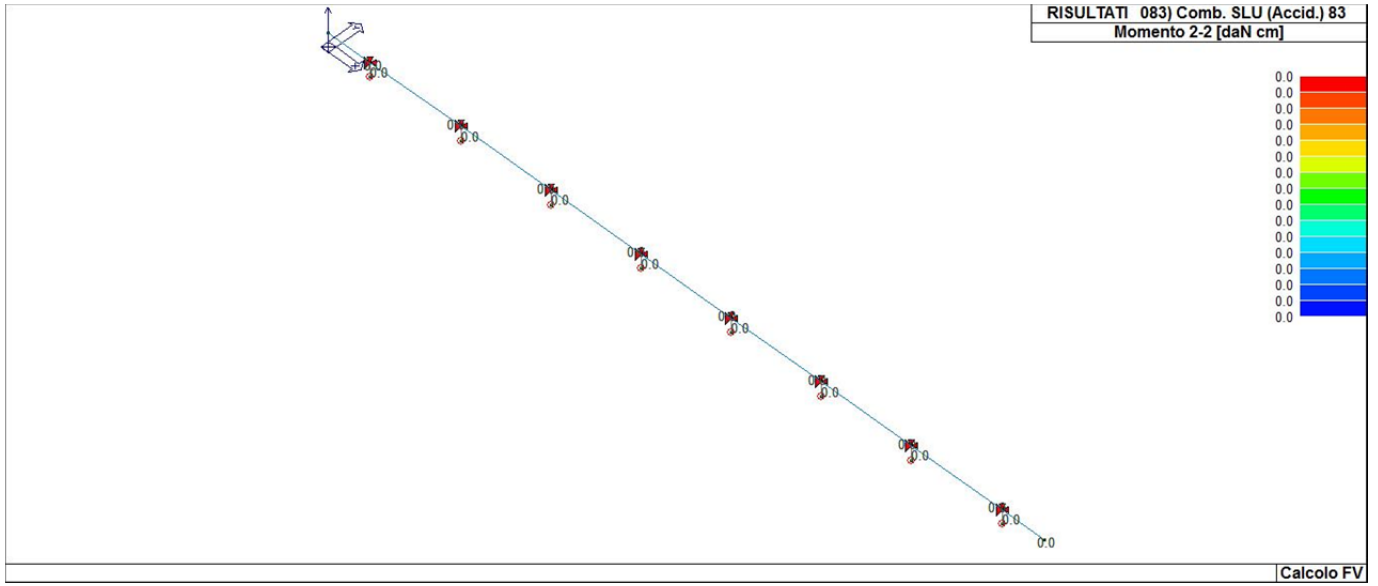
43_RIS_M2_036_Comb. SLU A1 (SLV sism.) 36



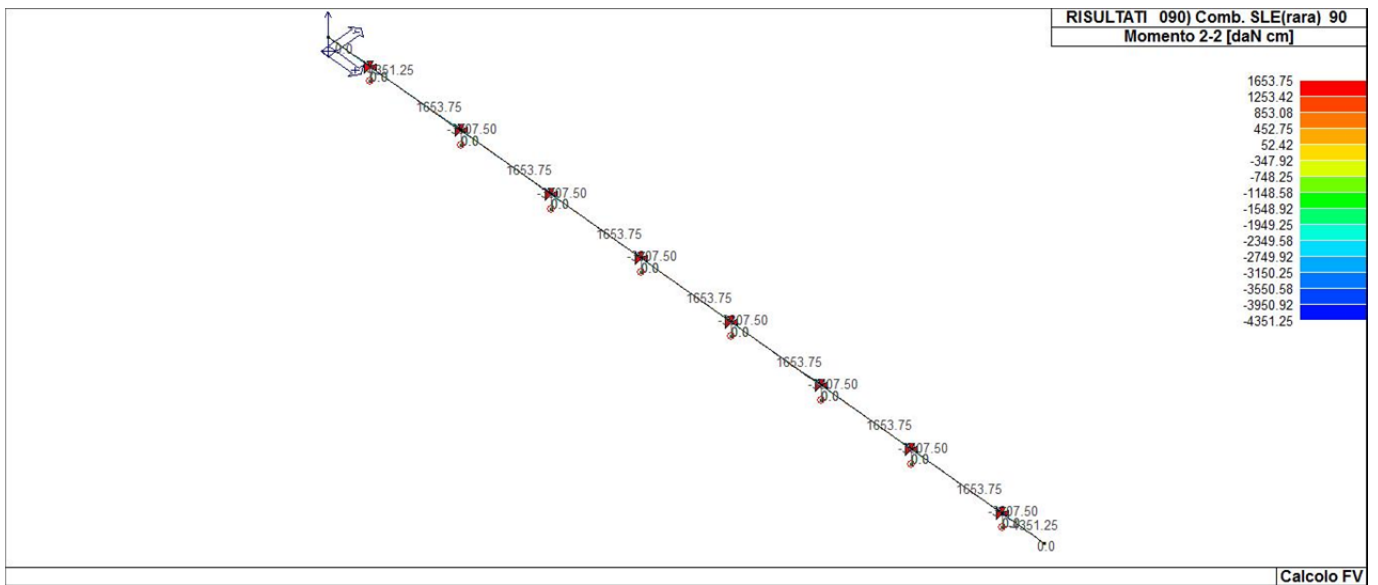
43_RIS_M2_067_Comb. SLE (SLD Danno sism.) 67



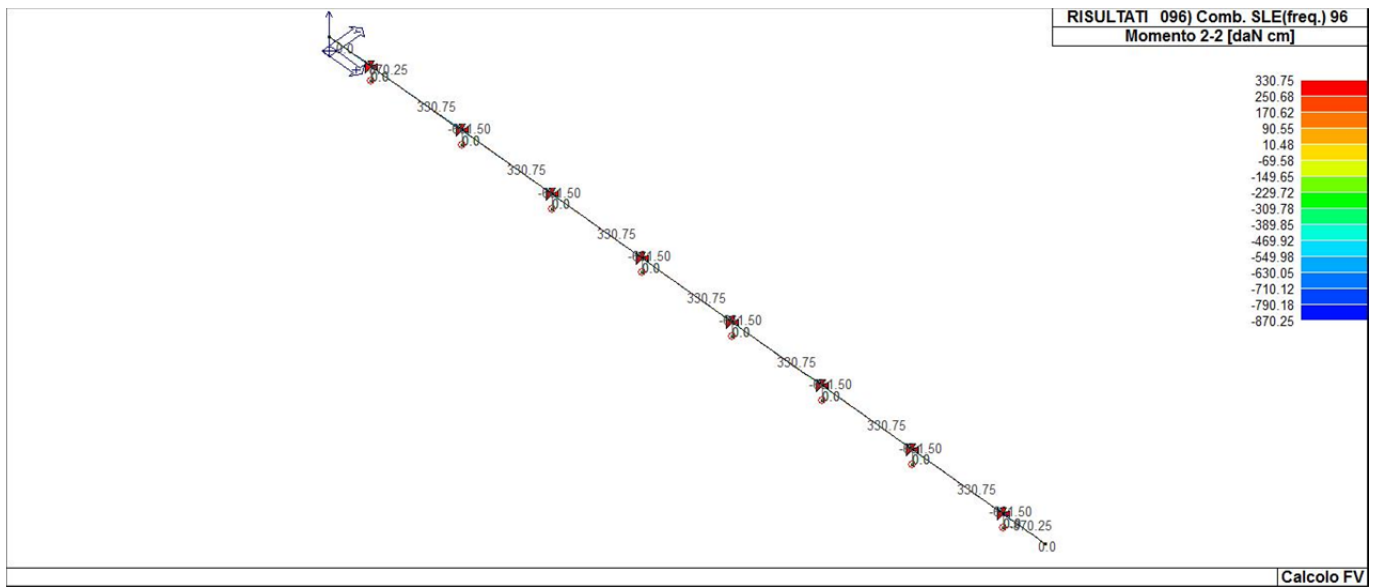
43_RIS_M2_068_Comb. SLE (SLD Danno sism.) 68



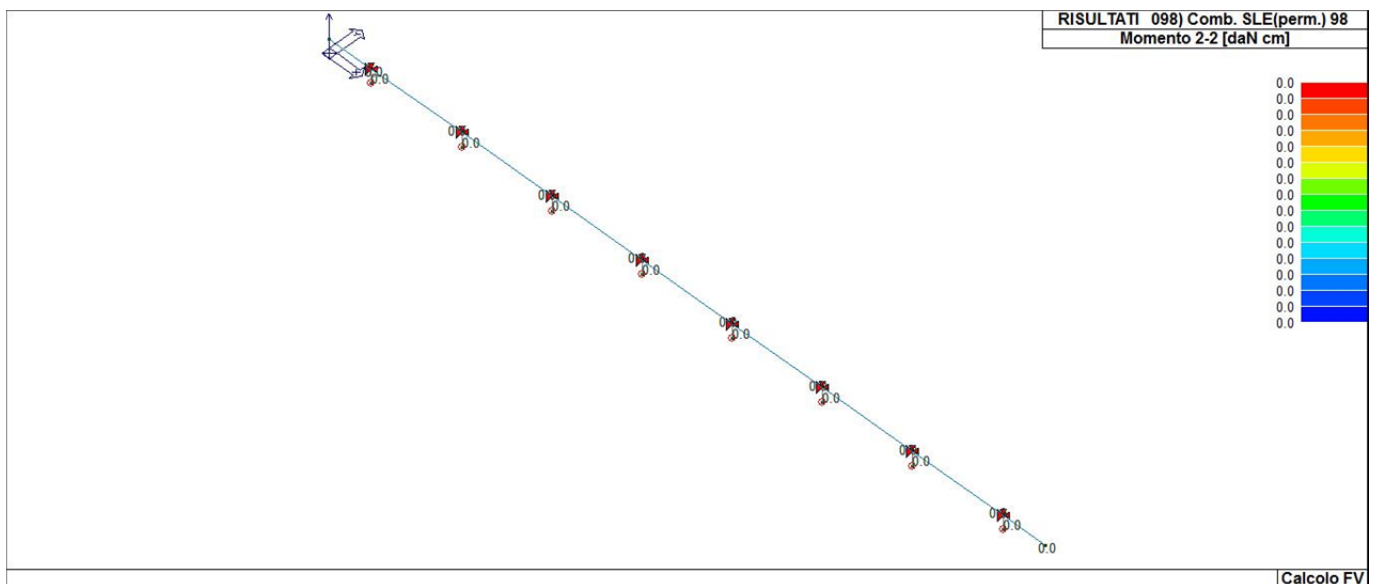
43_RIS_M2_083_Comb. SLU (Accid.) 83



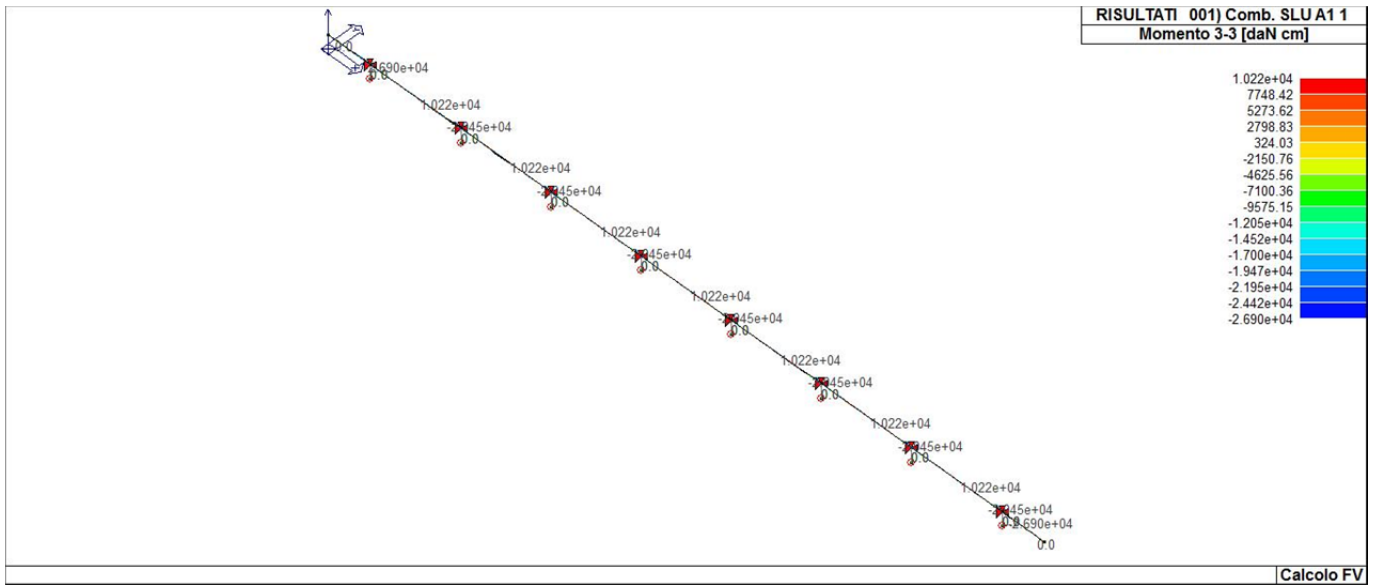
43_RIS_M2_090_Comb. SLE(rara) 90



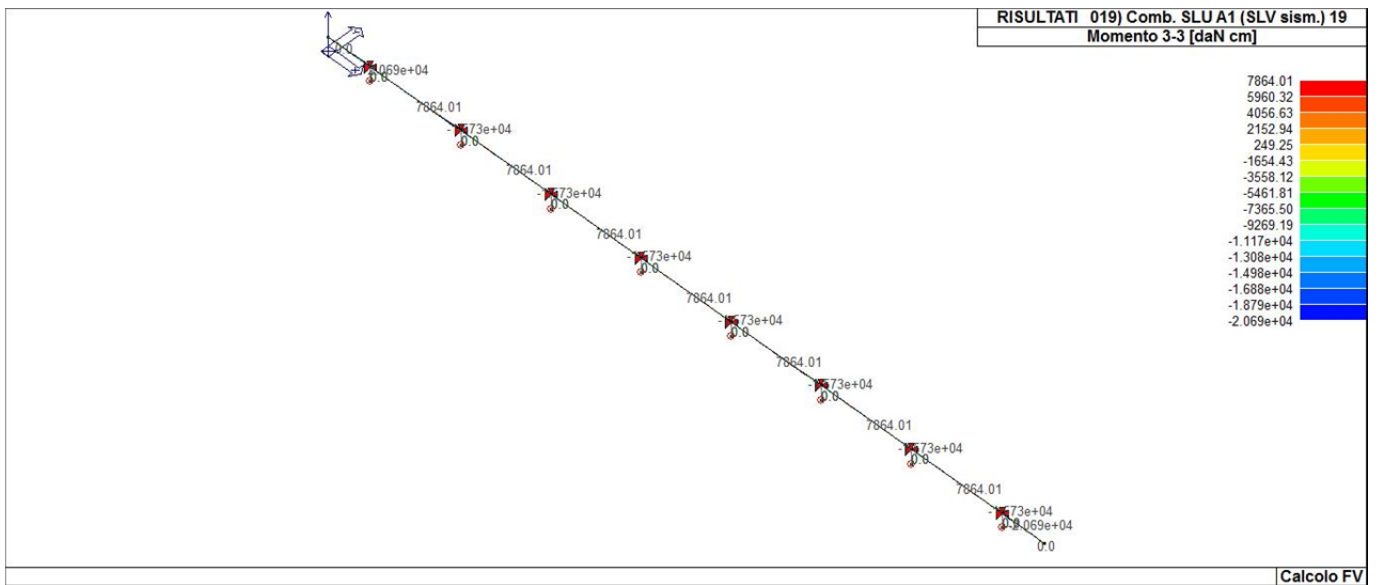
43_RIS_M2_096_Comb. SLE(freq.) 96



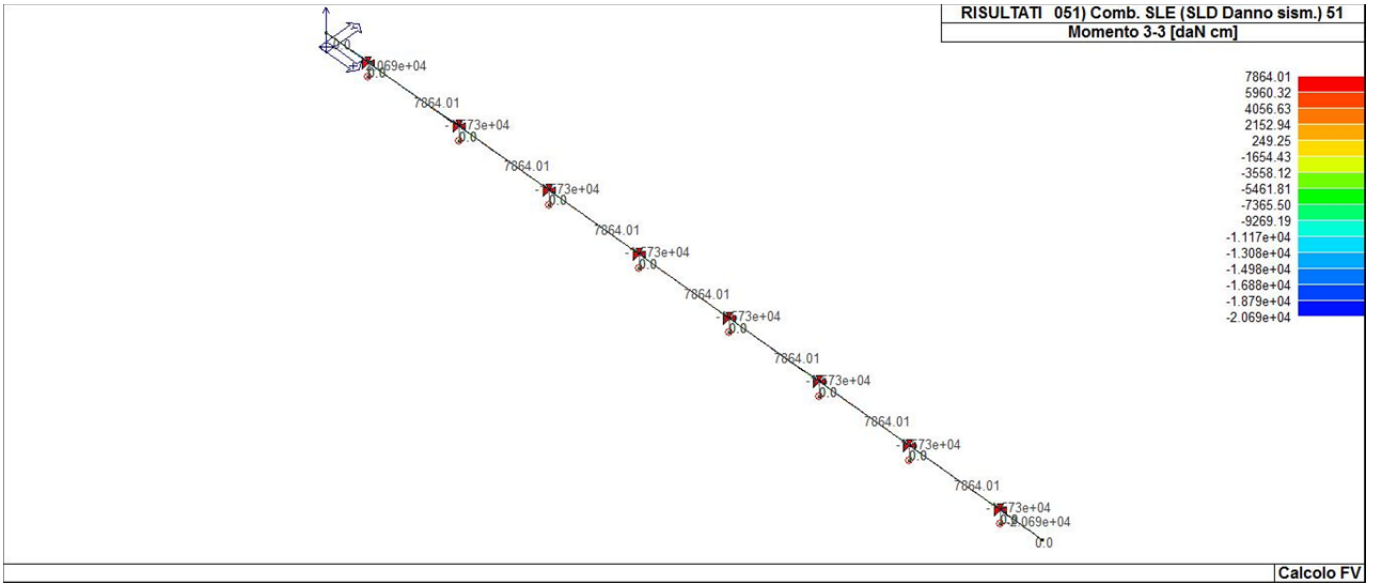
43_RIS_M2_098_Comb. SLE(perm.) 98



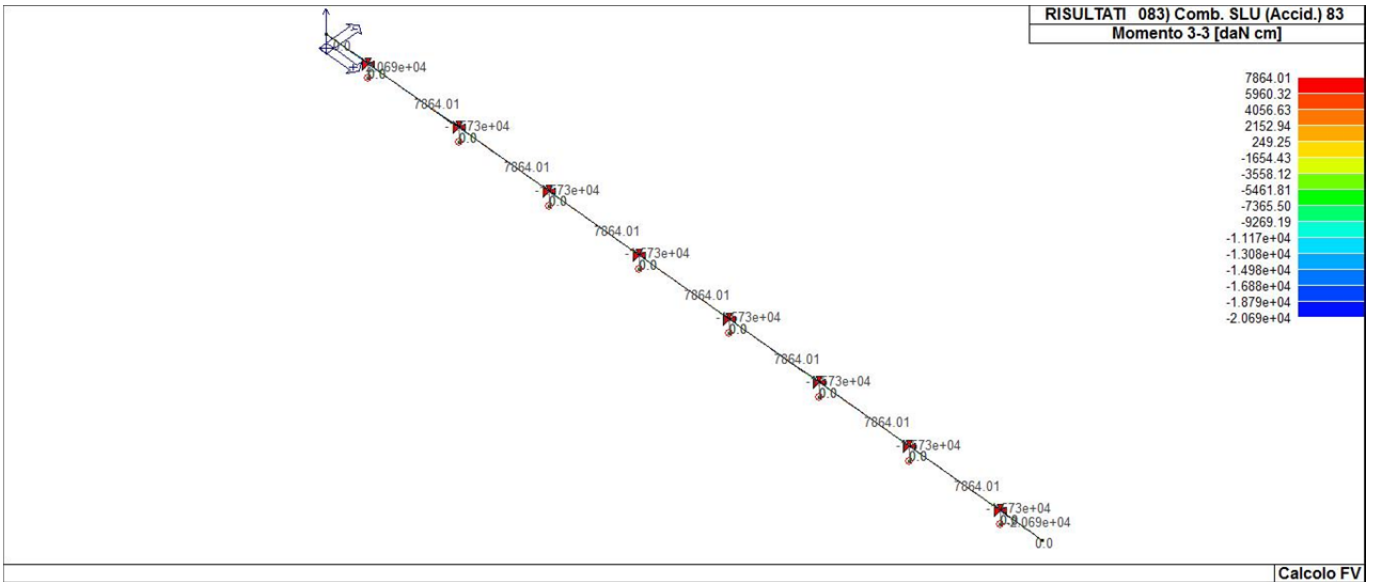
43_RIS_M3_001_Comb. SLU A1 1



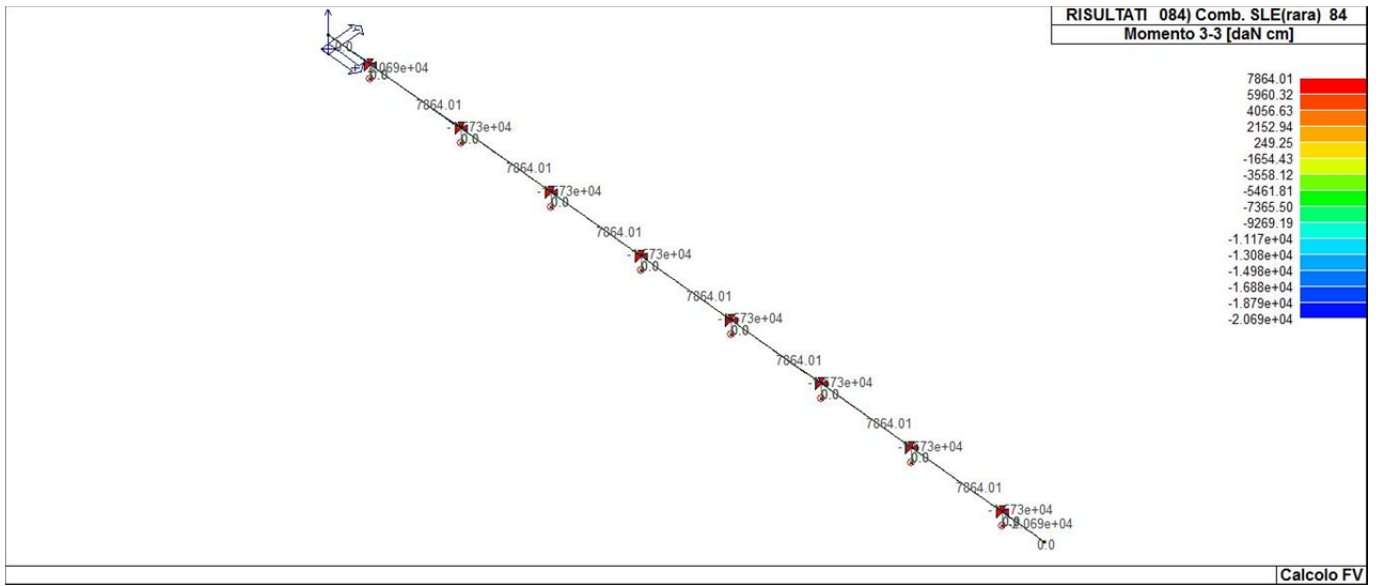
43_RIS_M3_019_Comb. SLU A1 (SLV sism.) 19



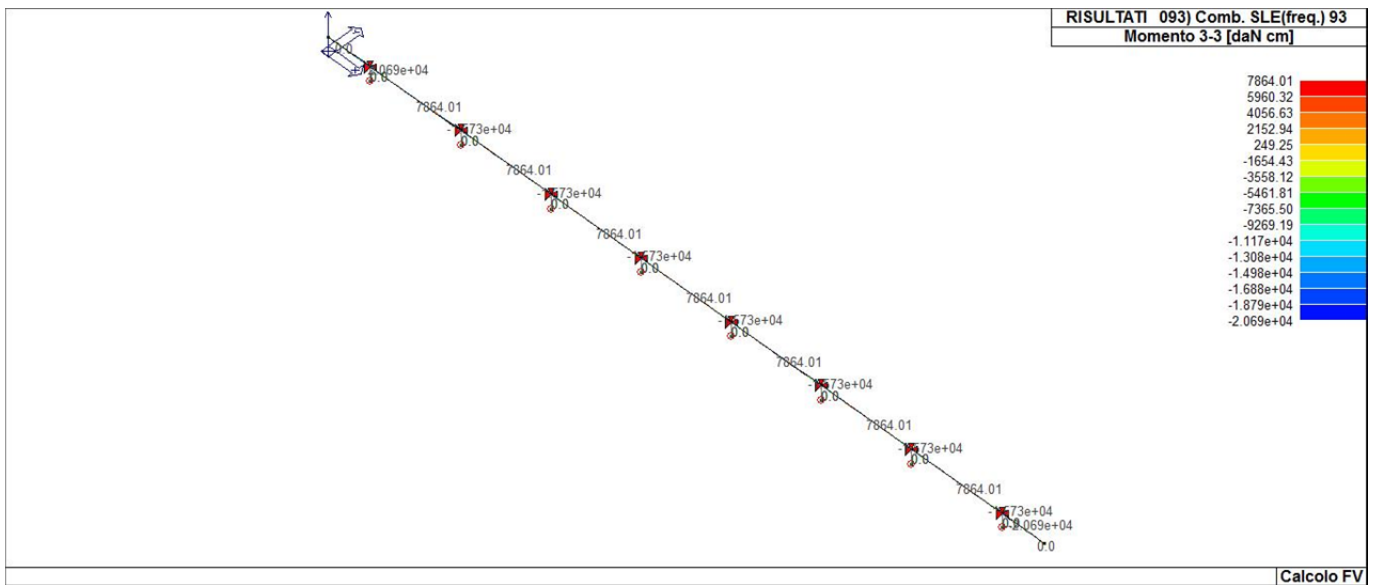
43_RIS_M3_051_Comb. SLE (SLD Danno sism.) 51



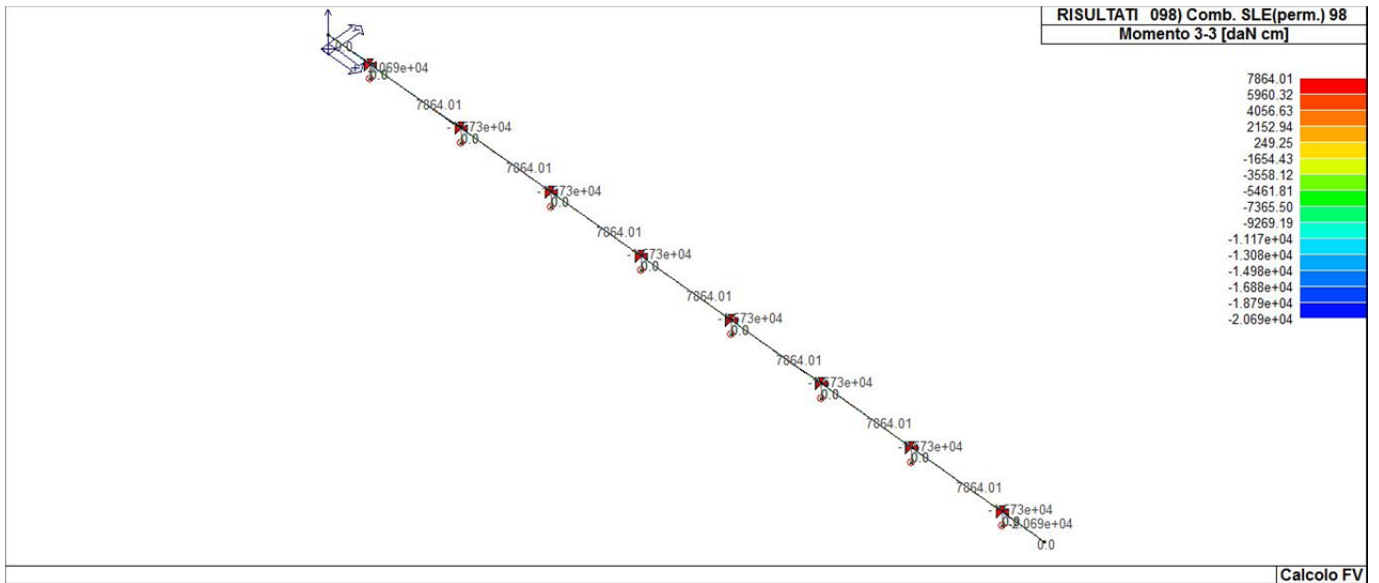
43_RIS_M3_083_Comb. SLU (Accid.) 83



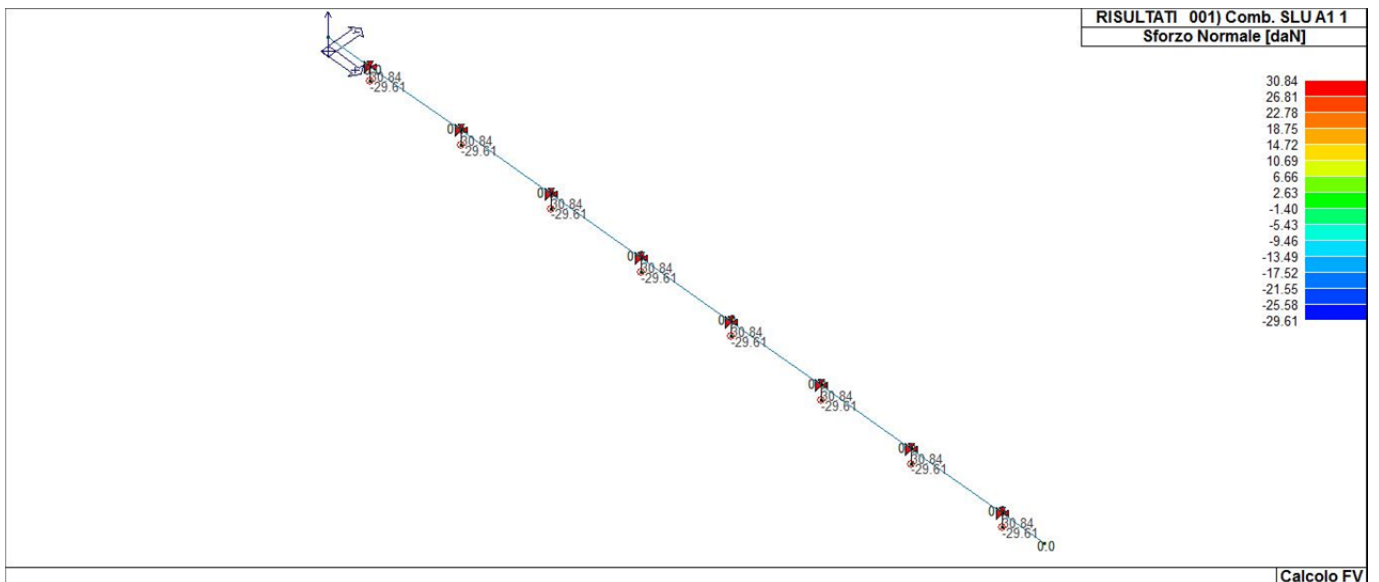
43_RIS_M3_084_Comb. SLE(rara) 84



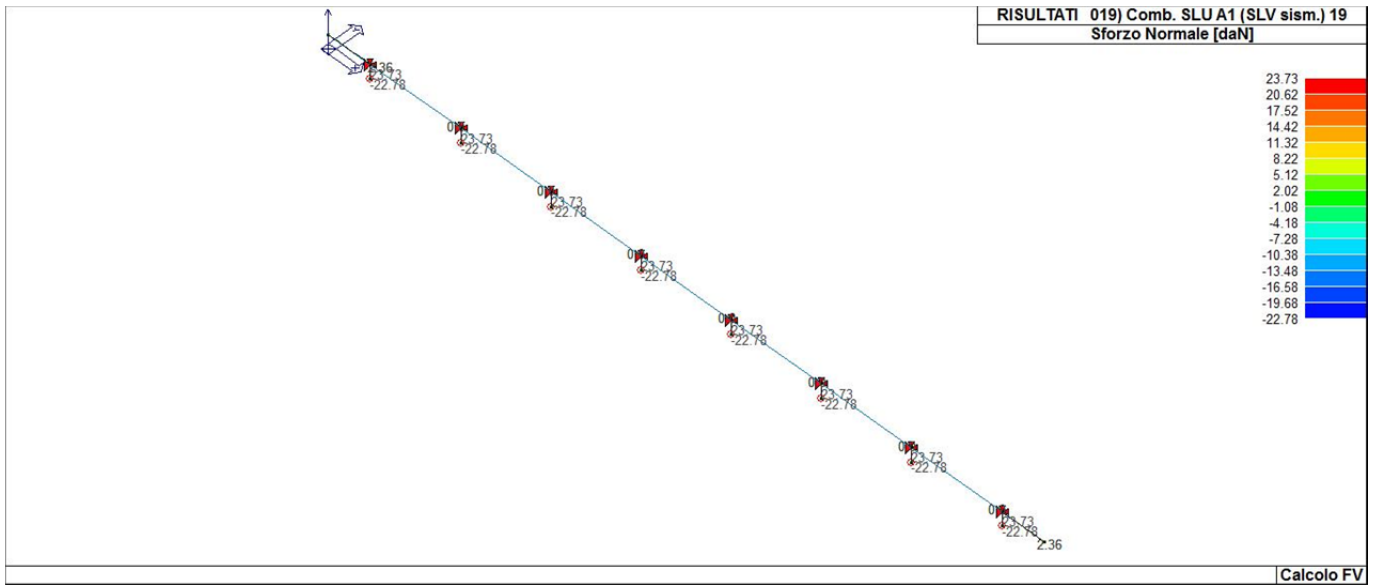
43_RIS_M3_093_Comb. SLE(freq.) 93



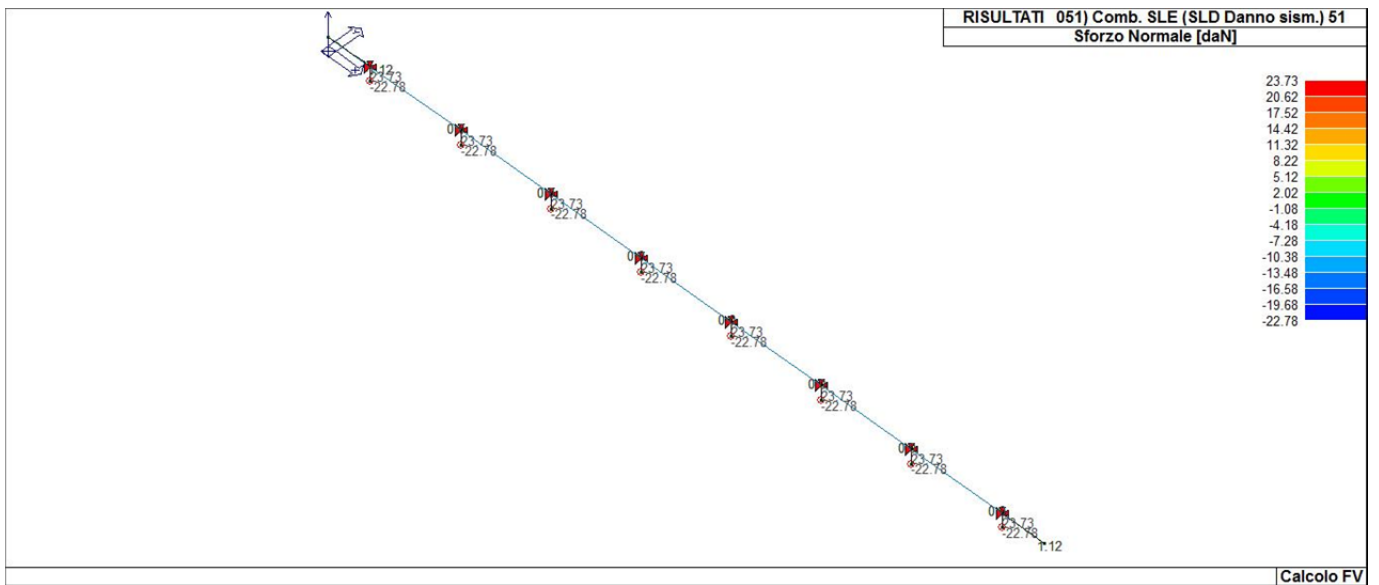
43_RIS_M3_098_Comb. SLE(perm.) 98



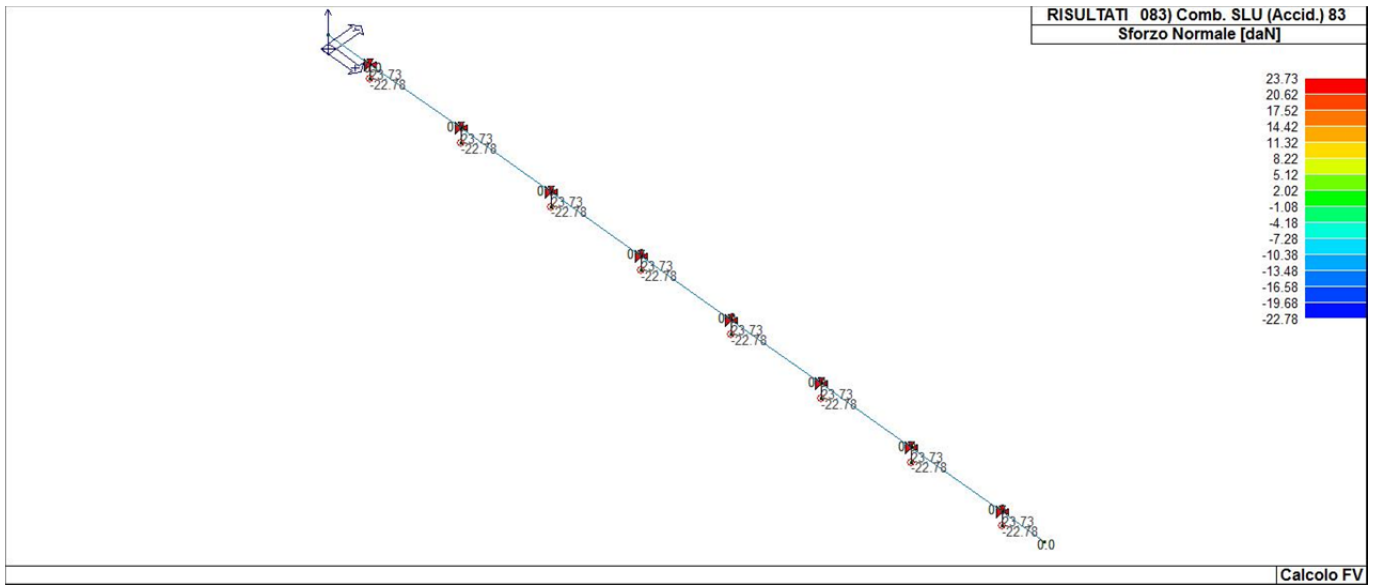
43_RIS_N_001_Comb. SLU A1 1



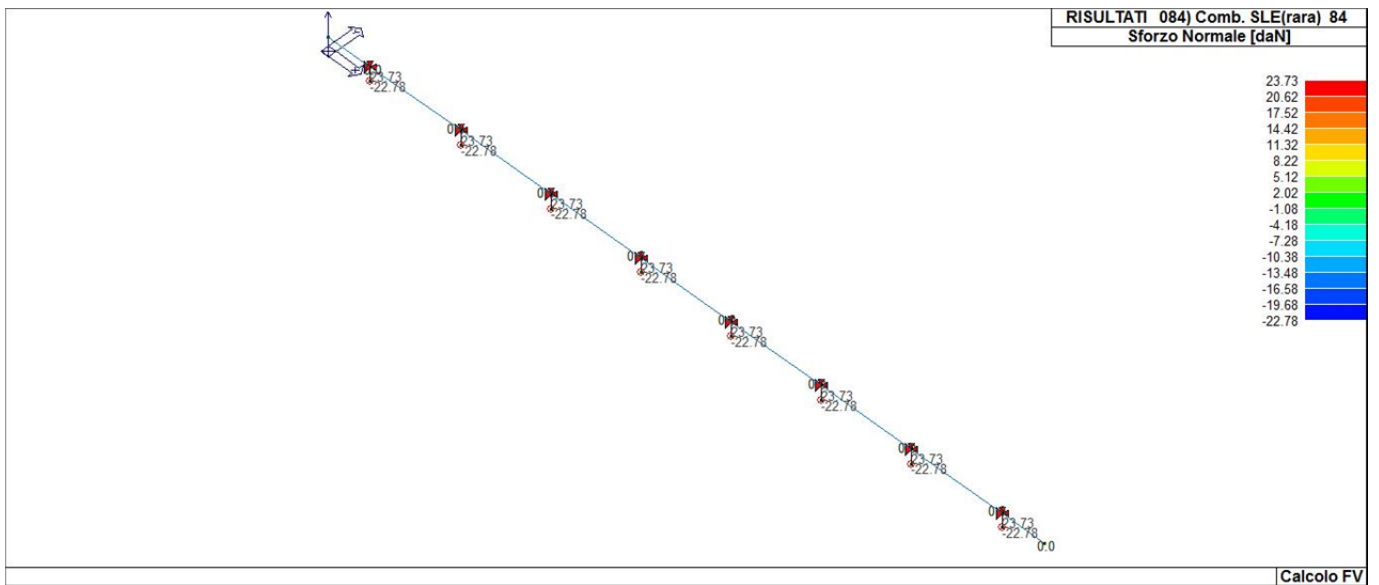
43_RIS_N_019_Comb. SLU A1 (SLV sism.) 19



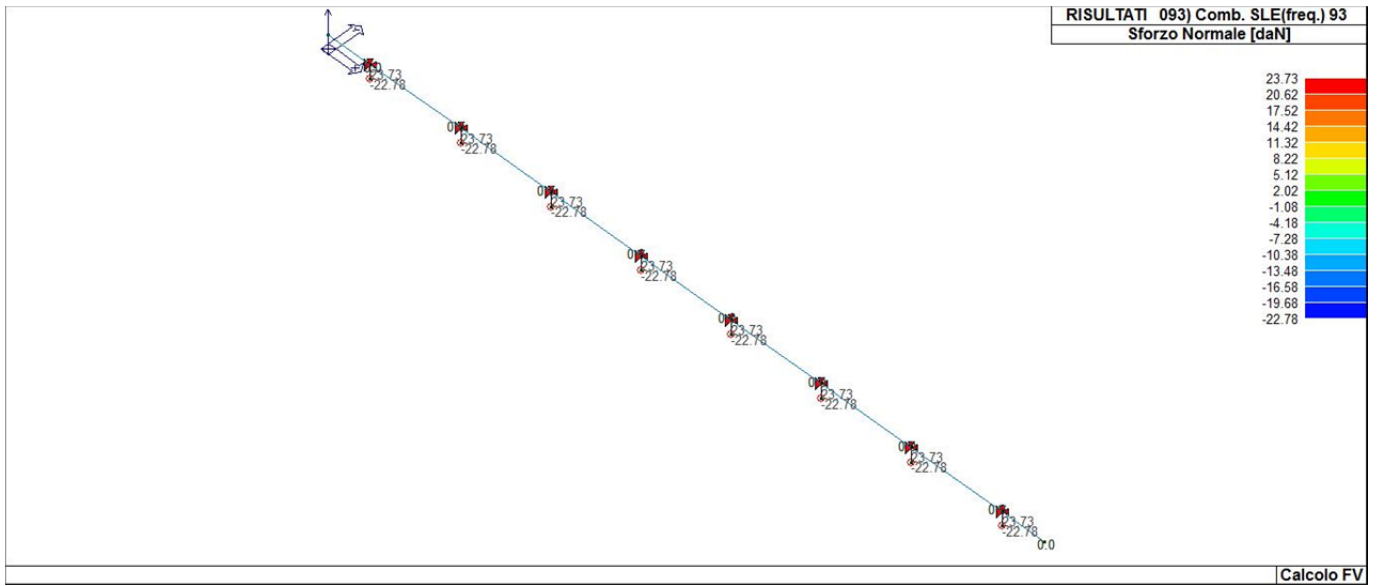
43_RIS_N_051_Comb. SLE (SLD Danno sism.) 51



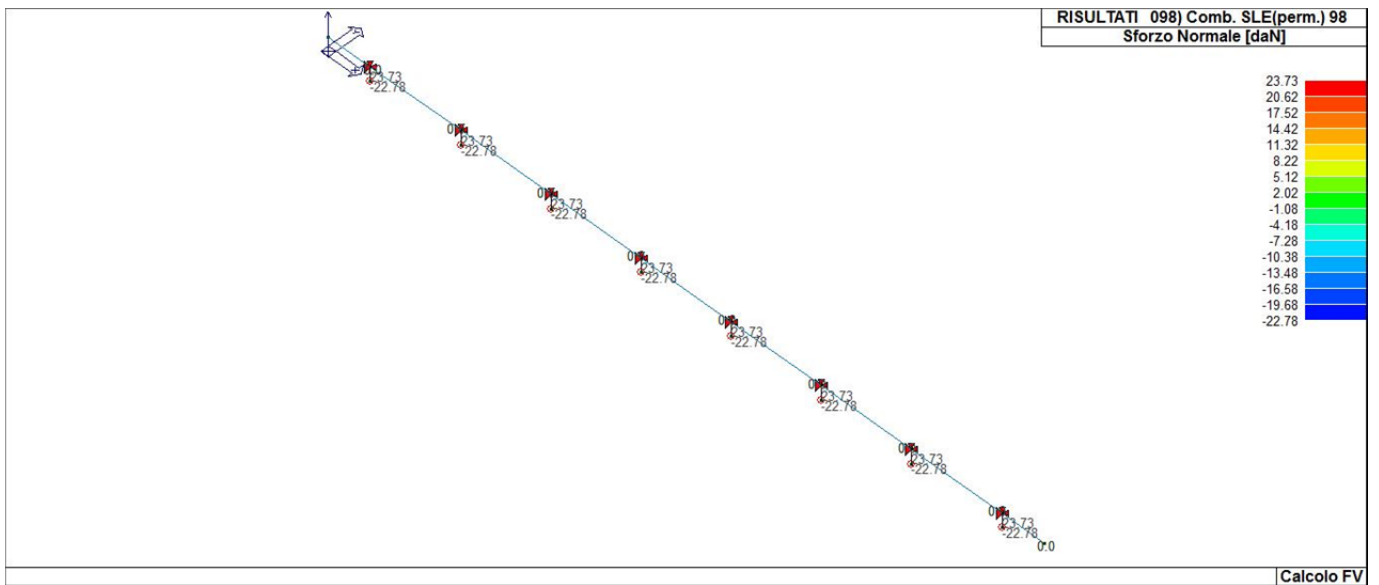
43_RIS_N_083_Comb. SLU (Accid.) 83



43_RIS_N_084_Comb. SLE(rara) 84



43_RIS_N_093_Comb. SLE(freq.) 93



43_RIS_N_098_Comb. SLE(perm.) 98

VERIFICHE PER ELEMENTI IN ACCIAIO

LEGENDA TABELLA VERIFICHE PER ELEMENTI IN ACCIAIO

Il programma consente la verifica dei seguenti tipi di elementi:

1. **aste** 2. **travi** 3. **pilastr**

L'esito delle verifiche è espresso con un codice come di seguito indicato

Ok: verifica con esito positivo

NV: verifica con esito negativo

Nr: verifica non richiesta.

Per comodità gli elementi vengono raggruppati in tabelle in relazione al tipo.

Ai fini delle verifiche (come da D.M. 17 Gennaio 2018 e circolare 21 Gennaio 2019 n.7) i tipi elementi differiscono per i seguenti aspetti:

Verifica	Aste	Travi	Pilastr
4.2.3.1 Classificazione	X	X	X
4.2.4.1.2.1 Trazione	X	X	X
4.2.4.1.2.2 Compressione	X	X	X
4.2.4.1.2.4 Taglio		X	X
4.2.4.1.2.5 Torsione		X	X
Flessione, taglio e forza assiale		X	X
4.2.4.1.3.1 Aste compresse	X	X	X
4.2.4.1.3.2 Instabilità flesso-torsionale		X	X
4.2.4.1.3.3 Membrature inflesse e compresse		X	X

Ai fini delle verifiche per strutture dissipative (come da D.M. 17 Gennaio 2018 e 2018 e circolare 21 Gennaio 2019 n.7) per strutture intelaiate e a controventi concentrici) si considerano le verifiche del capitolo 4 con azioni amplificate e le verifiche del capitolo 7:

Verifica	Travi	Pilastr
4.2.4.1.2.1 Trazione	X	X
4.2.4.1.2.2 Compressione	X	X
4.2.4.1.2.4 Taglio	X	X
4.2.4.1.2.5 Torsione	X	X
Flessione, taglio e forza assiale	X	X
4.2.4.1.3.1 Aste compresse	X	X
4.2.4.1.3.2 Instabilità flesso-torsionale	X	X
4.2.4.1.3.3 Membrature inflesse e compresse	X	X
7.5.3 Sfruttamento per momento	X	
7.5.4 Sfruttamento per sforzo normale	X	
7.5.5 Sfruttamento per taglio da capacità flessionale	X	
7.5.9 Sfruttamento per taglio amplificato		X

Viene inoltre riportata la verifica della "Gerarchia delle resistenze trave-colonna" per ogni colonna, considerando piede e testa in entrambe le direzioni globali X e Y.

L'insieme delle verifiche sopra riportate è condotto sugli elementi purché dotati di sezione idonea come da tabella seguente:

Azione	SEZIONI GENERICHE	PROFILI SEMPLICI	PROFILI ACCOPPIATI
--------	----------------------	---------------------	--------------------

4.2.3.1	Classificazione automatica	L, doppio T, C, rettangolare cava, circolare cava	Tutti	Da profilo semplice
4.2.3.1	Classificazione di default 2	Circolare		
4.2.3.1	Classificazione di default 3	restanti		
4.2.4.1.2.1	Trazione	si	si	si
4.2.4.1.2.2	Compressione	si	si	si
4.2.4.1.2.4	Taglio	si	si	si
4.2.4.1.2.5	Torsione	si	si	si
	Flessione, taglio e forza assiale	si	si	si
4.2.4.1.3.1	Aste compresse	si	si	per elementi ravvicinati e a croce o coppie calastrellate
4.2.4.1.3.2	Travi inflesse	doppio T simmetrica	doppio T	no

Le verifiche sono riportate in tabelle con il significato sotto indicato; le verifiche sono espresse dal rapporto tra l'azione di progetto e la capacità ultima, pertanto la verifica ha esito positivo per rapporti non superiori all'unità.

Asta	Trave	Pilastro	numero dell'elemento		
	Stato		codice di verifica per resistenza, stabilità, svergolamento		
	Note		sezione e materiali adottati per l'elemento		
	V N		(ASTE) verifica come da par. 4.2.4.1.2 per punto (4.2.6) e (4.2.10)		
	V V/T		(TRAVI E PILASTRI) verifica di resistenza come da par. 4.2.4.1.2 per azioni taglio-torsione (4.2.16 e 4.2.28)		
	V N/M		(TRAVI E PILASTRI) verifica di resistenza come da par. 4.2.4.1.2 per azioni composte (4.2.33) con riduzione per taglio (4.2.40) ove richiesto		
N	M3	M2	V2	V3	T
	V stab		(ASTE) verifica come da par. 4.2.4.1.3.1 per punto (4.2.41)		
	V stab		(TRAVI E PILASTRI) verifica come da par. 4.2.4.1.3 per punti (C4.2.32) o (C4.2.36) (membrature inflesse e compresse senza/con presenza di instabilità flesso-torsionale)		
BetaxL	B22xL	B33xL	lunghezze libere di inflessione (se indicato riferiti al piano di normale 22 o 33 rispettivamente)		
	Snellezza		snellezza massima		
	Classe		classe del profilo		
	Chi mn		coefficiente di riduzione (della capacità) per la modalità di instabilità pertinente		
	Rif. cmb		combinazioni in cui si sono rispettivamente attinti i valori di verifica più elevati		
	V flst		(TRAVI E PILASTRI) verifica di stabilità come da par. 4.2.4.1.3.2 per punto (4.2.48)		
	B1-1 x L		Beta1-1 x L: interasse tra i ritegni torsionali		
	Chi LT		coefficiente di riduzione (della capacità) per la modalità di instabilità flesso-torsionale		
	Snell adim		Valore della snellezza adimensionale, utilizzato per il controllo previsto al par. 7.5.5		
	v.Omeg		Valore del rapporto capacità/domanda per l'azione di interesse (momento per travi e azione assiale per aste) utilizzato per l'amplificazione delle azioni		
	f.Om. N		Fattore di amplificazione delle azioni assiali per travi e colonne (prodotto di 1.1 x Omega x gamma rd materiale); utilizzato come specificato al par. 7.5.5		
	f.Om. T		Fattore di amplificazione delle azioni (assiali, flettenti e taglianti) per colonne (prodotto di 1.1 x Omega x gamma rd materiale); utilizzato come specificato al par. 7.5.4		
	V.7.5.4 M Ed		Verifica come prevista al punto 7.5.4 e valore dell'azione flettente		
	V.7.5.5 N Ed		Verifica come prevista al punto 7.5.5 e valore dell'azione assiale		
	V.7.5.6 V Ed, G V Ed, M		Verifica come prevista al punto 7.5.6 e valore dei tagli dovuti ai carichi e alla capacità		
	V.7.5.10 V Ed		Verifica come prevista al punto 7.5.10 e valore dell'azione di taglio		
	sovr. Xi (Xf, Yi, Yf)		Valore della sovraresistenza come prevista al par. 7.5.4.2 (i valori non sono normalizzati pertanto saranno maggiori uguali a gamma rd in base alla classe di		

	duttilità)
--	------------

Nel caso in cui λS sia minore di 0.2, oppure nel caso in cui la sollecitazione di calcolo NEd sia inferiore a 0.04 Ncr, gli effetti legati ai fenomeni di instabilità sono trascurati, come da paragrafo 4.2.4.1.3.1

Trave	Stato	Note	V V/T	V N/M	V stab	Ci.LamS 22	LamS 33	Snell.	Chi mn	V flstLamS LT	Chi LT	Rif. cmb
9	ok	s=2,m=11	0.01	0.16		1						1,13,0,0
10	ok	s=2,m=11	0.01	0.12		1						1,13,0,0
11	ok	s=2,m=11	0.01	0.12		1						1,13,0,0
12	ok	s=2,m=11	0.01	0.12		1						1,13,0,0
13	ok	s=2,m=11	0.01	0.12		1						1,13,0,0
14	ok	s=2,m=11	0.01	0.12		1						1,13,0,0
15	ok	s=2,m=11	0.01	0.12		1						1,13,0,0
16	ok	s=2,m=11	0.01	0.12		1						1,13,0,0
17	ok	s=2,m=11	0.01	0.16		1						1,13,0,0

Trave	V V/T	V N/M	V stab	LamS 22	LamS 33	Snell.	Chi mn	V flstLamS LT	Chi LT
	0.01	0.16							

Trave	v.Omeg	f.Om. N	Stato	V N/M	V stab	Rif. cmb	V[7.5.4]	M Ed daN cm	V[7.5.5]	N Ed daN	V[7.5.6]	V Ed,G daN	V Ed,M daN
9							0.0	0.0	0.0	0.0	0.0	0.0	0.0
10							0.0	0.0	0.0	0.0	0.0	0.0	0.0
11							0.0	0.0	0.0	0.0	0.0	0.0	0.0
12							0.0	0.0	0.0	0.0	0.0	0.0	0.0
13							0.0	0.0	0.0	0.0	0.0	0.0	0.0
14							0.0	0.0	0.0	0.0	0.0	0.0	0.0
15							0.0	0.0	0.0	0.0	0.0	0.0	0.0
16							0.0	0.0	0.0	0.0	0.0	0.0	0.0
17							0.0	0.0	0.0	0.0	0.0	0.0	0.0

Trave	v.Omeg	V N/M	V stab	V[7.5.4]	M Ed	V[7.5.5]	N Ed	V[7.5.6]	V Ed,G	V Ed,M
				0.0	0.0	0.0	0.0	0.0	0.0	0.0

Pilas.	Stato	Note	V V/T	V N/M	V stab	Ci.LamS 22	LamS 33	Snell.	Chi mn	V flstLamS LT	Chi LT	Rif. cmb
1	ok	s=1,m=11	0.02.33e-04			1						0,1,0,0
2	ok	s=1,m=11	0.02.33e-04			1						0,1,0,0
3	ok	s=1,m=11	0.02.33e-04			1						0,1,0,0
4	ok	s=1,m=11	0.02.33e-04			1						0,1,0,0
5	ok	s=1,m=11	0.02.33e-04			1						0,1,0,0
6	ok	s=1,m=11	0.02.33e-04			1						0,1,0,0
7	ok	s=1,m=11	0.02.33e-04			1						0,1,0,0
8	ok	s=1,m=11	0.02.33e-04			1						0,1,0,0

Pilas.	V V/T	V N/M	V stab	LamS 22	LamS 33	Snell.	Chi mn	V flstLamS LT	Chi LT
	0.02.33e-04								

Pilas.	f.Om. N	f.Om. T	Stato	V V/T	V N/M	V stab	V flst	Rif. cmb	V[7.5.10]	V Ed sovr.	Xi sovr.	Xf sovr.	Yi sovr.	Yf
1	0.0	0.0	ok	0.0	0.0			0,0,0,0						
2	0.0	0.0	ok	0.0	0.0			0,0,0,0						
3	0.0	0.0	ok	0.0	0.0			0,0,0,0						
4	0.0	0.0	ok	0.0	0.0			0,0,0,0						
5	0.0	0.0	ok	0.0	0.0			0,0,0,0						
6	0.0	0.0	ok	0.0	0.0			0,0,0,0						
7	0.0	0.0	ok	0.0	0.0			0,0,0,0						
8	0.0	0.0	ok	0.0	0.0			0,0,0,0						

Pilas.	V V/T	V N/M	V stab	V flst	V[7.5.10]	V Ed sovr.	Xi sovr.	Xf sovr.	Yi sovr.	Yf
	0.0	0.0								

STATI LIMITE D' ESERCIZIO ACCIAIO

LEGENDA TABELLA STATI LIMITE D' ESERCIZIO ACCIAIO

In tabella vengono riportati i valori di interesse per il controllo degli stati limite d'esercizio.

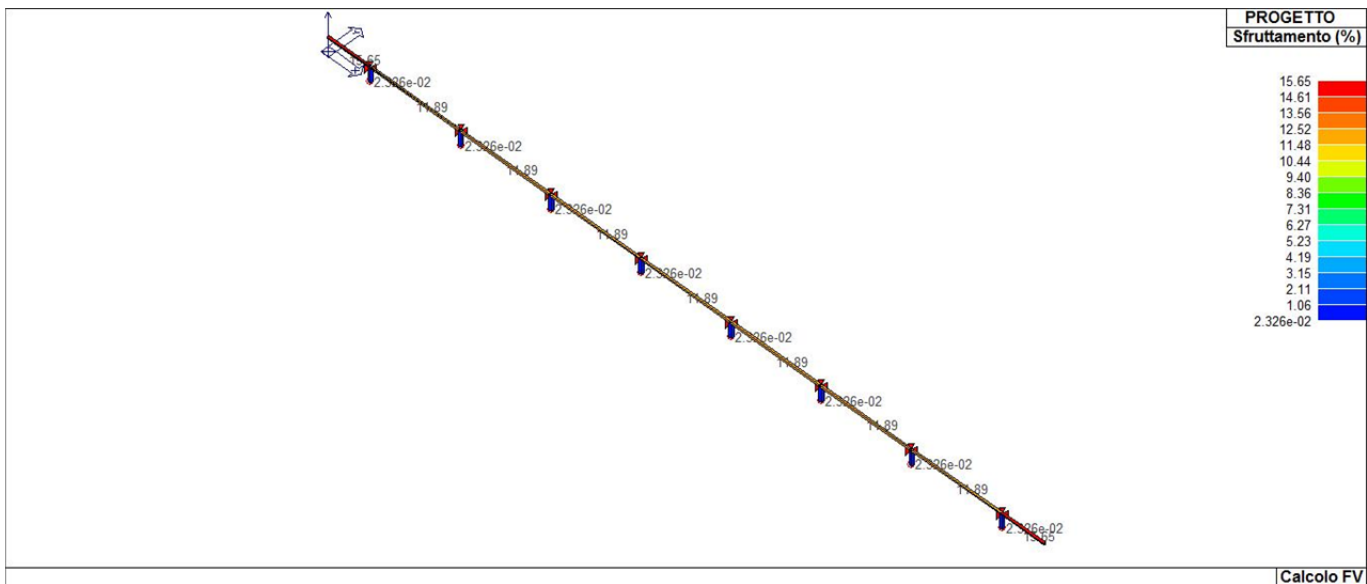
In particolare vengono riportati, per gli elementi trave, i risultati relativi alle combinazioni considerate (rare o caratteristiche).

I valori di interesse sono i seguenti:

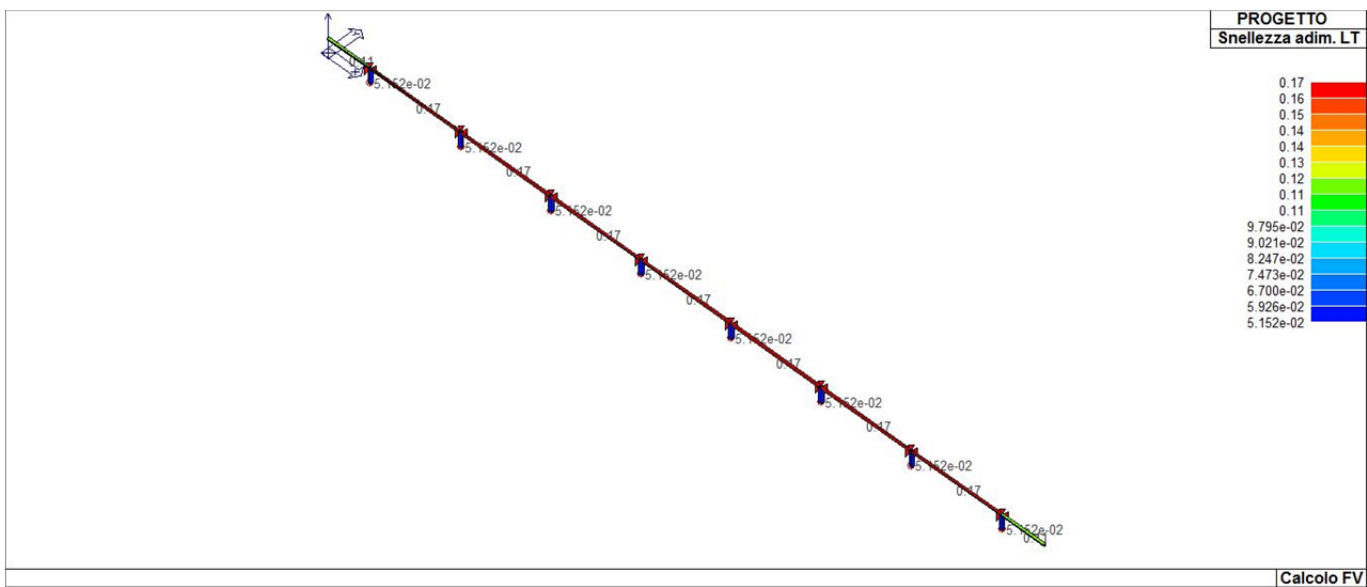
f*1000/L	massima deformazione normalizzata in combinazioni rare
-----------------	--

Si precisa che i valori di massima deformazione per travi sono riferiti ai due piani locali (1-2 con momenti flettenti 3-3 e 1-3 con momenti flettenti 2-2). Il valore riportato (massimo) è espresso in 1000/L per rendere agevole il confronto di più valori e in particolare di più range di valori (ad esempio 2 rappresenta L/500, 4 L/250 e così via).

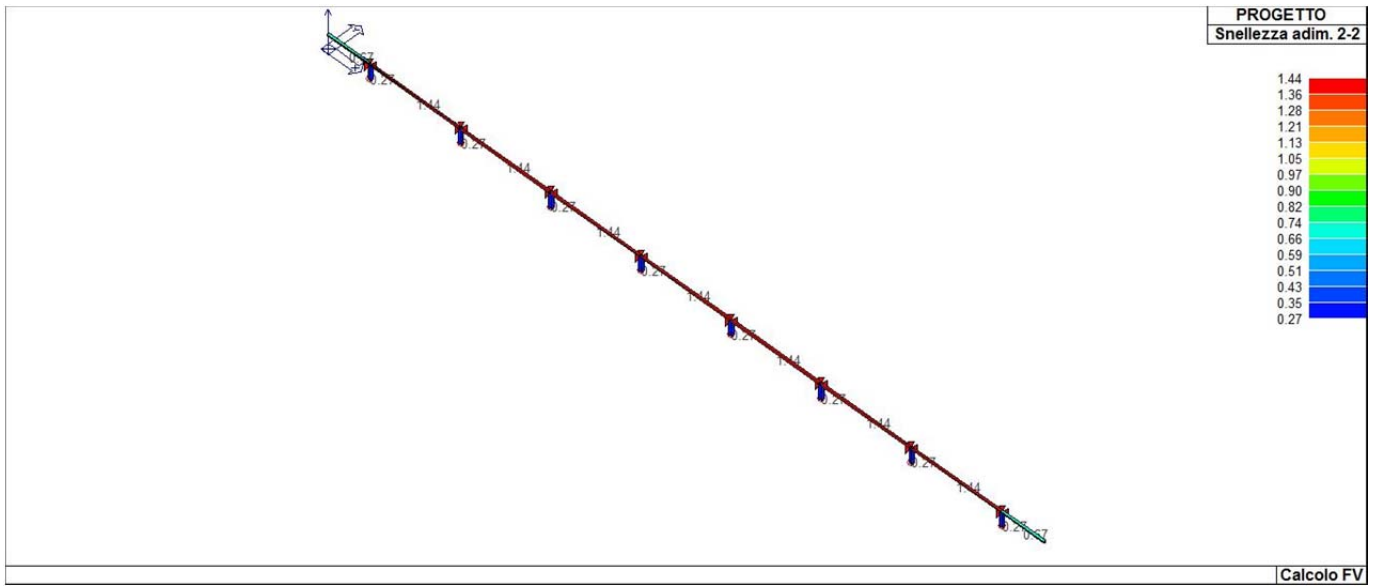
Trave	f*1000/L	Trave	f*1000/L	Trave	f*1000/L	Trave	f*1000/L	Trave	f*1000/L	Trave	f*1000/L	Trave	f*1000/L
9	1.5	10	0.3	11	0.3	12	0.3	13	0.3	14	0.3	15	0.3
16	0.3	17	1.5										



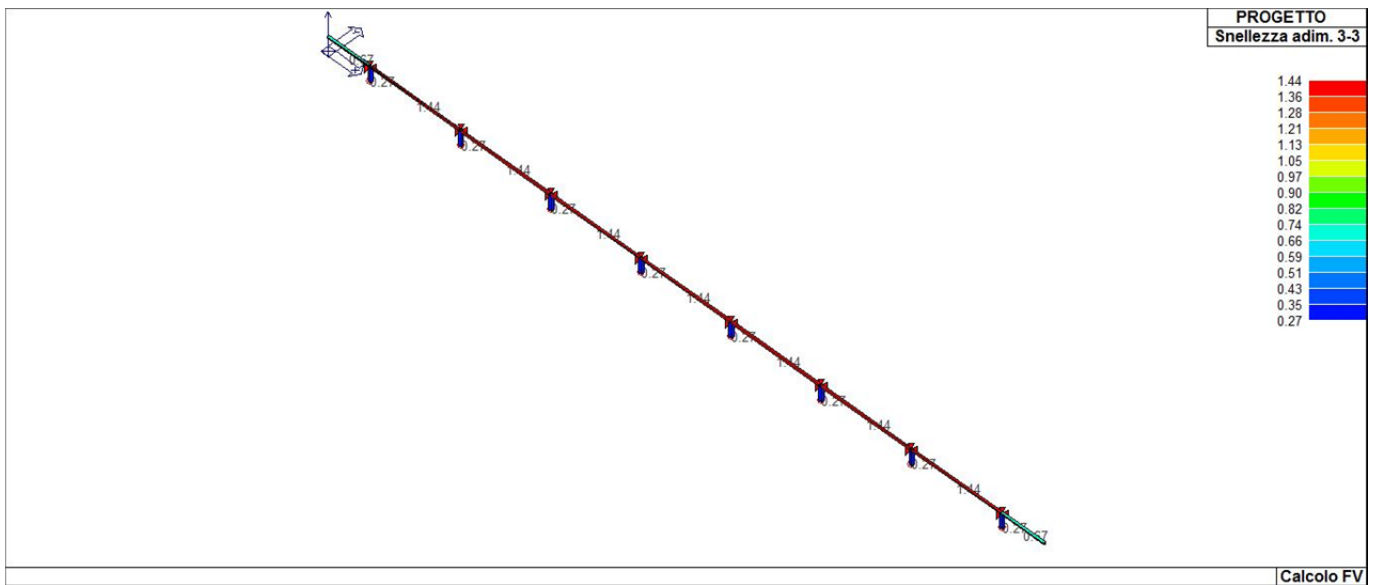
73_PRO_ST_SFRUTTAMENTO



73_PRO_ST_SNELLEZZATOR



73_PRO_ST_SNELLEZZAXX



73_PRO_ST_SNELLEZZAYY